

การบำบัดน้ำ Produced water ด้วยเทคนิคอิเล็กโทรไฟลเตชั่นเทียบกับ
เทคนิคօนดิวาร์แคร์ไฟลเตชั่น



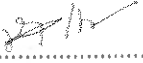
วิทยานิพนธ์นี้เสนอต่อคณะกรรมการคุณวิทยาลัย มหาวิทยาลัยราชวิถี เพื่อเป็นส่วนหนึ่งของการศึกษา
หลักสูตรปริญญาวิศวกรรมศาสตรมหาบัณฑิต
สาขาวิชาบริหารและจัดการสหกิจ
กรกฎาคม 2560
ลิขสิทธิ์เป็นของมหาวิทยาลัยราชวิถี

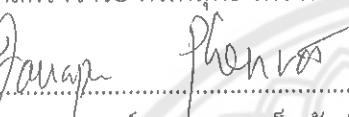
วิทยานิพนธ์ เรื่อง “การบำบัดน้ำ Produced water ด้วยเทคนิคอิเล็กโทรไฟลเตชั่นเพียบกับเทคนิค
อินดิวซ์แอร์ไฟลเตชั่น”

ของ นายพิพัฒน์ พิทักษ์สุธีวงศ์

ได้รับการพิจารณาให้นับเป็นส่วนหนึ่งของการศึกษาตามหลักสูตร
ปริญญาวิศวกรรมศาสตรมหาบัณฑิต สาขาวิชาระมสิ่งแวดล้อม

คณะกรรมการสอบวิทยานิพนธ์

.....ประธานกรรมการสอบวิทยานิพนธ์
(รองศาสตราจารย์ ดร.พิสุทธิ์ เพียรมนูกุล)

.....ประธานที่ปรึกษาวิทยานิพนธ์
(ผู้ช่วยศาสตราจารย์ ดร.รุ่งผล เพ็ญอรัตน์)

.....กรรมการที่ปรึกษาวิทยานิพนธ์
(ผู้ช่วยศาสตราจารย์ ดร.เดช ตั้งธรรมรงค์)

.....กรรมการที่ปรึกษาวิทยานิพนธ์
(ผู้ช่วยศาสตราจารย์ ดร.อิศราภรณ์ ประเสริฐสังข์)

.....กรรมการผู้ทรงคุณวุฒิภายใน
(ผู้ช่วยศาสตราจารย์ ดร.ปาราชาติ ทองสนิก)

อนุมัติ



(ดร.ภาณุ พุทธวงศ์)

รองคณบดีฝ่ายบริหารและวางแผน ปฏิบัติราชการแทน
คณบที่เบนถิตวิทยาลัย

๒๔ ก.ค. ๒๕๖๐

ประกาศคุณภาพ

วิทยานิพนธ์ฉบับนี้ สำเร็จลุล่วงไปได้ด้วยดี ผู้วิจัยขอขอบคุณสนับสนุนการวิจัยจากบริษัท ปตท.สผ.สยาม จำกัด สัญญาเลขที่ DSO-14_36639.1 จ้างวิจัยและพัฒนาต้นแบบระบบบำบัดน้ำเสียโดยไฟฟ้า โครงการเอสวัน

ข้าพเจ้าขอขอบคุณเจริญ จึงธนาเจริญ ผู้จัดการแผนกสนับสนุนปฏิบัติการผลิตของบริษัท ปตท.สผ.สยาม จำกัด ที่สนับสนุนและนำเสนอผลงานวิจัยต่อผู้บริหารของบริษัทเพื่ออนุมัติทุนขอขอบคุณ ผู้ช่วยศาสตราจารย์ ดร.ชนพล เพ็ญรัตน์ อาจารย์ที่ปรึกษาวิทยานิพนธ์ที่เคยดูแลและให้คำปรึกษาตลอดระยะเวลาการทำวิทยานิพนธ์ ขอขอบคุณบริษัท ปตท.สผ. สยาม จำกัด ที่ให้การสนับสนุนงานวิจัย ขอขอบคุณคุณสมบัติ โนพิชัย หัวหน้าห้องปฏิบัติการเคมี ที่ให้คำแนะนำและคุยกันอย่างความสincereในการทำงานวิจัย ขอขอบคุณเจ้าหน้าที่ห้องปฏิบัติการเคมี บริษัท ปตท.สผ. สยาม จำกัด ทุกท่าน ที่อุ่นไอความสincereในการเก็บตัวอย่างมาใช้ในการทำงานวิจัย ขอขอบคุณ นางสาวพิมลพรรณ หมู่เงง ที่ช่วยเคราะห์น้ำ และตัวอย่างของแข็ง ขอขอบคุณบริษัท นอลโก ประเทศไทย จำกัด ที่เอื้อเฟื้อสารเคมีที่ใช้ในการทดลอง ขอขอบคุณศูนย์เครื่องมือ ภาควิชาเคมี มหาวิทยาลัยราชภัฏ ที่เอื้อเฟื้อเครื่อง IR และ XRD ขอขอบคุณคุณเพื่อนๆ ปริญญาโททุกท่าน ที่เคยให้คำแนะนำและเป็นกำลังใจด้วยดีเสมอมา ขอขอบคุณ รองศาสตราจารย์ ดร.พิสุทธิ์ เพียรมนกุล ที่ให้คำแนะนำเกี่ยวกับงานวิจัย เมื่อครั้งมาเยี่ยมชมแหล่งน้ำมันสิริกิติ์

ประโยชน์อันได้ที่เกิดจากการวิจัยเล่มนี้อยู่ให้แก่ครอบครัวพิทักษ์สุธีพงศ์ ที่เคยอนุมัติสังสอน ให้การสนับสนุน เป็นกำลังใจ จนผู้วิจัยสามารถสำเร็จการศึกษา ผู้วิจัยต้องขอกราบขอขอบพระคุณไว้ ณ ที่นี่ด้วย

พิพัฒน์ พิทักษ์สุธีพงศ์

ชื่อเรื่องวิทยานิพนธ์	การบำบัดน้ำ Produced water ด้วยเทคนิคօิเล็กโทรไฟล์ เทชั่นเทียบกับเทคโนโลยีอินดิวาร์ฟอร์ไฟล์เทชั่น
ผู้วิจัย	พิพัฒน์ พิทักษ์สุธีพงศ์
ประธานที่ปรึกษา	ผู้ช่วยศาสตราจารย์ ดร.ธนพล เพ็ญรัตน์
กรรมการที่ปรึกษา	ผู้ช่วยศาสตราจารย์ ดร.คลเดช ตั้งธรรมการพงษ์
กรรมการที่ปรึกษา	ผู้ช่วยศาสตราจารย์ ดร.อิศราวนุ ประเสริฐสังข์
ประเภทสารนิพนธ์	วิทยานิพนธ์ ว.ค.ม. สาขาวิชาชีวกรรมสิ่งแวดล้อม, มหาวิทยาลัยนเรศวร, 2559
คำสำคัญ	Produced water, อิเล็กโทรไฟล์เทชั่น, อินดิวาร์ฟอร์ไฟล์ เทชั่น, ไบโอนโดปไดมอนด์

บทคัดย่อ

ศึกษาการบำบัดน้ำ Produced water จากแหล่งน้ำมันสิริกิติ์ ด้วยวิธีอิเล็กโทรไฟล์เทชั่น และอินดิวาร์ฟอร์ไฟล์เทชั่น จากการศึกษาค่าพารามิเตอร์ที่อยู่ในน้ำพบว่าประกอบด้วยสารอินทรีย์, สารอนินทรีย์ และสิ่งมีชีวิต โดยสารโดยเมื่อสารอนินทรีย์บางตัวสัมผัสกับออกซิเจน เกิดปฏิกิริยา ออกซิไดซ์เทชั่นจะทำให้คุณสมบัติความเป็นกรดด้อยด้วยสารละลายเปลี่ยนไป

จากการศึกษาปฏิกิริยาเคมีของวิธี IAF ร่วมกับการเติมสารโพลิเมอร์ พบร่องหว่างการเติมอากาศออกซิเจนในอากาศมีส่วนทำให้ Fe^{2+} เปลี่ยนไปเป็น Fe^{3+} สงผลให้ค่าความชุนเพิ่มขึ้น ซึ่งตรงข้ามกับวิธี IAF ด้วยการเติมในไตรเจน เนื่องจากไม่เกิดการออกซิเดชั่นของออกซิเจนกับ Fe^{2+} และยังพบอีกว่าประสิทธิภาพของวิธี IAF จะเพิ่มขึ้นเมื่อพองแก๊สเข้าขนาดเล็กลง โดยค่า A/S ที่เหมาะสมสำหรับวิธี IAF ด้วยการเติมในไตรเจนและอากาศคือ 30.7 และ 61.5 มิลลิลิตรอากาศต่อ มิลลิกรัมของแข็งแขวนลอย

ปฏิกิริยาเคมีของกระบวนการ ECF ซึ่งเป็นปฏิกิริยาเรต็อกซ์ เกิดการละลายของชั้นอาโนด คือ อลูมิเนียม และเหล็ก สงผลให้เกิด Al^{3+} หรือ Fe^{2+} เพิ่มขึ้นในสารละลายโดยสารเหล่านี้ มีคุณสมบัติลดความหนาของชั้นกระจาย (Diffuse Layer) สงผลทำลายเสถียรภาพของคอลลอยด์ ทำให้วิธีการ ECF มีค่าการบำบัดความชุนที่ต่ำกว่าวิธี EF

การบำบัดน้ำเสียด้วยวิธี IAF ผลการทดลองเผยแพร่ให้ประสิทธิภาพการบำบัดค่า TSS ที่ 58 เปอร์เซ็นต์ น้ำมันในน้ำ 100 เปอร์เซ็นต์ ความชุน 94 เปอร์เซ็นต์ไม่มีประสิทธิภาพในการบำบัด แบคทีเรีย และให้ผลการบำบัดอนุภาคที่มากกว่า 5 ในครอง 87 เปอร์เซ็นต์

การนำบันดัชน้ำด้วยวิธี ECF ให้ประสิทธิภาพการนำบันดัชน้ำ TSS, น้ำมันในน้ำ และความชุนมากกว่า 85 เปอร์เซ็นต์

การนำบันดัชน้ำด้วยวิธีอิเล็กโทรโฟลเทชั่น (EF) ให้ประสิทธิภาพการนำบันดัชน้ำ TSS ที่ด้อยกว่าวิธี ECF โดยวิธี EF ให้ประสิทธิภาพการนำบันดัชน้ำ TSS ที่ 49 เปอร์เซ็นต์ และให้ประสิทธิภาพการนำบันดัดความชุนและน้ำมันในน้ำมากกว่า 95 เปอร์เซ็นต์ ให้ประสิทธิภาพในการนำบันดัดแบคทีเรีย 100 เปอร์เซ็นต์ และสามารถนำบันดอนุภาคที่มากกว่า 5 ไมครอน 98 เปอร์เซ็นต์

จากการประเมินความเป็นไปได้ทางวิศวกรรมและเศรษฐศาสตร์ พบร่วมระบบ ECF สามารถให้กำเนิดการคลอเรินซึ่งเป็นสารเคมีที่มีความสามารถในการกัดกร่อนสูงต่อระบบห่อซึ่งยังคงต้องมีการศึกษาเพิ่มเติม ในการทดลองนี้จึงเสนอให้ใช้วิธี IAF ณ แหล่งน้ำมันสิริกิติ์ จากการคำนวณทางเศรษฐศาสตร์พบว่าการติดตั้งระบบ IAF สามารถคุ้มทุนได้ตั้งแต่ปีแรก



Title	TREATMENT OF PROCUCED WATER BY USING ELECTROFLOTATION COMPARED WITH INDUCED AIR FLOTATION
Author	Pipat Pituksuteepong
Advisor	Assistant Professor Tanapon Phenrat, Ph.D.
Co-Advisor	Assistant Professor Dondej Tungtrakanpong, Ph.D.
Co-Advisor	Assistant Professor Isarawut Prasertsung, Ph.D.
Academic Paper	Thesis M.Eng. in Environmental Engineering, Naresuan University, 2016
Keywords	Produced water, Electroflotation, Induced Air Flowtation, Boron Doped Diamond

ABSTRACT

Treatment of Produced water from Sirikit Oil field by Electroflotation and Induced air flotation was studied. Water chemistry of the produced water was determined. The produced water composed of organic matter, Inorganic matter and bio-organism. Some of organic matter are able to react with oxygen by oxidization reaction. This reaction effects directly to the stability of colloid in produced water.

Induced air flotation (IAF) with polymer added, the Oxygen in the air was able to oxidize Ferrous (Fe^{2+}) to form Ferric(Fe^{3+}) this reaction lead to increasing of the turbidity. In contrary, IAF using Nitrogen instead of the air had less turbidity because there was no oxidation reaction occur. The optimal A/S ratio for air and nitrogen were 61.5 and 30.7 ml gas per mg suspended solid, respectively.

Redox reaction of ECF was able to produce Al^{3+} or Fe^{2+} depend on electrode type at the Anode. The Al^{3+} and Fe^{2+} were able to reduce the thickness of the diffuse layer that impact directly to the stability of colloid in produced water. With this reason, ECF then had better turbidity than EF.

The experimental reveals that the IAF was able to remove TSS 58 percent, Oil in water 100 percent, turbidity 94 percent, particle size more than 5 micron 87 percent however it was unable to remove SRB or PRD bacteria. The ECF was able to remove TSS, oil in water and turbidity more than 85 percent.

The EF treatment efficiency was lower than ECF in TSS removal. It was found EF was able to remove TSS by 49 percent, Turbidity and oil in water more than 95 percent. Moreover EF was able to kill SRB and PRD bacteria by 100 percent and was able to remove particle size more than 5 micron by 98 percent.

The Engineering and Economic assessment revealed that the EF was able to produce chlorine that can cause corrosion to carbon steel pipeline which need further study. Eventually, this research was recommended to install IAF unit at the sirikit oil field which is going to have breakeven point since 1 year of service.

สารบัญ

บทที่	หน้า
1 บทนำ.....	1
ความเป็นมาและความสำคัญของปัจจุบัน.....	1
วัตถุประสงค์ของการวิจัย.....	6
กรอบแนวคิดที่ใช้ในการวิจัย.....	6
สมมติฐานของการวิจัย.....	6
ขอบเขตการวิจัย.....	7
นิยามศัพท์เฉพาะ.....	8
ประโยชน์ที่คาดว่าจะได้รับ.....	9
2 เอกสารและงานวิจัยที่เกี่ยวข้อง.....	10
องค์ประกอบของ produced water.....	10
เส้นทางการกระจายตัวและผลกระทบที่มีต่อสิ่งแวดล้อมเมื่อ Produced water ถูกปล่อยสู่สิ่งแวดล้อม.....	11
การจัดการ Produced water.....	12
ฤดูประสงค์ของการบำบัด Produced Water.....	13
วิธีการบำบัด Produced Water.....	13
คอลลอยด์ในอุตสาหกรรมปิโตรเคมี.....	17
คอลลอยด์.....	18
แรงผลักทางไฟฟ้าในระดับไมโครอน (Microscopic Electrical Forces).....	18
ความหมายของ "ผนังสองชั้น".....	19
ซีกัยตี้ต้า (Zeta Potential).....	20
สมดุลแรงกระทำระหว่างคอลลอยด์.....	21
กำแพงพลังงาน (Energy Barrier).....	22
การลดขนาดกำแพงพลังงาน (Lowering the Energy Barrier).....	24

สารบัญ (ต่อ)

บทที่	หน้า
กระบวนการโคลอคคูเลชัน-ฟลั่อคคูเลชัน.....	25
การทำลายเสถียรภาพคงคล่องด้วย.....	25
ทฤษฎีที่เกี่ยวข้องกับไฟฟ้าเคมีในการบำบัดน้ำเสีย.....	28
การบำบัดสารปนเปื้อนด้วยกระแสไฟฟ้า.....	33
ทฤษฎีที่เกี่ยวข้องกับการบำบัดน้ำด้วยเทคนิคอินดิวซ์แคร์ไฟลเตชัน.....	42
งานวิจัยที่เกี่ยวข้อง.....	44
3 วิธีดำเนินการวิจัย.....	47
ตัวอย่างน้ำเสียที่ใช้ในการวิจัย.....	49
เครื่องมือและอุปกรณ์ที่ใช้ในงานวิจัย.....	49
สารเคมีที่ใช้ในงานวิจัย.....	50
ขั้นตอนการดำเนินงานวิจัย.....	50
ปัจจัยควบคุม.....	52
วิธีการทำการทดสอบ.....	52
4 ผลการวิจัย.....	56
วิเคราะห์องค์ประกอบของสารเขวนโดย.....	56
การบำบัดน้ำเสียด้วยวิธีอินดิวซ์แคร์ไฟลเตชัน (IAF).....	59
การหาปริมาณแคนท์ไอกอนิกพิลเบอร์ที่เหมาะสมกับวิธีการบำบัดแบบ IAF.....	62
การบำบัดน้ำเสียด้วยวิธีอิเล็กโทรโคลอคคูเลชันไฟลเตชัน (ECF) และอิเล็กโทรไฟลเตชัน (EF).....	85

สารบัญ (ต่อ)

บทที่	หน้า
5 บทสรุป.....	106
สรุปผลการวิจัย.....	106
ความเป็นไปได้ในการนำร่อง IAF และวิธี EF และ ECF ไปใช้งาน.....	106
การประเมินความเป็นไปได้ทางวิศวกรรมและเศรษฐศาสตร์.....	108
ข้อเสนอแนะ.....	111
บรรณานุกรม.....	112
ภาคผนวก.....	116
ประวัติผู้วิจัย.....	125

สารบัญตาราง

ตาราง	หน้า
1 คุณภาพน้ำเสียของแหล่งน้ำมันสิริกิติ์.....	2
2 ค่าเฉลี่ยองค์ประกอบของ Produced Water.....	10
3 เปรียบเทียบข้อดีข้อเสียของแต่ละวิธีในการบำบัด Produced Water.....	13
4 ข้อดีข้อเสียของอิเล็กโทรดแต่ละชนิด.....	38
5 วิธีการดักคุณภาพน้ำเสียเบื้องต้น.....	53
6 ค่าตัวแปรที่ใช้ในการวิเคราะห์ด้วยเทคนิคอิเล็กโทรไฟล์เตชั่น.....	54
7 ค่าตัวแปรที่ใช้ในการวิเคราะห์ด้วยเทคนิคเอนดิวอร์ไฟล์เตชั่น.....	55
8 ผลการการวิเคราะห์ค่าความชื้นและสารอินทรีย์ระเหย.....	58
9 ผลการการวิเคราะห์ค่าพีเอช , คลอไรต์, ค่าของแข็งแขวนลอย, ค่าของแข็งทั้งหมด, ค่าของแข็งละลาย, ค่าน้ำมันในน้ำตัวอย่างที่เก็บจากปอดทึบน้ำระบบปิด.....	59
10 ลักษณะของหัวเติมอากาศบริษัท PYREX.....	66
11 สรุปผลการศึกษาค่าสัดส่วนปริมาณอากาศต่อปริมาณสารแขวนลอยที่เหมาะสม.....	78
12 สรุปผลการบำบัดแบบที่ใช้ จากวิธีเติมอากาศ.....	82
13 จำนวนอนุภาคแขวนลอยในน้ำเสียก่อนบำบัดและหลังบำบัดด้วยวิธี IAF โดยใช้หัวเติมอากาศที่มีขนาดความพูนแตกต่างกัน วิเคราะห์ด้วยเครื่อง Backman Z1.....	83
14 ประสิทธิภาพการกำจัดอนุภาคแขวนลอยโดยใช้หัวเติมอากาศที่มีขนาดความพูนแตกต่างกัน.....	84
15 พารามิเตอร์แคทไอก้อน แอนไอก้อน ของน้ำก่อนและหลังการบำบัดด้วยวิธี IAF.....	84
16 ผลการศึกษาพารามิเตอร์แคทไอก้อน แอนไอก้อน ของน้ำก่อนและหลังการบำบัดด้วยวิธี EF โดยใช้ข้าวaind และคาดเป็น BDD.....	100
17 สรุปประสิทธิภาพการกำจัดแบบที่ใช้ชนิดต่างๆ ของน้ำก่อนและหลังการบำบัดด้วยวิธี ECF.....	102

สารบัญตาราง (ต่อ)

ตาราง	หน้า
18 จำนวนอนุภาคแขวนลอยในน้ำเสียก่อน-หลัง บำบัดด้วยวิธี EF โดยใช้กราฟไฟฟ้า 3 แอมเปอร์เป็นเวลา 4 นาที ใช้ BDD เป็นอ่อนดและค่าトイดวิเคราะห์ด้วยเครื่อง Backman Z1.....	103
19 ประสิทธิภาพการใช้วิธี EF กำจัดอนุภาคแขวนลอยในน้ำเสียก่อน-หลังบำบัดด้วยเครื่อง Backman Z1.....	105
20 ผลเปรียบเทียบการบำบัดน้ำเสียด้วยเทคนิค EF, EOF และ IAF.....	107
21 ค่าพารามิเตอร์ที่ใช้ในการออกแบบระบบ IAF.....	108
22 ค่าใช้จ่ายของระบบ IAF.....	108
23 ค่าใช้จ่ายในการ Re-perforation.....	109
24 เปรียบเทียบค่าใช้จ่ายระหว่างการติดตั้งระบบ IAF กับเทคนิค Re-perforation.....	110

สารบัญภาพ

ภาพ	หน้า
1 การเปรียบเทียบผลกระทบระหว่างการอัดน้ำกับไม้อัดน้ำสูญเสียบีโตรเลียม.....	2
2 การทำงานของเอกสารเบบคที่เรีย.....	4
3 การทำปฏิริยาระหว่างเหล็กและก้าซไไซโคโรเจนชัลไฟด์.....	4
4 ลักษณะของ Petroleum Schmoo.....	5
5 การชนกันไปมาของอนุภาคคolloidal.....	18
6 ลักษณะของผังสองชั้นของคolloidal.....	19
7 ความหนาของผังคolloidalตามปริมาณไอโอดินในสารละลาย.....	20
8 เปรียบเทียบค่าศักย์ Zeta ระหว่างน้ำจืดและน้ำทะเล	21
9 ค่าการผลักกันทางไฟฟ้า(ซ้าย) และค่าแรงวัลเดอร์วาล (ขวา).....	22
10 ผลกระทบระหว่างแรงทางไฟฟ้าสถิตและแรงวัลเดอร์วาล.....	23
11 การลดขนาดของชั้นกระจาย(ซ้าย) และ การลดประจุที่ผิวคolloidal (ขวา).....	24
12 คolloidalที่ถูกทำลายเสียรูปภาพและรวมตัวกัน.....	25
13 การลดความหนาของชั้นกระจาย.....	26
14 การดูดติดและทำลาย.....	26
15 การใช้สารอินทรีย์โพลิเมอร์เป็นสะพานเชื่อมอนุภาคคolloidal.....	27
16 การจับอนุภาคคolloidalไว้ในสารประกอบที่สร้างชีenne.....	27
17 กราฟแสดงสถานะความหนาแน่นของโลหะ ชนวน และสารกึ่งตัวนำ.....	28
18 การเกิดไฮดรีนในผลึกของซิลิกอน.....	29
19 การนำไฟฟ้าของเซมิคอนดัคเตอร์.....	30
20 ภาพจำลองการเติมแอนติโมนี ลงในผลึกซิลิกอน และอิบิยาด้วยทฤษฎีแบบ.....	31
21 ภาพจำลองการเติมไบรอน ลงในผลึกซิลิกอน และอิบิยาด้วยทฤษฎีแบบ.....	31
22 แบบจำลองโครงสร้างผลึกของไบรอนโดยไดมอนด์.....	32
23 การเปรียบเทียบแบบพลังงานระหว่างไดมอนด์ และไดป์ไดมอนด์.....	33
24 ความสัมพันธ์ของการนำน้ำเสียด้วยไฟฟ้า.....	33
25 ลักษณะถังปฏิกรณ์แบบอิเล็กโทรโฟลเตชัน.....	35

สารบัญภาพ (ต่อ)

ภาพ	หน้า
26 ตัวอย่างการออกแบบแบบเซลล์ของขั้นตอนโดยมีการเติมโคลอเจนก่อนท่อ.....	36
27 ตัวอย่างการออกแบบเซลล์อิเล็กโทรไฟล์ชั้นแบบปกติ.....	36
28 การวางแผนอิเล็กโทรดแนวตั้ง.....	38
29 การวางแผนอิเล็กโทรดแนวคันทรี่.....	38
30 ไอล์ด์ไดนามิกของร้ามันและฟองก้าซ.....	43
31 แผนภูมิขั้นตอนวิเคราะห์คุณภาพน้ำเสียเบื้องต้น.....	47
32 แผนภูมิขั้นตอนอิเล็กโทรไฟล์ชั้น.....	48
33 แผนภูมิขั้นตอนอินเดิร์ชแคร์ฟล์ชั้น.....	48
34 ระบบร้ามีเสียของแหล่งสิริกิติ์.....	49
35 ลักษณะถังปฏิกรณ์ ECF.....	49
36 ถังปฏิกรณ์ IAF.....	50
37 การนำไปริมานและรับแบบที่เรียกแบบที่เรียกเอกสารนี้ด้วยเทคนิคเดื่อจาง สิบเท่า (NACE Standard TM0194-94 item no.21224).....	53
38 องค์ประกอบของตะกอนในหลุม LKU-C33.....	56
39 องค์ประกอบของตะกอนในหลุม LKU-C38.....	57
40 ผล IR ของหลุม LKU-C33.....	58
41 ผล IR ของหลุม LKU-C38.....	58
42 การนำบัดความชุ่นของ Coagulant EC60294A.....	60
43 การนำบัดความชุ่นของ Optimer 7194 Plus.....	60
44 การนำบัดน้ำเสียโดยการปรับค่าพีเอชเพียงอย่างเดียว.....	61
45 การนำบัดด้วยวิธี IAF ร่วมกับการเติมสารพอกลิเมอร์.....	61
46 การนำไปริมานแคทไออันนิคพอกลิเมอร์ที่เหมาะสมกับวิธีการนำบัดแบบ IAF.....	63
47 การหาอัตราการเติมอากาศที่เหมาะสมโดยเปรียบเทียบประสิทธิภาพการนำบัด ของแข็งแขวนลอย.....	64

สารบัญภาพ (ต่อ)

ภาพ	หน้า
48 การหาอัตราการเติมอากาศที่เหมาะสมโดยเปรียบเทียบประสิทธิภาพการบำบัดน้ำมันในน้ำ.....	64
49 การหาอัตราการเติมอากาศที่เหมาะสมโดยเปรียบเทียบประสิทธิภาพการบำบัดความชื้น.....	65
50 ลักษณะหัวเติมอากาศที่ใช้ในการทดลอง.....	66
51 ผลการศึกษาปัจจัยด้านขนาดธูพุนของหัวเติมอากาศที่ส่งผลต่อประสิทธิภาพการบำบัด โดยเปรียบเทียบค่าของแข็งแกร่งโดย.....	67
52 ผลการศึกษาปัจจัยด้านขนาดธูพุนของหัวเติมอากาศที่ส่งผลต่อประสิทธิภาพการบำบัด โดยเปรียบเทียบค่าของน้ำมันในน้ำ.....	67
53 ผลการศึกษาปัจจัยด้านขนาดธูพุนของหัวเติมอากาศที่ส่งผลต่อประสิทธิภาพการบำบัด โดยเปรียบเทียบค่าความชื้น.....	68
54 การหาอัตราการเติมในตอรเจนที่เหมาะสมโดยเปรียบเทียบประสิทธิภาพการบำบัดของแข็งแกร่งโดยน้ำมันในน้ำ และความชื้น.....	69
55 การหาอัตราการเติมในตอรเจนที่เหมาะสมโดยเปรียบเทียบประสิทธิภาพการบำบัดของแข็งแกร่งโดยน้ำมันในน้ำ และความชื้น.....	70
56 การหาอัตราการเติมในตอรเจนที่เหมาะสมโดยเปรียบเทียบประสิทธิภาพการบำบัดของแข็งแกร่งโดยน้ำมันในน้ำ และความชื้น.....	70
57 การเปรียบเทียบผลการบำบัดของแข็งแกร่งโดยระหว่างวิธีเติมอากาศและวิธีเติมในตอรเจน ที่อัตราการเติมก๊าซ 2 ลิตรต่อน้ำที่ตามลำดับ.....	71
58 การเปรียบเทียบผลการบำบัดของแข็งแกร่งโดยระหว่างวิธีเติมอากาศและวิธีเติมในตอรเจน ที่อัตราการเติมก๊าซ 4 ลิตรต่อน้ำที่ตามลำดับ.....	72
59 การเปรียบเทียบผลการบำบัดของแข็งแกร่งโดยระหว่างวิธีเติมอากาศและวิธีเติมในตอรเจน ที่อัตราการเติมก๊าซ 7 ลิตรต่อน้ำที่ตามลำดับ.....	72
60 การเปรียบเทียบผลการบำบัดน้ำมันในน้ำระหว่างวิธีเติมอากาศและวิธีเติมในตอรเจน ที่อัตราการเติมก๊าซ 2 ลิตรต่อน้ำที่ตามลำดับ.....	73

สารบัญภาพ (ต่อ)

ภาพ	หน้า
61 การเปรียบเทียบผลการบำบัดน้ำมันในน้ำระหว่างวิธีเติมอากาศและวิธีเติมในไตรเจน ที่อัตราการเติมก๊าซ 4 ลิตรต่อนาทีตามลำดับ.....	73
62 การเปรียบเทียบผลการบำบัดน้ำมันในน้ำระหว่างวิธีเติมอากาศและวิธีเติมในไตรเจน ที่อัตราการเติมก๊าซ 7 ลิตรต่อนาทีตามลำดับ.....	74
63 การเปรียบเทียบผลการบำบัดความชื้นระหว่างวิธีเติมอากาศและวิธีเติมในไตรเจน ที่อัตราการเติมก๊าซ 2 ลิตรต่อนาทีตามลำดับ.....	75
64 การเปรียบเทียบผลการบำบัดความชื้นระหว่างวิธีเติมอากาศและวิธีเติมในไตรเจน ที่อัตราการเติมก๊าซ 4 ลิตรต่อนาทีตามลำดับ.....	75
65 การเปรียบเทียบผลการบำบัดความชื้นระหว่างวิธีเติมอากาศและวิธีเติมในไตรเจน ที่อัตราการเติมก๊าซ 7 ลิตรต่อนาทีตามลำดับ.....	76
66 ลักษณะของน้ำตัวอย่างเมื่อสัมผัสนอกซีเจนเปรียบเทียบกับไมส์มัสดอกซีเจน.....	77
67 ผลการหาปริมาณชัลเฟต์รีดิวชิงแบคที่เรียข่องน้ำตัวอย่าง.....	78
68 ผลการหาปริมาณแบคที่เรียสร้างกรดของน้ำตัวอย่าง.....	79
69 ผลการหาปริมาณชัลเฟต์รีดิวชิงแบคที่เรียข่องน้ำตัวอย่างหลังบำบัดด้วยวิธีเติมอากาศโดยใช้หัวเติมอากาศเบอร์ 2.....	80
70 ผลการหาปริมาณชัลเฟต์รีดิวชิงแบคที่เรียข่องน้ำตัวอย่างหลังบำบัดด้วยวิธีเติมอากาศโดยใช้หัวเติมอากาศเบอร์ 3.....	80
71 ผลการหาปริมาณแบคที่เรียสร้างกรดของน้ำตัวอย่างหลังบำบัดด้วยวิธีเติมอากาศโดยใช้หัวเติมอากาศเบอร์ 2.....	81
72 ผลการหาปริมาณแบคที่เรียสร้างกรดของน้ำตัวอย่างหลังบำบัดด้วยวิธีเติมอากาศโดยใช้หัวเติมอากาศเบอร์ 3.....	81
73 แสดงจำนวนอนุภาคแขวนลอยในน้ำเสียก่อนบำบัดและหลังบำบัดด้วยวิธี IAF โดยใช้หัวเติมอากาศที่มีขนาดความพูนแตกต่างกัน วิเคราะห์ด้วยเครื่อง Backman Z1.....	83

สารบัญภาพ (ต่อ)

ภาพ	หน้า
74 การหาปริมาณกระแสไฟฟ้าที่เหมาะสมเมื่อใช้แสตนเลสเป็นอาโนด และคากาโพด โดยเปรียบเทียบประสิทธิภาพการนำบัดของแข็ง เช่น โลหะ.....	86
75 การหาปริมาณกระแสไฟฟ้าที่เหมาะสมเมื่อใช้แสตนเลสเป็นอาโนด และคากาโพด โดยเปรียบเทียบประสิทธิภาพการนำบัดน้ำมันในน้ำ.....	87
76 การหาปริมาณกระแสไฟฟ้าที่เหมาะสมเมื่อใช้อลูมิเนียมเป็นอาโนด และคากาโพด โดยเปรียบเทียบประสิทธิภาพการนำบัดของความชืืุ่น.....	87
77 การหาปริมาณกระแสไฟฟ้าที่เหมาะสมเมื่อใช้อลูมิเนียมเป็นอาโนด และคากาโพด โดยเปรียบเทียบประสิทธิภาพการนำบัดของแข็ง เช่น โลหะ.....	88
78 การหาปริมาณกระแสไฟฟ้าที่เหมาะสมเมื่อใช้อลูมิเนียมเป็นอาโนด และคากาโพด โดยเปรียบเทียบประสิทธิภาพการนำบัดน้ำมันในน้ำ.....	89
79 การหาปริมาณกระแสไฟฟ้าที่เหมาะสมเมื่อใช้อลูมิเนียมเป็นอาโนด และคากาโพด โดยเปรียบเทียบประสิทธิภาพการนำบัดความชืืุ่น.....	89
80 การหาปริมาณกระแสไฟฟ้าที่เหมาะสมเมื่อใช้เหล็กเป็นอาโนด และคากาโพด โดยเปรียบเทียบประสิทธิภาพการนำบัดของแข็ง เช่น โลหะ น้ำมันในน้ำ และความชืืุ่น.....	91
81 การหาปริมาณกระแสไฟฟ้าที่เหมาะสมเมื่อใช้เหล็กเป็นอาโนด และเป็นคากาโพด โดยเปรียบเทียบประสิทธิภาพการนำบัดของแข็ง เช่น โลหะ น้ำมันในน้ำ และความชืืุ่น.....	91
82 การหาปริมาณกระแสไฟฟ้าที่เหมาะสมเมื่อใช้เหล็กเป็นอาโนด และคากาโพด โดยเปรียบเทียบประสิทธิภาพการนำบัดของแข็ง เช่น โลหะ น้ำมันในน้ำ และความชืืุ่น.....	92
83 การหาปริมาณกระแสไฟฟ้าที่เหมาะสมเมื่อใช้ BDD เป็นอาโนด และคากาโพด โดยเปรียบเทียบประสิทธิภาพการนำบัดของแข็ง เช่น โลหะ.....	93
84 การหาปริมาณกระแสไฟฟ้าที่เหมาะสมเมื่อใช้ BDD เป็นอาโนด และคากาโพด โดยเปรียบเทียบประสิทธิภาพการนำบัดน้ำมันในน้ำ.....	94

สารบัญภาพ (ต่อ)

ภาพ	หน้า
85 การหาปริมาณกระແສໄຟຟາທີ່ເໝາະສມເນື້ອໃ້ BDD ເປັນອາໂນດ ແລະຄາໂທດ ໂດຍເປົ້າຍບໍ່ເຫັນປະສິທິກາພກການນຳບັດຄວາມຊຸ່ນ.....	94
86 ເປົ້າຍບໍ່ເຫັນປະສິທິກາພກການນຳບັດຄ່າຂອງເໝັ້ງແຂວນລອຍ ຈາກການເປີ່ຍນ໌ນິດ ຂອງອີເລັກໂທຣດທີ່ຂ້າວາໂນດຕື່ອ ແສຕນເລສ, ອລຸມືເນີຍມ, ແລັກ, BDD ທີ່ ປົ້າມານກະແສໄຟຟາ 1 ແອມແປ່ງ.....	95
87 ເປົ້າຍບໍ່ເຫັນປະສິທິກາພກການນຳບັດຄ່າຂອງເໝັ້ງແຂວນລອຍ ຈາກການເປີ່ຍນ໌ນິດ ຂອງອີເລັກໂທຣດທີ່ຂ້າວາໂນດຕື່ອ ແສຕນເລສ, ອລຸມືເນີຍມ, ແລັກ, BDD ທີ່ ປົ້າມານກະແສໄຟຟາ 3 ແອມແປ່ງ.....	96
88 ເປົ້າຍບໍ່ເຫັນປະສິທິກາພກການນຳບັດຄ່ານໍາມັນໃນນໍາຈາກການເປີ່ຍນ໌ນິດຂອງ ອີເລັກໂທຣດທີ່ຂ້າວາໂນດຕື່ອ ແສຕນເລສ, ອລຸມືເນີຍມ, ແລັກ, BDD ທີ່ປົ້າມານ ກະແສໄຟຟາ 1 ແອມແປ່ງ.....	97
89 ເປົ້າຍບໍ່ເຫັນປະສິທິກາພກການນຳບັດຄ່ານໍາມັນໃນນໍາຈາກການເປີ່ຍນ໌ນິດຂອງ ອີເລັກໂທຣດທີ່ຂ້າວາໂນດຕື່ອ ແສຕນເລສ, ອລຸມືເນີຍມ, ແລັກ, BDD ທີ່ປົ້າມານ ກະແສໄຟຟາ 3 ແອມແປ່ງ.....	97
90 ເປົ້າຍບໍ່ເຫັນປະສິທິກາພກການນຳບັດຄ່າຄວາມຊຸ່ນໃນນໍາຈາກການເປີ່ຍນ໌ນິດຂອງ ອີເລັກໂທຣດທີ່ຂ້າວາໂນດຕື່ອ ແສຕນເລສ, ອລຸມືເນີຍມ, ແລັກ, BDD ທີ່ປົ້າມານ ກະແສໄຟຟາ 1 ແອມແປ່ງ.....	98
91 ເປົ້າຍບໍ່ເຫັນປະສິທິກາພກການນຳບັດຄ່າຄວາມຊຸ່ນໃນນໍາຈາກການເປີ່ຍນ໌ນິດຂອງ ອີເລັກໂທຣດທີ່ຂ້າວາໂນດຕື່ອ ແສຕນເລສ, ອລຸມືເນີຍມ, ແລັກ, BDD ທີ່ປົ້າມານ ກະແສໄຟຟາ 1 ແອມແປ່ງ.....	99
92 ພລກາວຫາປົ້າມານແບຄທີ່ເຮີຍສ້າງກຽດໜັກການນຳບັດດ້ວຍວິທີ EF ໂດຍໃຫ້ຂ້າວາໂນດ ແລະຄາໂທດເປັນ BDD.....	101
93 ພລກາວຫາປົ້າມານແບຄທີ່ເຮີຍ SRB ສັງການນຳບັດດ້ວຍວິທີ EF ໂດຍໃຫ້ຂ້າວາໂນດ ແລະຄາໂທດເປັນ BDD.....	101

สารบัญภาพ (ต่อ)

ภาพ	หน้า
94 ลักษณะตะกอนที่ได้จากการบำบัดด้วยวิธี EF เมื่อใช้ BDD เป็นอาโนด และ cathode.....	102
95 ผลการวิเคราะห์ตะกอนที่ได้จากการบำบัดด้วยวิธี EF เมื่อใช้ BDD เป็นอาโนด และ cathodeด้วยเครื่อง FT-IR.....	103
96 จำนวนอนุภาคแขวนลอยในน้ำเสียก่อน-หลังบำบัดด้วยวิธี EF โดยใช้ กระแสงไฟฟ้า 3 แอมป์ร์ เป็นเวลา 4 นาที ใช้ BDD เป็นอาโนดและ cathode วิเคราะห์ด้วยเครื่อง Backman Z1.....	104
97 การบำบัดด้วยเทคนิคอิเล็กโทรโฟลเทชั่นโดยใช้เหล็กเป็นข้าวอาโนดและ cathode ให้กระแสงไฟฟ้า 1 แอมป์ร์ หลังทำปฏิกิริยา.....	117
98 การบำบัดด้วยเทคนิคอิเล็กโทรโฟลเทชั่นโดยใช้เหล็กเป็นข้าวอาโนดและ cathode ให้กระแสงไฟฟ้า 1 แอมป์ร์และปล่อยให้ตกตะกอนเป็นเวลา 7 วัน.....	117
99 การบำบัดด้วยเทคนิคอิเล็กโทรโฟลเทชั่นโดยใช้อลูมิเนียมเป็นข้าวอาโนดและ cathode ให้กระแสงไฟฟ้า 1 แอมป์ร์ หลังทำปฏิกิริยา.....	118
100 การบำบัดด้วยเทคนิคอิเล็กโทรโฟลเทชั่นโดยใช้อลูมิเนียมเป็นข้าวอาโนดและ cathode ให้กระแสงไฟฟ้า 1 แอมป์ร์และปล่อยให้ตกตะกอนเป็นเวลา 7 วัน...	118
101 การบำบัดด้วยเทคนิคอิเล็กโทรโฟลเทชั่นโดยใช้สแตนเลสเป็นข้าวอาโนดและ cathode ให้กระแสงไฟฟ้า 1 แอมป์ร์ หลังทำปฏิกิริยา.....	119
102 การบำบัดด้วยเทคนิคอิเล็กโทรโฟลเทชั่นโดยใช้สแตนเลสเป็นข้าวอาโนดและ cathode ให้กระแสงไฟฟ้า 1 แอมป์ร์และปล่อยให้ตกตะกอนเป็นเวลา 7 วัน...	119
103 การบำบัดด้วยเทคนิคอิเล็กโทรโฟลเทชั่นโดย BDD เป็นข้าวอาโนดและ cathode ให้กระแสงไฟฟ้า 1 แอมป์ร์ หลังทำปฏิกิริยา.....	120
104 การบำบัดด้วยเทคนิคอิเล็กโทรโฟลเทชั่นโดยใช้ BDD เป็นข้าวอาโนดและ cathode ให้กระแสงไฟฟ้า 1 แอมป์ร์และปล่อยให้ตกตะกอนเป็นเวลา 7 วัน.....	120
105 การบำบัดด้วยเทคนิคอิเล็กโทรโฟลเทชั่นโดย เหล็ก เป็นข้าวอาโนดและ cathode ให้กระแสงไฟฟ้า 3 แอมป์ร์ หลังทำปฏิกิริยา.....	121

สารบัญภาพ (ต่อ)

ภาพ	หน้า
106 การนำบัดด้วยเทคนิคอิเล็กทรอฟลเตชั่นโดยใช้ เหล็ก เป็นข้าวอาโนดและคาด ให้กระแสไฟฟ์ 3 แอมป์ร์และปล่อยให้ตกตะกอนเป็นเวลา 7 วัน.....	121
107 การนำบัดด้วยเทคนิคอิเล็กทรอฟลเตชั่นโดย อุณหภูมิเยี่ยม เป็นข้าวอาโนดและ คาด ให้กระแสไฟฟ์ 3 แอมป์ร์ หลังทำปฏิกิริยา.....	122
108 การนำบัดด้วยเทคนิคอิเล็กทรอฟลเตชั่นโดยใช้ อุณหภูมิเยี่ยม เป็นข้าวอาโนดและ คาด ให้กระแสไฟฟ์ 3 แอมป์ร์และปล่อยให้ตกตะกอนเป็นเวลา 7 วัน...	122
109 การนำบัดด้วยเทคนิคอิเล็กทรอฟลเตชั่นโดย สแตนเลส เป็นข้าวอาโนดและ คาด ให้กระแสไฟฟ์ 3 แอมป์ร์ หลังทำปฏิกิริยา.....	123
110 การนำบัดด้วยเทคนิคอิเล็กทรอฟลเตชั่นโดยใช้ สแตนเลส เป็นข้าวอาโนดและ คาด ให้กระแสไฟฟ์ 3 แอมป์ร์และปล่อยให้ตกตะกอนเป็นเวลา 7 วัน...	123
111 การนำบัดด้วยเทคนิคอิเล็กทรอฟลเตชั่นโดย BDD 124 เป็นข้าวอาโนดและ คาด ให้กระแสไฟฟ์ 3 แอมป์ร์ หลังทำปฏิกิริยา.....	124
112 การนำบัดด้วยเทคนิคอิเล็กทรอฟลเตชั่นโดยใช้ BDD เป็นข้าวอาโนดและคาด คาด ให้กระแสไฟฟ์ 3 แอมป์ร์ และปล่อยให้ตกตะกอนเป็นเวลา 7 วัน.....	124

บทที่ 1

บทนำ

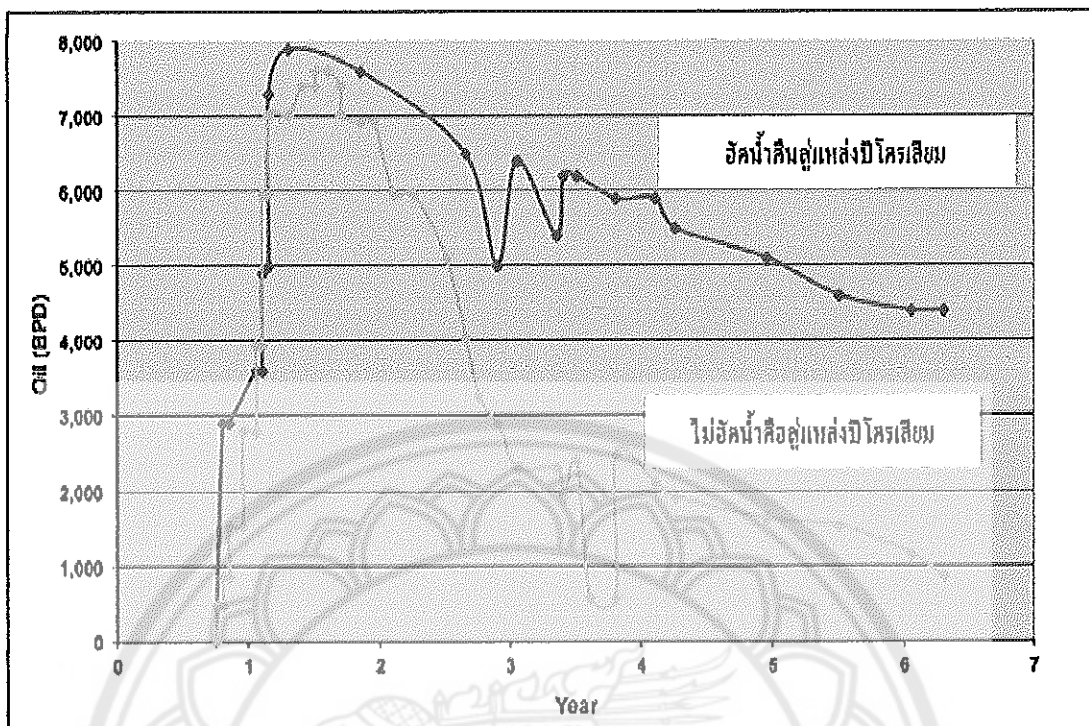
ความเป็นมาและความสำคัญของปัญหา

กระบวนการผลิตปิโตรเลียมโดยปกติแล้วจะมีน้ำติดขึ้นมากับปิโตรเลียมด้วย ปริมาณน้ำที่ผลิตได้มักจะแปรผันตามอายุของหลุ่มที่ผลิต คือในช่วงเริ่มต้นของการผลิต จะยังไม่มีน้ำติดขึ้นมาแต่เมื่อผลิตไปสักระยะหนึ่งจะมีปริมาณน้ำเพิ่มขึ้น น้ำที่ผลิตขึ้นมาจำนวนมากนี้มาจากการน้ำที่อาศัยอยู่ในแหล่งกักเก็บเดียวกับปิโตรเลียม

น้ำเหล่านี้เมื่อผลิตขึ้นมาแล้วไม่สามารถปล่อยทิ้งลงสู่สิ่งแวดล้อม เช่น แหล่งน้ำพื้นดินตามธรรมชาติได้เนื่องจาก มีสารพิษที่เป็นอันตรายต่อสิ่งแวดล้อมปะอยู่ เช่น คลอรัวเดที่มีปริมาณสูงหรือสารอินทรีย์ จำพวกสารประกอบปิโตรเลียมໄอิดริคบอนหั้งที่ละลายในน้ำและเขวนโดยองค์ประกอบของสารปนเปื้อนที่ติดมากับน้ำ (Fakhru'l-Razi Ahmadun, et al., 2009)

ในปัจจุบัน แหล่งสิริกิติ์กำจัดน้ำเสียเหล่านี้โดยการอัดน้ำกลับลงไบยังแหล่งผลิตปิโตรเลียมเดิม โดยไม่มีการปล่อยน้ำเสียออกสู่สิ่งแวดล้อมเลย การอัดน้ำกลับคืนสู่แหล่งปิโตรเลียมเดิมมีประโยชน์ 2 ประการคือ

1. ไม่ปล่อยสารเคมีที่เป็นพิษสู่สิ่งแวดล้อม
2. เพิ่มศักยภาพในการผลิตปิโตรเลียมเนื่องจากน้ำเหล่านี้จะไปช่วยรักษาความดันในแหล่งผลิต



ภาพ 1 การเปรียบเทียบผลระหว่างการอัดน้ำกับไม้อัดน้ำสูญเสียพลังปิโตรเลียม

ที่มา: Robinson, D., 2013

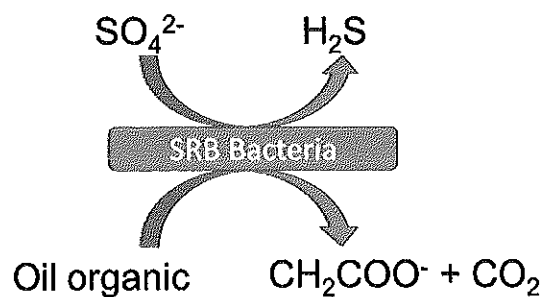
อย่างไรก็ตามคุณสมบัติของน้ำเสียที่สามารถอัดลงสู่แหล่งกักเก็บปิโตรเลียมได้นั้น จะแปรผันไปตามชนิดของความพรุนของชั้นหินในแต่ละแหล่งกักเก็บ ซึ่งจากการศึกษาการอัดน้ำของบริษัท "Oil Plus Limited" เมื่อปี 2536 พบร่วมกับน้ำเสียที่ฝ่าน้ำไปได้สำหรับการอัดน้ำของแหล่งสูญเสียขนาด 1 ไมครอน อย่างไรก็ตามขนาด 1 ไมครอน เป็นขนาดที่เล็กมาก ซึ่งต้องใช้เงินลงทุนอย่างมากในการนำน้ำ บริษัทจึงกำหนดค่ามาตรฐานเรื้อนใหม่คือ อนุภาคที่ฝ่าน้ำไปได้ไม่ควรเกิน 5 ไมครอน คุณสมบัติของน้ำเสียของแหล่งน้ำมันสูญเสียขนาด 1

ตาราง 1 คุณภาพน้ำเสียของแหล่งน้ำมันสิริกิติ์

คุณสมบัติ	ค่าที่วัดได้ในปัจจุบัน (พ.ศ. 2556)	ค่ามาตรฐานของแหล่งน้ำมัน สิริกิติ์
ไขมันละลายน้ำ (ppm)	63.7	น้อยกว่า 200 พีพีเอ็ม
คลอร์ (mg/l)	8,892	-
พีโครช	7.7	5.0-9.0
เอสอาบี แบคทีเรีย (จำนวน แบคทีเรียต่อ 1 มิลลิลิตร)	10^1 ถึง 10^2	ไม่พบ
อนุภาคที่มีขนาดมากกว่า 5 ไมครอน	89,740	ไม่พบ*

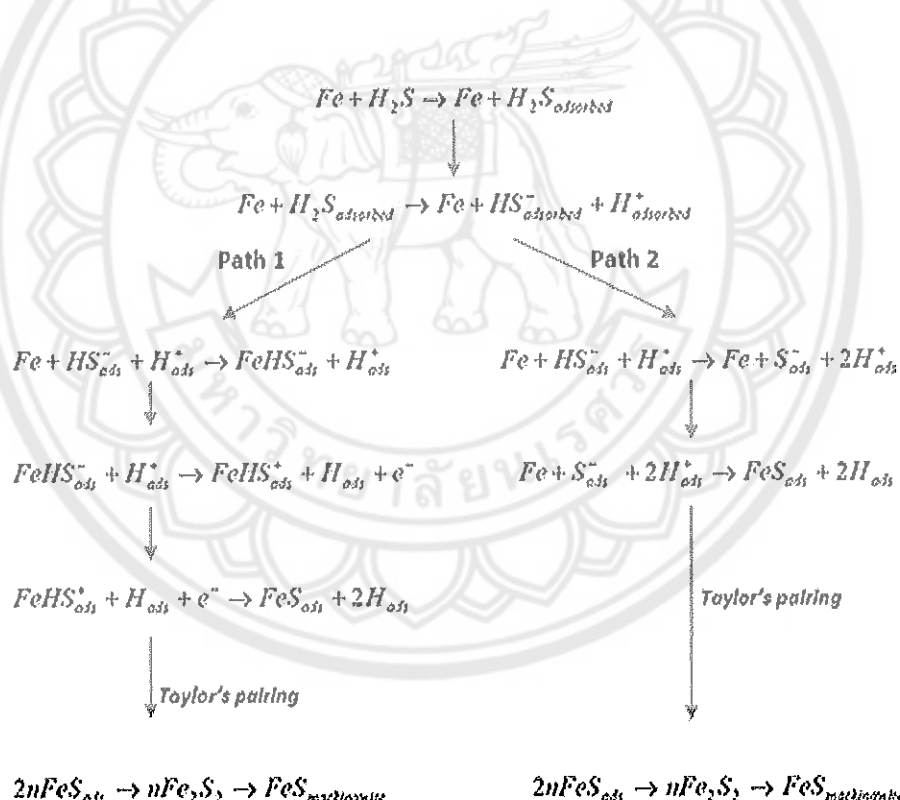
หมายเหตุ: * เป็นค่าที่กำหนดโดยวิศวกรแหล่งกักเก็บปิโตรเลียม (Reservoir Engineer) อย่างไรก็ตามในทางวิศวกรรมศาสตร์จะไม่สามารถสร้างเครื่องมือที่สามารถกำจัดอนุภาคที่มีขนาดมากกว่า 5 ไมครอนได้ทั้งหมด บริษัทฯ คาดอนุภาคที่สามารถอนุโลมให้เหลืออยู่หลังบำบัดได้อาจต้องมีการหาดูดคุ้มทุนภายนหลัง เนื่องจากการกำจัดอนุภาคออกไปมากจะทำให้เสียค่าใช้จ่ายเพิ่มเติม

จากค่าที่แสดงดังตาราง 1 พบว่าค่าเอสอาบีแบคทีเรีย (Patton,C.C.,1995, p.194) และค่าอนุภาคที่มีมากกว่า 5 ไมครอน มีค่ามากกว่าเกณฑ์ที่กำหนด (ค่าเฉพาะของแหล่งสิริกิติ์) เอสอาบี แบคทีเรียเป็นแบคทีเรียทำให้เกิดการกัดกร่อนโลหะ โดยเมื่อเอสอาบีแบคทีเรียได้รับสารอินทรีย์ไม่ kompleks และ ซัลเฟต จะปลดปล่อยก๊าซไฮโดรเจนชัลไฟด์และ อะซิติกแอซิต ดังอธิบายตามภาพ



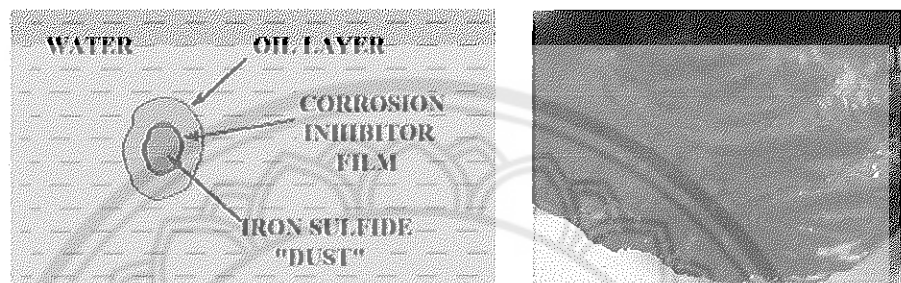
ภาพ 2 การทำงานของเชื้อราบีแบคทีเรีย

ก้าชไไซด์เจนซัลไฟฟ์ดหรือก้าชไไนเน่ที่เกิดขึ้นสามารถทำปฏิกิริยาดังกร่อนโลหะ เที่ยนปฏิกิริยาได้ดังนี้



ภาพ 3 การทำปฏิกิริยาระหว่างเหล็กและก้าชไไซด์เจนซัลไฟฟ์

FeS ที่เกิดขึ้นมักจะไปรวมตัวกับน้ำมันและสารเคมีที่ใช้ในกระบวนการผลิตบิตรเลียมเกิดเป็นอนุภาคขนาดเล็กที่เรียกว่า Petroleum Schmoo โดยอนุภาคนี้จะทำให้เกิดการอุดตันในหลุมทึ้งน้ำ โดยในทางปฏิบัติจะต้องทำการยิง PIG (pressure inspection gauge) เพื่อทำการกวาดสิ่งสกปรกเหล่านี้ปัดสองครั้ง



ภาพ 4 ลักษณะของ Petroleum Schmoo

ที่มา: Reference, T., 2010

อื่นนอกจาก FeS แล้วยังมีอนุภาคขนาดเล็กอื่นๆ อีกเช่น ตะกรัน แคลเซียมคาร์บอนेट แคลเซียมซัลเฟต เป็นต้น ซึ่งปฏิกิริยาเกิดจากการนำน้ำจากแหล่งผลิตที่ต่างกันมารวมกัน ทำให้เกิดการตกตะกอน

การทำจัด H_2S ให้หมดไปจากระบบเป็นสิ่งที่ยาก เนื่องมาจากการทำฟ้าเอื้อแบคทีเรียได้ทั่วระบบการผลิต อีกทั้งแหล่งผลิตบิตรเลียมบางแหล่งยังพบ H_2S ได้เองโดยธรรมชาติ การลึกเลี้ยงการตกตะกอนของตะกรันต่างๆ จากปัญหาความเข้ากันได้ของน้ำแร่และแหล่งก์เป็นสิ่งที่ปฏิกิริยาได้ยาก งานวิจัยนี้จึงมุ่งเน้นไปที่การทำจัดอนุภาคที่เกิดจากการผลิต เพื่อลดปัญหาการอุดตันในหลุมทึ้งน้ำโดยทดลองหารือการใหม่ คือเทคนิคօลิເລິກໂຕຣີໂຟລເທັ້ນซึ่งพบว่ามีศักยภาพในการลดทั้งปริมาณแบคทีเรีย และอนุภาคแขวนลอย โดยนำมาเบรเยนกับเทคนิคที่ใช้แพร่หลายในปัจจุบันคือ อินດิวັງແອຣີໂຟລເທັ້ນ

วัตถุประสงค์ของการวิจัย

1. เพื่อศึกษาความเป็นไปได้และปัจจัยสำคัญในการบำบัดน้ำเสียจากการขุดเจาะน้ำมัน (Produced Water) ด้วยวิธีอิเล็กโทรไฟลเตชั่น และวิธีโคแอกูเลชั่นร่วมกับอินดิวอร์แอร์ไฟลเตชั่น
2. เพื่อศึกษาประสิทธิภาพการบำบัดค่ามลสารต่างๆ ในน้ำเสียจากการขุดเจาะน้ำมัน (Produced Water) โดยวิธีอิเล็กโทรไฟลเตชั่น และวิธีโคแอกูเลชั่นร่วมกับอินดิวอร์แอร์ไฟลเตชั่น
3. เพื่อประเมินความเป็นไปได้ทางวิศวกรรมและเศรษฐศาสตร์ ในการสร้างระบบมาใช้จริง

กรอบแนวคิดที่ใช้ในการวิจัย

เทคโนโลยีอินดิวอร์แอร์ หรือ อินดิวอร์แก๊สไฟลเตชั่น เป็นเทคโนโลยีการกำจัดอนุภาคแขวนลอยที่ใช้กันอย่างแพร่หลายในอุตสาหกรรมปิโตรเลียม ซึ่งสามารถบำบัดน้ำปนเปื้อนน้ำมันไปพร้อมกับอนุภาคขนาดเล็กโดยอาศัยการเกาะติดของฟองก๊าซกับอนุภาคแล้วยกอนุภาคต่างๆ ขึ้นสู่ผิวน้ำ ทั้งนี้การเติมสารโคแอกูเลนท์เพื่อจะช่วยทำให้น้ำที่บำบัดแล้วมีค่าพารามิเตอร์ตามต้องการ โดยสิ่งสกปรกที่ถูกจับขึ้นมาสามารถกำจัดออกได้ด้วยอุปกรณ์ทางกล อย่างไรก็ตามยังมีเทคนิคใหม่ๆ คือ อิเล็กโทรไฟลเตชั่นที่สามารถบำบัดน้ำปนเปื้อนน้ำมันไปพร้อมกับอนุภาคขนาดเล็ก เช่นเดียวกัน โดยมีข้อดีคือสามารถผลิตออกซิไดซิ่งເອເຈັນທີ່ คือ ก๊าซคลอรินซึ่งสามารถนำไปใช้แทนคลอร์ SRB ได้โดยไม่จำเป็นต้องเติมสารเคมีเพิ่ม อย่างไรก็ตามก๊าซคลอรินที่มากเกินพออาจไปทำให้เกิดการกัดกร่อน ท่อและอุปกรณ์การผลิตที่ทำจากโลหะ ฉึกทั้งๆ ชาจเกิดสารเคมีข้างเคียงจากปฏิกิริยาออกซิเดชั่น งานวิจัยนี้ได้ทำการศึกษาความเป็นไปได้ของ การใช้วิธีอิเล็กโทรไฟลเตชั่น ต่อการบำบัดน้ำเสียจากอุตสาหกรรมปิโตรเลียมโดยเบรียบเพียงกับเทคนิคเดิมคืออินดิวอร์แอร์ไฟลเตชั่น โดยทำการทดลองด้วยอุปกรณ์ตัวตันแบบ ที่เป็นแบบง่าย เพื่อให้สามารถนำค่าพารามิเตอร์ต่างๆ ไปใช้ในการออกแบบอุปกรณ์การบำบัดแบบต่อเนื่องได้ในอนาคต

สมมติฐานของการวิจัย

น้ำจากอุตสาหกรรมปิโตรเลียมประกอบไปด้วยอนุภาคแขวนลอยได้แก่ แอกซ์ฟ้าทึ่น ตะกรัน ทรวย เป็นต้น มักถูกห่อหุ้มด้วยน้ำมันชนิดไม่ละลายน้ำ สงผลให้อนุภาคเหล่านี้มีค่าความหนาแน่นไม่ต่างจากน้ำ การอัดน้ำที่ยังไม่ได้รับการบำบัดกลับคืนสู่แหล่งกักเก็บ จะทำให้เกิดปัญหาการอุดตันในหลุมทึ่นน้ำ เทคนิค อินดิวอร์แอร์ไฟลเตชั่น เป็นเทคนิคนึงที่ใช้ในการบำบัดน้ำเสียอย่างแพร่หลายในปัจจุบัน อย่างไรก็ตามยังมีเทคนิคไฟลเตชั่นอื่นๆ ที่น่าสนใจคือ อิเล็กโทรไฟลเตชั่น

ที่สามารถทำปฏิกริยาออกซิเดชั่นไปพร้อมกับการนำบัด ส่งผลให้มีการกำจัดแบคทีเรียไปพร้อมกับอนุภาคแขวนลอย ซึ่งมีคุณภาพสามารถนำไปพัฒนาเพื่อใช้ในอุตสาหกรรมปิโตรเคมีได้

ขอบเขตการวิจัย

1. ศึกษาคุณภาพของน้ำเสียจากแหล่งน้ำมันสิริกิติ์

1.1 หาปริมาณของเชิงทั้งหมด ของแข็งแขวนลอย ของเชิงละลายน้ำ ของเชิงอนิริย์ของเชิงอนินทริย์

1.2 หาค่าพีเอชด้วยเครื่อง พีเอชมิเตอร์

1.3 หาค่าคลอไรด์ด้วยวิธีไทเทเรชันกับซิลเวอร์ไนเตรท

1.4 หาค่าของเชิงละลายและค่าการนำไฟฟ้าด้วยเครื่องวัดค่าการนำกระแสไฟฟ้า

1.5 หาขนาดการกระจายตัวของอนุภาคแขวนลอยด้วยเครื่องวัด particle size distribution

1.6 หาค่าแบคทีเรียโดยนำไปเพาะเลี้ยงในอาหารเลี้ยงเชื้อ

1.7 หาปริมาณชัลเฟตและชัลไฟด์

1.8 หาค่าไขมันละลายในน้ำ

1.9 หาปริมาณเหล็กทั้งหมด

2. ออกแบบและสร้างถังปฏิกรณ์แบบกระสำหรับเทคโนโลยีเล็กໂຕ鄱เตชั่น และอินดิวซ์เօร์鄱เตชั่น

3. เปรียบเทียบประสิทธิภาพการนำน้ำเสียของเทคนิคเօร์鄱เตชั่นกับการนำบัดน้ำเสียด้วยวิธีอินดิวซ์เօร์鄱เตชั่นโดยพิจารณาค่า พีเอช, คลอไรด์, ของเชิงทุกชนิด, SRB, ชัลเฟต, ชัลไฟด์, ค่าการนำไฟฟ้า

4. ศึกษาปัจจัยที่มีผลกระทบต่อระบบอิเล็กໂຕ鄱เตชั่น คือ

4.1 เกลาในการทำปฏิกริยา 5, 10, 15, 30 นาที

4.2 ปริมาณกระแสไฟฟ้าคือ 3 แอมเปอร์, 5 แอมเปอร์ และ 7 แอมเปอร์

4.3 ชนิดของอิเล็กโทรด

4.3.1 ละลายเมื่อเกิดปฏิกริยา คือ เหล็ก และอลูมิเนียม

4.3.2 ไม่ละลายเมื่อเกิดปฏิกริยา

5. ศึกษาปัจจัยที่มีผลกระทบต่อระบบอินดิวซ์เօร์鄱เตชั่น

5.1 อัตราการไหลของก๊าซ

5.2 ระยะเวลาในการทำปฏิกริยาคือ 5, 10, 15, 30 นาที

5.3 สารโคแอกูแลน์เอดคีอ พอลิเมอร์ พร้อมทั้งหาความเข้มข้นที่เหมาะสม คือ 5 ppm และ 10 ppm

5.4 ประเมินค่าใช้จ่ายในการนำบัดระวังอิเล็กโทรไฟลเตชันเทียบกับโคแอกูเลชัน

5.5 ประเมินความเป็นไปได้ในการสร้างใช้จริง

นิยามศัพท์เฉพาะ

อิเล็กโทรไฟลเตชัน หมายถึง การนำบัดน้ำเสียโดยการให้กระแสไฟฟ้ากับน้ำเสียเพื่อให้เกิดฟองก๊าซ ฟองก๊าซที่เกิดขึ้นจะไปเกาะติดกับสิ่งสกปรกในน้ำ พร้อมกับกวาดอนุภาคอื่นๆ ที่อยู่ด้านบน แล้วพาให้ลอยขึ้นสูญญาน้ำ

อินดิวาร์แอร์ไฟลเตชัน หมายถึง การนำบัดน้ำเสียโดยการใช้ปั๊มลมหรือแหล่งจ่ายก๊าซ จ่ายลมเข้าสู่หัวฟู เพื่อให้เกิดฟองก๊าซขนาดเล็ก ฟองก๊าซที่เกิดขึ้นจะไปเกาะติดกับสิ่งสกปรกในน้ำ แล้วพาให้ลอยขึ้นสูญญาน้ำ

โคแอกูเลชัน หมายถึง ขั้นตอนการทำลายเสื่อมสภาพของคลลลอยด์ โดยเมื่อกำแพงพลังงานในทฤษฎี DLVO ถูกกำจัด

พล็อกกูเลชัน หมายถึง ขั้นตอนการรวมตัวกันของคลลลอยด์

Petroleum Schmoo หมายถึง อนุภาคที่ประกอบไปด้วยของแข็งที่ถูกห่อหุ้มด้วยน้ำมัน

BDD หมายถึง ไบรอนโดป้ามอนด์ ใช้เป็นอิเล็กโทรดสำหรับเครื่องอิเล็กโทรไฟลเตชัน

SS หมายถึง สแตนเลนสตีล ใช้เป็นอิเล็กโทรดสำหรับเครื่องอิเล็กโทรไฟลเตชัน

FeS หมายถึง เหล็กชัลไฟด์ เกิดจากการทำปฏิกิริยาระหว่างเหล็กกับก๊าซไฮโดรเจนชัลไฟด์

H_2S หมายถึง ก๊าซไฮโดรเจนชัลไฟด์ เกิดจากการทำปฏิกิริยาของเคมสถาบีแบคทีเรีย โดยใช้สารตั้งต้นคือน้ำมันและชัลเฟต ในสภาวะไร้อากาศ

SRB แบคทีเรีย หมายถึง แบคทีเรียแอนโนโรบิก ที่สามารถมีชีวิตอยู่ได้ในแหล่งกักเก็บปิโตรเลียมและระบบการผลิตปิโตรเลียม ซึ่งจะใช้น้ำมันเป็นอาหารและหายใจโดยใช้ชัลเฟต โดยจะปล่อยก๊าซไฮโดรเจนชัลไฟด์ ซึ่งสามารถกัดกร่อนโลหะที่เป็นเหล็ก

BPD หมายถึง ปริมาณน้ำมันดิบเป็นバレลต่อวัน

ประโยชน์ที่คาดว่าจะได้รับ

ได้ของค์ความรู้สำหรับการออกแบบระบบสารสนเทศ เพื่อใช้ในการนำข้อมูลที่ได้มาสู่การประมวลผล

น้ำมันสีริกิติ์



บทที่ 2

เอกสารและงานวิจัยที่เกี่ยวข้อง

องค์ประกอบของ Produced Water

1. สารอินทรีย์ละลาย ได้แก่ สารอินทรีย์ชนิดมีชีวิต
2. สารอินทรีย์ที่กระจายตัวอยู่ในน้ำ เช่น น้ำมันและน้ำมันดิบ ซึ่งหมายความว่า เหล่านี้มักเกิดมาจากการเคลื่อนที่แบบบ้าป่า
3. สารอินทรีย์ที่ละลายในน้ำ ได้แก่ สารที่มีประจุบวก(แคทไอโอดอน) เช่น Na^+ , K^+ , Ca^{2+} , Mg^{2+} , Ba^{2+} , Sr^{2+} , Fe^{2+} และสารที่มีประจุลบ(แอนไโอดอน) เช่น Cl^- , SO_4^{2-} , CO_3^{2-} , HCO_3^-
4. โลหะหนัก ซึ่งมักเปรียบเป็นตัวตัดสินใจทางธรณีวิทยาของแต่ละแหล่งกักเก็บ
5. สารกัมมันตรังสี (NORM, Naturally occurring radioactive materials) ส่วนใหญ่จะเป็นธาตุเรเดียม ซึ่งอยู่ในหมู่ที่ 2 ของตารางธาตุ ซึ่งถือว่าเป็นธาตุที่มีมากที่สุดในโลก
6. สารเคมีที่ใช้ในการบวนการผลิตบีโตรเลียม เช่น สารป้องกันการผุกร่อน สารตัวกรองไนโตรเจนชัลไฟลด์
7. ของแข็ง เช่น ของแข็งที่อยู่ในแหล่งกักเก็บ ทราย แปร์ฟาร์ม
8. แก๊สที่ละลายในน้ำได้ เช่น คาร์บอนไดออกไซด์ ไนโตรเจนชัลไฟลด์

ตาราง 2 ค่าเฉลี่ยองค์ประกอบของ Produced Water

พารามิเตอร์	ปริมาณ	โลหะหนัก	ปริมาณ (mg/l)
ความถ่วงจำเพาะ (kg/m^3)	1014-1140	Calcium	13-25800
ความตึงผิว (dynes/cm)	43-78	Sodium	132-97000
TOC (mg/l)	0-1500	Potassium	24-4300
COD (mg/l)	1220	Magnesium	8-6000
TSS (mg/l)	1.2-1000	Iron	<0.1-100

ตาราง 2 (ต่อ)

พารามิเตอร์	ปริมาณ	โลหะหนัก	ปริมาณ (mg/l)
pH	4.3-1000	Aluminum	310-410
Total oil (IR:mg/l)	2-565	Boron	5-95
Volatile (BTX: mg/l)	0.39-35	Barium	1.3-650
Base Neutrals (mg/l)	<140	Cadmium	<0.005-0.2
Total non-volatile oil and grease by GLC (MS) base (µg/l)	275	Chromium	0.02-1.1
Chloride (mg/l)	80-200,000	Copper	<0.002-1.5
Bicarbonate (mg/l)	77-3990	Lithium	3-50
Sulfate (mg/l)	<2-1650	Manganese	<0.004-175
Ammonical nitrogen (mg/l)	10-300	Lead	0.002-8.8
Sulfite (mg/l)	10	Strontium	0.02-1000
Total polar (mg/l)	9.7-600	Titanium	<0.01-0.7
Higher acids (mg/l)	<1-63	Zinc	0.01-35
Phenols (mg/l)	0.009-23	Arsenic	<0.005-0.3
VFA (mg/l)	2-4900	Mercury	<0.001-0.002
		Silver	<0.001-0.15
		Beryllium	<0.001-0.004

ที่มา: P.J.C. Tibbetts, I.T. Buchanan, et al., 1992.

เส้นทางการกระจายตัวและผลกระทบที่มีต่อสิ่งแวดล้อมเมื่อ Produced water ถูกปล่อยสู่สิ่งแวดล้อม

น้ำที่ติดเชื้อน้ำกับปิโตรเลียมโดยปกติหลังการบำบัดแล้วสามารถทิ้งลงสู่แหล่งน้ำธรรมชาติ เช่น ทะเลได้ ทั้งนี้ค่าปริมาณสารเคมีที่เป็นพิษต้องเป็นไปตามมาตรฐานที่แต่ละประเทศกำหนด สารพิษที่สำคัญได้แก่

1. ความเดิม

น้ำที่มีเกลือละลายนอยู่จะเป็นปัจ្យาสำหรับเกษตรกรรม เนื่องจากความเดิมส่งผลต่อการเจริญเติบโตของพืช อย่างไรก็ตามหากแหล่งน้ำมีสารเคมีที่มีพิษต่อสิ่งมีชีวิต อย่างไรก็ตามยังพบสารอินทรีย์ที่ไม่เป็นพิษต่อสิ่งมีชีวิต ซึ่งสารเหล่านี้แบ่งที่เรียสามารถใช้เป็นอาหารได้ ปัจ្យาที่ตามมาก็คือค่าปีโซดีจะสูงขึ้น

2. น้ำมันที่กระจายตัวในน้ำ (Emulsion) และละลายอยู่ในน้ำ

ดังที่ได้กล่าวไปแล้วในตอนต้นแล้วปิโตรเลียมมีประกอบเป็นสารอินทรีย์ที่มีพิษต่อสิ่งมีชีวิต อย่างไรก็ตามยังพบสารอินทรีย์ที่ไม่เป็นพิษต่อสิ่งมีชีวิต ซึ่งสารเหล่านี้แบ่งที่เรียสามารถใช้เป็นอาหารได้ ปัจ្យาที่ตามมาก็คือค่าปีโซดีจะสูงขึ้น

3. สารเคมีที่ใช้ในการบำบัด

ในกระบวนการผลิตปิโตรเลียม มีสารเคมีเข้ามาเกี่ยวข้องหลายชนิด ได้แก่ ดีเมลซิไฟเออร์, ไฮโดรเจนซัลไฟด์ สาภานเจอร์, สารป้องกันการกัดกร่อน, สารป้องกันตะกรัน เป็นต้น สารเหล่านี้บางชนิดเป็นสารก่อมะเร็ง โดยเมื่อทิ้งน้ำที่ปนเปื้อนสารเหล่านี้ลงสู่ทะเล สารเหล่านี้จะตกตะกรอนไปเป็นตะกรอนใต้ทะเล

4. โลหะหนัก

โลหะหนักใน Produced Water จะมีค่ามากกว่าโลหะหนักในน้ำทะเลเสมอ ทั้งนี้การทิ้งโลหะหนักเหล่านี้ลงสู่ทะเล จะไม่เป็นอันตรายต่อสิ่งแวดล้อมในทะเลเนื่องจาก จะถูกเจือจากด้วยน้ำทะเลที่มีมากกว่าอย่างรวดเร็ว ในทางตรงกันข้ามหากปล่อยน้ำที่ลงสู่แหล่งน้ำจืด จะเป็นพิษต่อสิ่งแวดล้อมอย่างยิ่ง

5. สารกัมมันตรังสี

สารกัมมันตรังสีที่พบจะมีปริมาณมากหรือน้อยขึ้นอยู่กับสภาพทางธรณีวิทยาของแต่ละแหล่ง จากการศึกษาพบว่าปริมาณสารกัมมันตรังสีที่พบมีค่าความเสี่ยงต่อสิ่งมีชีวิตในทะเลที่ต่ำมาก

การจัดการ Produced water

การจัดการ Produced Water ที่ผลิตขึ้นมาได้นั้นมีหลายวิธี โดยวิธีที่ใช้อยู่ในปัจจุบันมีดังนี้

1. การขัดน้ำปนเปื้อนไปยังแหล่งน้ำที่ไม่ต้องการ หรือแหล่งน้ำที่มีค่าความเสี่ยงต่ำ
2. ปล่อยสู่สิ่งแวดล้อม เช่นทะเล ซึ่งคุณภาพของน้ำเสียที่สามารถปล่อยได้ขึ้นอยู่กับกฎหมายของแต่ละประเทศ
3. นำกลับมาใช้ในกระบวนการผลิต เช่น การนำมาใช้เป็นน้ำเติมหม้อไอน้ำ
4. ใช้ในการเพาะปลูก หรือเป็นน้ำดื่มสำหรับการปศุสัตว์

อย่างไรก็ตามน้ำที่จะนำไปใช้ประโยชน์ดังที่กล่าวข้างต้นต้องมีการบำบัด หรือควบคุมคุณภาพอย่างมีประสิทธิภาพ เพื่อให้มั่นใจในคุณภาพก่อนนำไปใช้งาน

จุดประสงค์ของการบำบัด Produced Water

1. กำจัดน้ำมันแขวนลอย (Emulsified)
2. กำจัดน้ำมันละลาย
3. ฟ้าเขียวโวค
4. กำจัดตะกอนแขวนลอย
5. กำจัดแก๊สละลาย
6. กำจัดเกลือ
7. ปรับความกระด้วย
8. กำจัดสารกัมมันตรังสี

วิธีการบำบัด Produced Water

วิธีการบำบัดแบ่งใหญ่ๆ ได้ 2 วิธี คือ

1. วิธีทางกายภาพ

ใช้เทคนิคการดูดซับโดยอาศัยตัวกลาง เช่น เอ็กติเวทเทา คาร์บอน, การกรองด้วยสารกรอง, การกรองด้วยเมมเบรน, การปล่อยให้ระเหย เป็นต้น

2. วิธีการบำบัดทางเคมี

ใช้ การตกตะกอนด้วยเทคนิคฟลักก์เจชั่น, การออกซิเดชั่น, กระบวนการอิเล็กโทรเคมีคอล, การบำบัดด้วยเทคนิคไฟโตแคตาไลติก, เฟนตัน, โอดิเซน เป็นต้น

ตาราง 3 เปรียบเทียบข้อดีข้อเสียของแต่ละวิธีในการบำบัด Produced Water

วิธีการบำบัด	คำอธิบาย	ข้อดี	ข้อเสีย	ของเสีย	การประยุกต์ใช้ในอุตสาหกรรมน้ำมันและก๊าซ
Corrugated plate separator	ใช้สำหรับแยกน้ำมันออกจากน้ำด้วยแรงโน้มถ่วง โดยอาศัยตัวกลาง	ไม่ต้องการพลังงานจากภายนอก	ประสิทธิภาพไม่ดีพอที่จะใช้	ตะกอน	ใช้สำหรับแยกน้ำมันจากน้ำ
		พัฒนาจาก Corrugated plate separator	ต้องใช้พลังงานจากภายนอก	ตากสะสม	น้ำมันจากภายนอก
		ถ่วง โดยอาศัยน้ำหนัก	กำจัดอนุภาคที่ละเอียดมากที่สุด	ตัวอยู่ที่ก้นของถัง	อิมลชั่น หรือน้ำที่มีน้ำมันมากๆ

ตาราง 3 (ต่อ)

วิธีการบำบัด	คำอธิบาย	ข้อดี	ข้อเสีย	ของเสีย	การประยุกต์ใช้ ในอุตสาหกรรม น้ำมันและก๊าซ
การสร้างฟล็อกด้วย corrugated plates	การทำอนุภาคแขวนลอยได้, ไม่มีอุปกรณ์เคลื่อนที่, ทนทาน	ต้องอาศัยเวลาในการแตกหักอย่างมาก	อุปกรณ์ที่นิยมนำมาใช้	ผ่านเครื่องมือน้ำคือน้ำ produced water จาก reservoir ชนิด water drive และเทคนิค water flood	น้ำมันโดยใช้เทคนิค water flood น้ำอาจมีปริมาณน้ำมันเกิน 1000 มิลลิกรัมต่อลิตร
centrifuge	ให้สำหรับแยกน้ำมันออกจากน้ำด้วย centrifuge ที่สร้างแรงโน้มถ่วงที่สูงขึ้นโดยการหมุน	มีประสิทธิภาพดีในการแยกน้ำมันที่มีขนาดเล็ก ให้แรงโน้มถ่วงที่สูง และให้กับน้ำมันริบามากๆ ได้	ใช้พลังงานในการหมุนแรง เนื่องจากแรงโน้มถ่วง แรง	ใช้พลังงานในการเพิ่มแรงตัว ไม่มีการแยกของแข็ง	ผลกระทบต่อตัวคน ลดลง
hydrocyclone	แยกน้ำมันด้วยแรงโน้มถ่วงที่เกิดจากการเพิ่มแรงตัว	อุปกรณ์ขนาดเล็ก ประสิทธิภาพสูง นำบัดได้อนุภาคขนาดเล็ก	ใช้พลังงานในการเพิ่มแรงตัว ไม่มีการแยกของแข็ง	ใช้พลังงานในการเพิ่มแรงตัว ของแข็ง อาจเกิดการชุดตัว ราคาก่อซื้อขาย	

ตาราง 3 (ต่อ)

วิธีการบำบัด	คำอธิบาย	ข้อดี	ข้อเสีย	ของเสีย	การประยุกต์ใช้ ในอุตสาหกรรม น้ำมันและก๊าซ
gas flotation	อนุภาคของน้ำมันยึดติดกับฟองก๊าซแล้วลอยขึ้นสู่ผิวน้ำ	ไม่มีอุปกรณ์เคลื่อนที่	ไม่เป็นภาระต่อเวลาในกระบวนการ	ให้ปริมาณก๊าซมาก	ตักออก
Extraction	กำจัดน้ำมันที่ละลายในน้ำด้วยตัวทำละลายอินทรีย์	ไม่ต้องการพลังงานจากภายนอก ให้งานง่าย	ใช้ตัวทำละลาย, ต้องการการสกัดแยก, นำน้ำมันที่ละลายในน้ำ	ใช้ตัวทำละลายมาก, ตัวทำละลายมาน้อย, ใช้ใหม่, เหลว	ใช้สำหรับแยกน้ำมันที่ละลายในน้ำปริมาณต่ำ (<1000 มิลลิกรัมต่อลิตร) ให้บำบัดน้ำเสียก่อนจะเข้าเมมเบรน
Ozone	ใช้ ozone เป็นสารออกซิเดช์ที่แรง ให้งานง่าย ให้ประสิทธิภาพดีในการบำบัดสารที่ละลายในน้ำ และกำจัดออกโดยการทำตะกอน	ใช้งานง่าย มีประสิทธิภาพใน การบำบัด เมืองตัน	ต้องมีอุปกรณ์ ปล่อย ozone ต้องมีกระบวนการแยกและตักตะกอน	ต้องมีอุปกรณ์ ปล่อย ozone ต้องมีกระบวนการแยกและตักตะกอน	ตะกอน

ตาราง 3 (ต่อ)

วิธีการบำบัด	คำอธิบาย	ข้อดี	ข้อเสีย	ของเสีย	การประยุกต์ใช้
					ในอุตสาหกรรม น้ำมันและก๊าซ
Adsorption	อาศัยพังผืดที่มีรากฐานที่มีพูนสูงใน การดูดซึบ	มีราคาถูก ประสิทธิภาพดี	ใช้เวลาในการ บำบัดนาน ความสามรถ ในการบำบัดจะลดลงเมื่ออัตรา การไหลเพิ่มขึ้น	ของเสีย นำบัดนาน ตัวกลาง ดูดซึบที่ใช้ แล้ว	
Lime softening	เติมปูนขาวเพื่อกำจัด สารบอเนต ใบ สารบอเนต ความกระด้าง	ราคาถูก ใช้ครั้งเดียว	ต้องการบำบัด มากกว่า ใช้สารเคมี	เกิดขยะ จากการ บำบัดเป็นต้น ชีงแทกต่างๆ ก้าวให้เมมเบรน เหนอะกับน้ำ เสียที่มี TDS ระห่ำง 1000 ถึง 10,000 มิลลิกรัมต่อ ลิตร	ใช้พลังงานน้อย ไม่ต้องการการ บำบัดเป็นต้น ชีงแทกต่างๆ ก้าวให้เมมเบรน เหนอะกับน้ำ เสียที่มี TDS ระห่ำง 1000 ถึง 10,000 มิลลิกรัมต่อ ลิตร
Ion-Exchange	ใช้กำจัดไอออน ต่างๆ ออกจากร่างกาย	ใช้พลังงานต่ำ มีประสิทธิภาพสูง	ต้องมี pre-post treatment เพื่อให้การ บำบัดดีขึ้น	นำสาร กลับมาใช้ ใหม่ได้	
Rapid spray evaporation	ฉีดน้ำด้วย ความเร็วสูง ให้ สัมผัสถกับ อากาศร้อน เพื่อให้น้ำระเหย	ได้น้ำที่สะอาด ระบบมี ประสิทธิภาพสูง	ใช้พลังงานสูง ต้องกำจัด ของแข็งที่ เกิดขึ้น	เกิดกาก ของแข็ง ที่อาจมีน้ำมัน ปนต้องทำการ บำบัดต่อ	หากของแข็งที่ ได้อาจมีน้ำมัน ปนต้องทำการ บำบัดต่อ

ตาราง 3 (ต่อ)

วิธีการบำบัด	คำอธิบาย	ข้อดี	ข้อเสีย	ของเสีย	การประยุกต์ใช้ ในอุตสาหกรรม น้ำมันและก๊าซ
Freeze-thaw evaporation	อาศัยหลักการทางธรรมชาติทำให้น้ำแข็งแล้วปล่อยให้ละลาย	ไม่ใช้พลังงาน เป็นกระบวนการทำให้น้ำแข็งที่สามารถดำเนินการได้ต่อเนื่อง	ประสิทธิภาพต่ำ ใช้เวลา處理นาน		
Microfiltration/ Ultrafiltration/ Reverse osmosis	ใช้การกรองด้วยไวนิลเปรนเพื่อกำจัดอนุภาคระดับไมโครอน	ได้น้ำสะอาดปริมาณมาก	ใช้พลังงานสูง เก็บขั้นที่ต่ำจาก การ back wash	ของเสีย เชื้อรา	ใช้บำบัดน้ำมัน ฯลฯ สารอินทรีย์ ลดลง เกลือดโดยสามารถเลือกชนิดของแมมนเปรนที่เหมาะสมได้
Activated sludge	อาศัยการย่อยสลายด้วยจุลชีพ	ราคาถูก เป็นเทคโนโลยีสะอาด ปริมาณออกซิเจน	ใช้พื้นที่มาก ต้องการปริมาณออกซิเจน	ตะกรอน จากการบำบัด	ใช้กำจัด TSS และไมเนีย ใบอนุโลหะหนัก

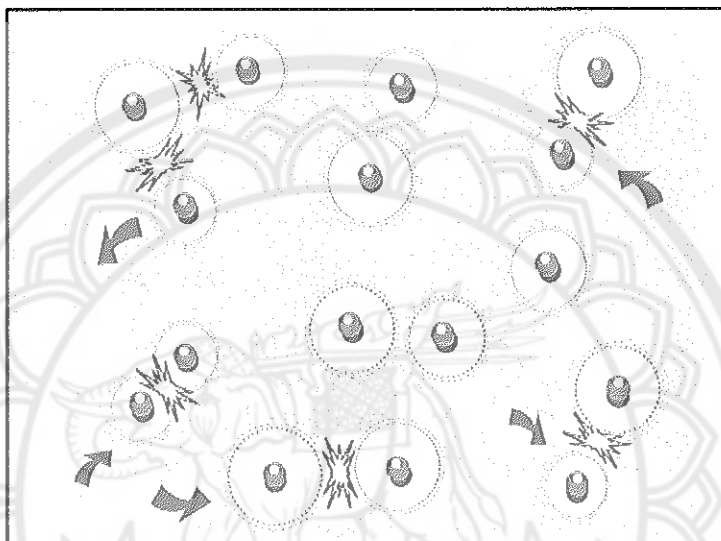
ที่มา: Fakhru'l-Razi Ahmadun, et al., 2009.

คอลลอยด์ในอุตสาหกรรมปิโตรเคมี

น้ำเสียในอุตสาหกรรมปิโตรเคมีมีอุปกรณ์หลากหลายชนิดอยู่ตั้งแต่ระดับไมโครอนซึ่งเป็นแผ่นสแกลขนาดใหญ่ น้ำเสียเหล่านี้จึงประกอบไปด้วยอนุภาคคolloid การทำน้ำเสียในอุตสาหกรรมนี้จึงมีความจำเป็นต้องการเติมสารโคเอก្យแลนท์เอด ซึ่งสามารถช่วยทำลายเสถียรภาพของคอลลอยด์ และเมื่อใช้ร่วมกับเทคนิคฟลเทชั่นจะสามารถช่วยในการบำบัดได้อย่างมีประสิทธิภาพ คุณสมบัติของคอลลอยด์และวิธีการบำบัดแสดงในหัวข้อดังไป

คอลลอยด์

อนุภาคที่มีขนาดระหว่าง 0.01 ถึง 100 ไมครอน การทดลองของอนุภาคเหล่านี้จะใช้เวลานานมาก เนื่องจากแต่ละอนุภาคมีประจุไฟฟ้าของตัวเอง (ในธรรมชาติมักเป็นประจุลบ) ประจุไฟฟ้าจะผลักกันไปมาระหว่างอนุภาคเป็นเหตุให้อนุภาคไม่เกิดการตกลงมา ในทางตรงกันข้ามหากประจุเหล่านี้ถูกกำจัดไปคอลลอยด์จะเกิดการรวมตัวและเกิดการตกลงมา



ภาพ 5 การชนกันไปมาของอนุภาคคอลลอยด์

ที่มา: Zeta-meter, Inc., 1993

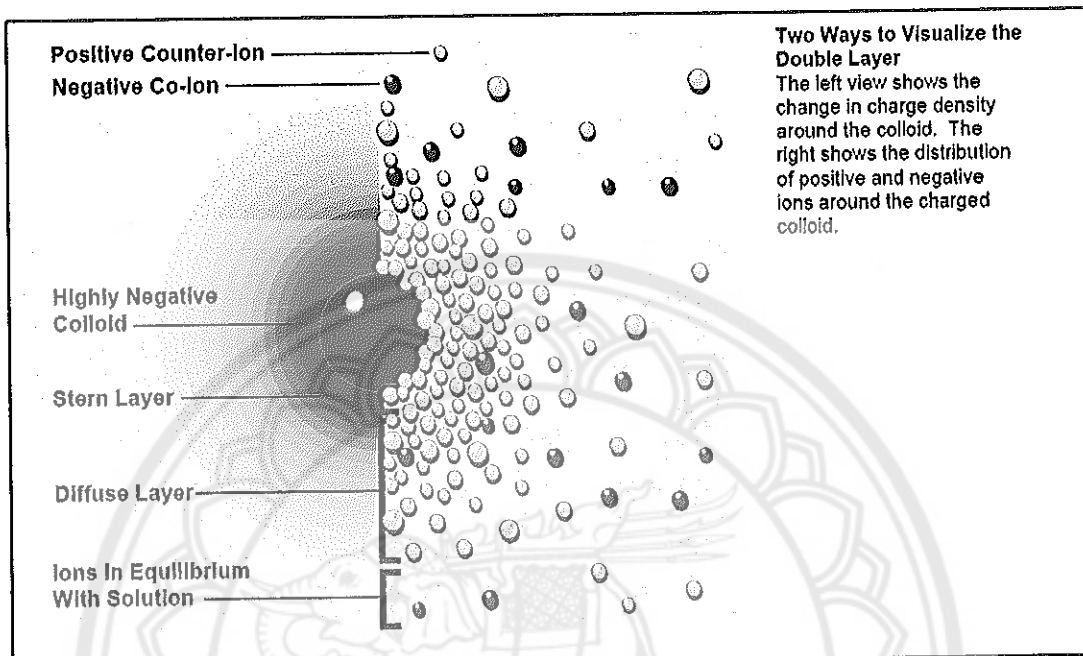
แรงผลักทางไฟฟ้าในระดับไมครอน (Microscopic Electrical Forces)

ทฤษฎี “ผนังสองชั้น” (The Double Layer)

1. Stern Layer อนุภาคคอลลอยด์ในธรรมชาติมักมีประจุลบ และมีขนาดใหญ่กว่าไมเล็กซ์ของอิออนในสารละลาย อนุภาคเหล่านี้จึงมีแรงดึงดูดอนุภาคประจุบวกที่มาก ประจุบวกในสารละลายจะถูกดูดติดแน่นด้วยแรงทางไฟฟ้าเกิดเป็นผนังชั้นแรก ที่เรียกว่า “Stern Layer” เมื่อสังเกตจากภาพจะพบว่า Stern Layer ต้องมีประจุตรงข้ามกับอนุภาคคอลลอยด์เสมอ เรียกประจุบวกที่ล้อมรอบ คอลลอยด์ว่า “counter-ions”

2. Diffuse Layer บริเวณที่ตัดจาก “Stern Layer” ออกมาก็คือบริเวณที่ไอออนยังได้รับแรงดึงดูดทางไฟฟ้าจากอนุภาคคอลลอยด์ แต่ไม่มากเท่า Stern Layer เป็นบริเวณที่จะเริ่มพบริโภคนลบ (Negative Co-Ion) บ้าง แต่ไม่มาก เกิดเป็นผนังชั้นที่สองที่เรียกว่า “Diffuse Layer”

บริเวณที่ห่างจาก Diffuse Layer จะเป็น บริเวณของสารละลายปกติ ที่ไม่ได้รับอิทธิพลของ คolloidal



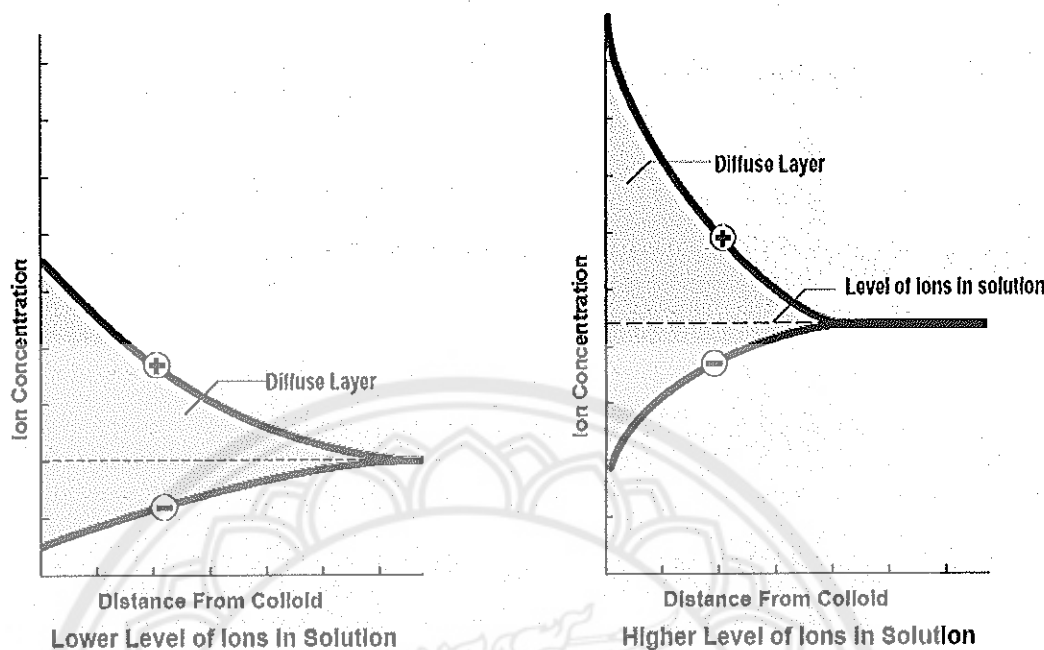
ภาพ 6 ลักษณะของผนังสองชั้นของคอลloid

ความหมายของ “ผนังสองชั้น”

ความหมายของผนังทั้งสองชั้นอยู่กัน ประจุบวก หรือ counter ion ที่ทำให้คอลloid เป็น กลางทางไฟฟ้า ปัจจัยที่มีผลต่อความหมายแบ่งได้เป็นสองประเภทคือ

1. ความเข้มข้นของไอโอนในสารละลาย ถ้ามีประจุบวกในสารละลายมาก จะทำให้ ความหมายของผนังบางลง ในทางตรงกันข้ามถ้ามีประจุบวกในสารละลายน้อย ก็จะทำให้ความหมาย ของผนังเพิ่มขึ้น

2. ชนิดของประจุบวก โดยประจุบวกที่มีเวลเนซ์มากจะมีผลต่อความหมายมากกว่า ประจุ บวกที่มีเวลเนซ์น้อย ตัวอย่างเช่น อัลูมิเนียมไออกอน (Al^{3+}) จะมีผลในการลดความหมายมากกว่า โซเดียมไออกอน (Na^+) ผนังที่บางลงเนื่องจากมีประจุบวกมาก เป็นการทำลายเสียรากของ คอลloid อย่างหนึ่งที่เรียกว่า “การอัดผนังสองชั้น”(Double layer compression)

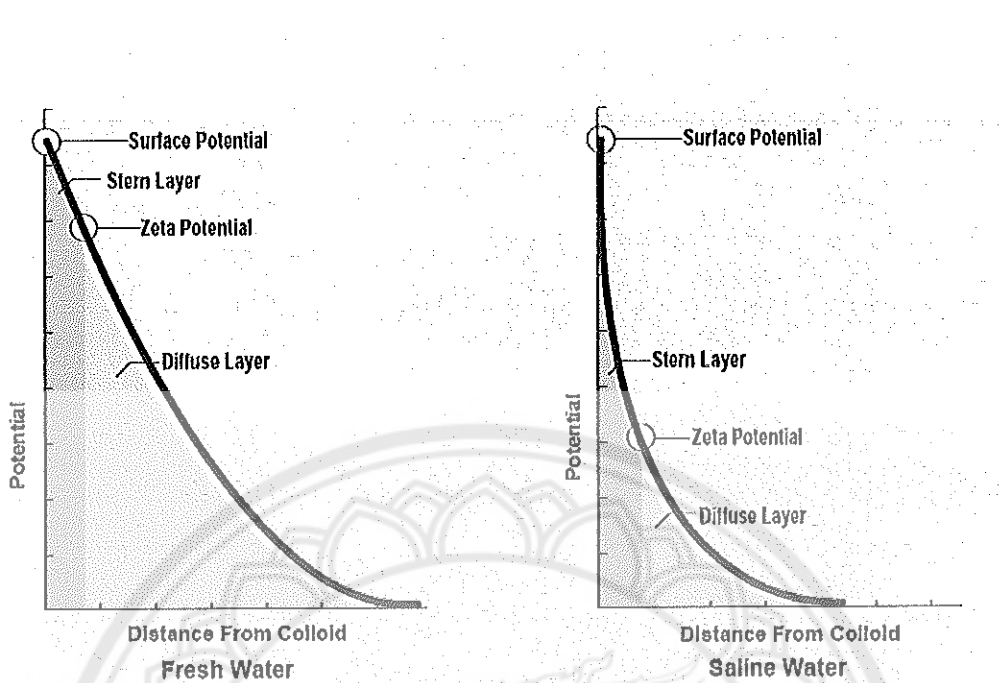


Variation of Ion Density In the Diffuse Layer
Increasing the level of ions in solution reduces the thickness of the diffuse layer. The shaded area represents the net charge density.

ภาพ 7 ความหนาของผนัง colloidal ตามปริมาณไอออนในสารละลายน้ำ

ศักย์ซีต้า (Zeta Potential)

ค่าศักย์ซีต้า หมายถึง ค่าศักย์ไฟฟ้าบริเวณรอยต่อระหว่าง Stern Layer และ Diffuse Layer ค่าศักย์ซีต้าสามารถวัดได้ด้วยเครื่องมือพิเศษ และเนื่องจากไม่สามารถวัดค่า surface potential ได้โดยตรง จึงใช้ค่าศักย์ซีต้าเป็นตัวแทน แสดงการเปลี่ยนแปลงแรงผลักระหว่าง colloidal



ภาพ 8 เปรียบเทียบค่าศักย์ Zeta ระหว่างน้ำจืดและน้ำทะเล

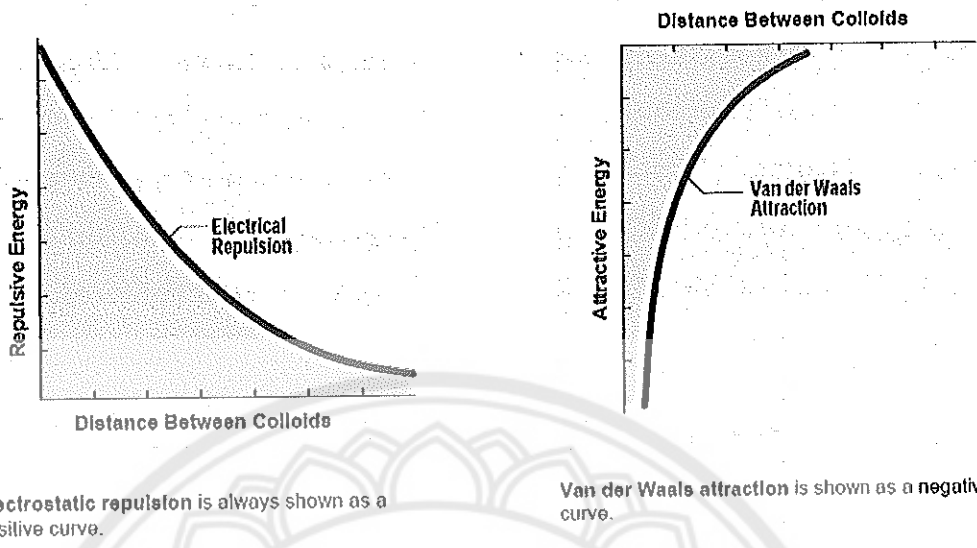
จากภาพด้านบนเมื่อคolloidal ชนิดเดียวกันแต่อยู่ในความเข้มข้นไอโอดินที่ต่างกันจะพบว่าน้ำจืด (ซ้าย) มีค่าศักย์ซึ้งสูงกว่าน้ำทะเล (ขวา) ทั้งนี้เนื่องจากการเกิด double layer compression

สมดุลแรงกระทำระหว่างคolloidal ชนิดเดียวกัน

ทฤษฎี DLVO (ชื่อของ Derjaguin, Landau, Ververy และ Overbeek) ใช้สำหรับอธิบายว่าอนุภาคคolloidal กระทำการกระทำซึ่งกันและกันอย่างไร โดยมีแรงที่เกี่ยวข้อง 2 แรงคือ แรงทางไฟฟ้าสถิตย์ และแรงวันเดอร์วัล

1. แรงผลักทางไฟฟ้าสถิตย์

เมื่อคolloidal สองอนุภาคเคลื่อนที่เข้ามาใกล้กันคolloidal ที่มีประจุนิดเดียวกันจะมีแรงทางไฟฟ้าสถิตย์ผลักให้อนุภาคทั้งสองออกห่างกัน ภาพ 9 แสดงจำนวนแรงที่ใช้ในการ均衡 แรงทางไฟฟ้าสถิตย์ โดยจุดสูงสุดของกราฟคือ ค่าศักย์ที่ผิวนอกอนุภาค



ภาพ 9 ค่าการผลักกันทางไฟฟ้า(ซ้าย) และค่าแรงวัลเดอร์วาล (ขวา)

ที่มา: Zeta-meter, Inc., 1993.

2. แรงวัลเดอร์วาล หรือแรงดึงดูดระหว่างโมเลกุล

เมื่อมोเลกุลของคอลloidสองโมเลกุลเคลื่อนที่เข้าหากันจะเกิดแรงดึงดูดระหว่างโมเลกุลขึ้นที่เรียกว่าแรงวัลเดอร์วาล แรงดึงดูดนี้จะเพิ่มมากขึ้นเมื่อมोเลกุลเข้าใกล้กันโดยคอลลอยด์ที่สามารถรวมตัวกันเป็นก้อน แรงวัลเดอร์วาลจะเท่ากับผลรวมของแรงทั้งหมด

กำแพงพลังงาน (Energy Barrier)

ทฤษฎี DLVO ได้รวมแรงวัลเดอร์วาลและแรงผลักทางไฟฟ้าสถิตย์เข้าด้วยกันเพื่อให้อธิบายว่าคอลลอยด์นั้นจะตกละกอนหรือไม่ เมื่อรวมกราฟแรงวัลเดอร์วาลกับแรงดึงดูดทางไฟฟ้าสถิตย์เข้าหากัน จะได้กราฟแรงกระทำระหว่างโมเลกุลขึ้นมาเช่นนี้เป็นสมการได้ดังนี้

$$W(D) = W(D)_A + W(D)_R$$

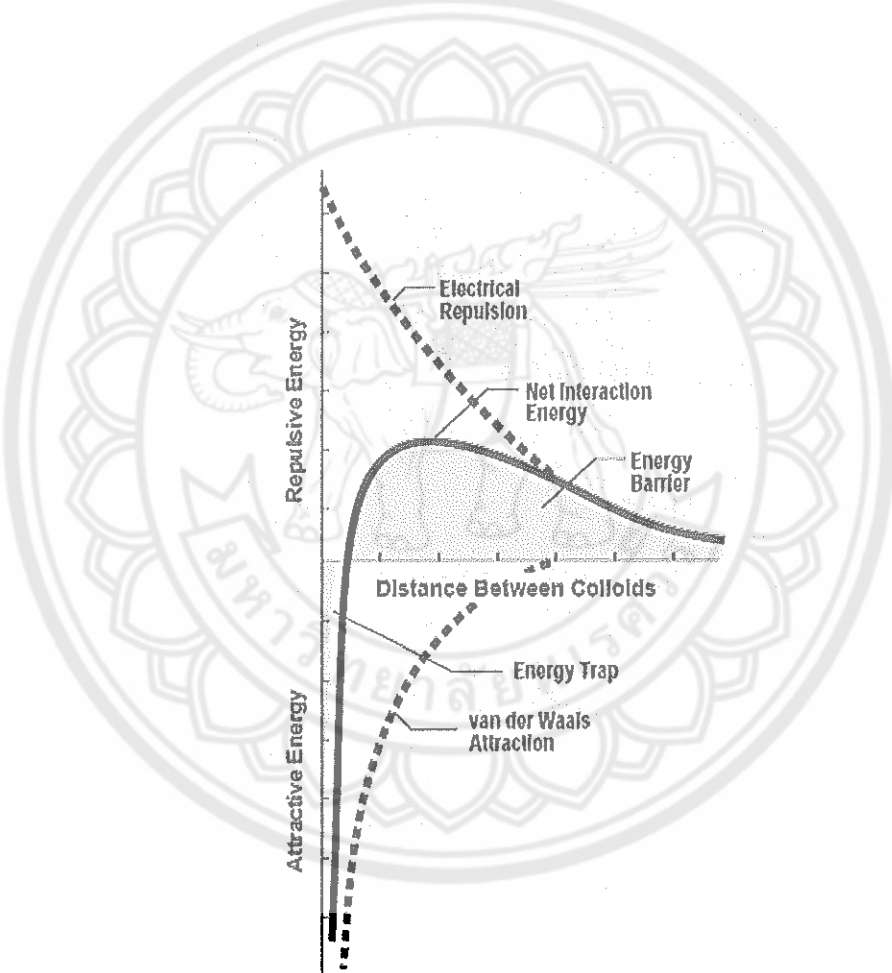
เมื่อกำหนดให้

$W(D)_A$ คือ แรงดึงดูดระหว่างโมเลกุลทั้งแรงวัลเดอร์วาล

$W(D)_R$ คือ แรงผลักทางไฟฟ้าสถิต

W(D) คือ พลังงานรวม

จากภาพ 10 แสดงกราฟแรงกระทำระหว่างโมเลกุลตามระยะทางระหว่างคอลloid ที่แสดงเส้นทึบที่ยกตัวสูงขึ้นเหนือแกน X และความสามารถในการผลักกันระหว่างโมเลกุลของคอลloid ที่ได้จากการบวิเวณด้านบนแกน x คือ "กำแพงพลังงาน" ไม่เลกุลของคอลloid ที่มีพลังงานมากพอจะสามารถข้ามกำแพงพลังงานและตกรตะกอนได้ บวิเวณได้กราฟที่อยู่ใต้แกน X แสดงบวิเวณของ "กับดักพลังงาน (Energy Trap)" เมื่อโมเลกุลเข้ามาอยู่ในบวิเวณนี้จะถูกดึงดูดให้ติดกันด้วยแรงวัลเดอร์วาล



Interaction

The net interaction curve is formed by subtracting the attraction curve from the repulsion curve.

ภาพ 10 ผลกระทบระหว่างแรงทางไฟฟ้าสถิตย์และแรงวัลเดอร์วาล

การลดขนาดกำแพงพลังงาน (Lowering the Energy Barrier)

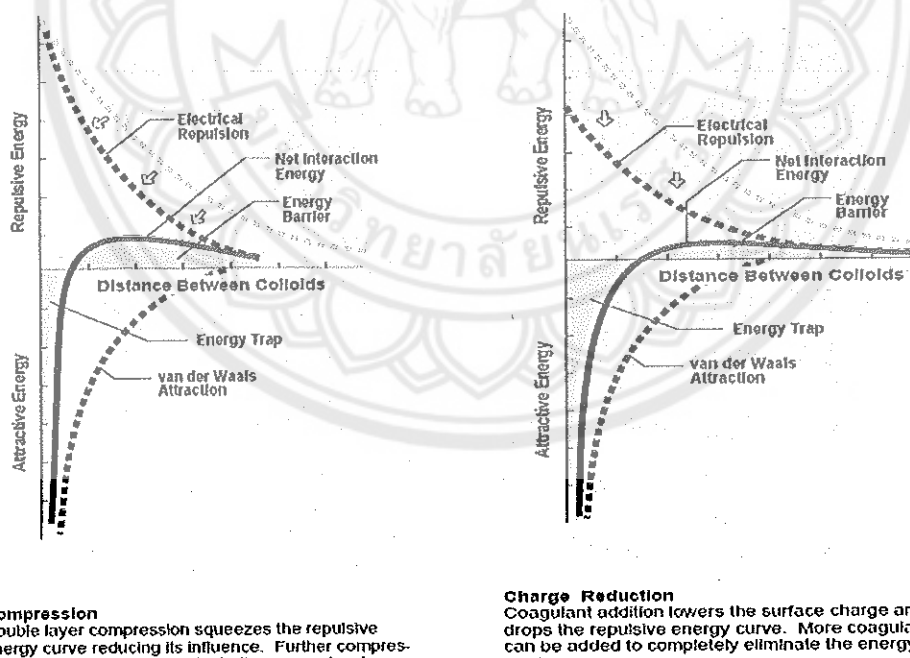
วิธีการตัดกอนคอลลอยด์อย่างมีประสิทธิภาพสูงสุดคือการลดหรือกำจัดกำแพงพลังงานออกไป มี 2 วิธีคือ

1. การลดขนาดของชั้นกระจาย

วิธีการลดขนาดของชั้นกระจายหรือ "Salting Out" เกี่ยวข้องกับการเติมเกลือลงในสารละลาย เมื่อความเข้มข้นของสารอ่อนนิ่นเพิ่มขึ้นชั้นกระจายจะถูกกดให้เล็กลง จนเมื่อถึงระดับที่กำแพงพลังงานหายไป คอลลอยด์จะตกละกอนอย่างรวดเร็วด้วยแรงวัลเดอร์วาล อย่างไรก็ตาม วิธีการนี้ไม่เป็นที่นิยมในกระบวนการรับน้ำเสีย

2. การลดประจุที่ผิวคอลลอยด์

การลดประจุที่ผิวคอลลอยด์สามารถทำได้โดยเติมสารที่เรียกว่า "โคเอกกูแลนท์" เมื่อประจุที่ผิวคอลลอยด์ลดลงจะทำให้ ค่าศักย์ตัวตัวลดลง ซึ่งเราสามารถใช้ค่าศักย์ตัวในการติดตามการลดประจุที่ผิวคอลloyd ค่าศักย์ตัวไม่จำเป็นต้องมีค่าเป็นศูนย์ แต่ต้องมีค่าน้อยที่สุด เพื่อผล "กำแพงพลังงาน" ลง



ภาพ 11 การลดขนาดของชั้นกระจาย(ซ้าย) และ การลดประจุที่ผิวคอลลอยด์ (ขวา)

กระบวนการโคเออกูเลชัน-ฟลัตคูลเลชัน

เมื่อประจุไฟฟ้าที่อยู่ในสภาพสมดุลถูกทำลายเสียรากด้วยกลไกต่างๆ ที่จะพูดถึงต่อไป อนุภาคทั้งหลายสามารถรวมตัวกันได้ แล้วหากตะกอน เรียกชื่นตอนที่ทำให้เกิดการรวมตัวกันนี้ว่า "โคเออกูเลชัน-ฟลัตคูลเลชัน" เรียกสารเคมีที่ทำให้เกิดการรวมตัวกันนี้ว่า "โคเออกูเลนท์ เอด"



ภาพ 12 คอลล้อยด์ที่ถูกทำลายเสียรากและรวมตัวกัน

การทำลายเสียรากคอลล้อยด์

การทำลายเสียรากคอลล้อยด์ แบ่งออกได้เป็น 4 ประเภทคือ

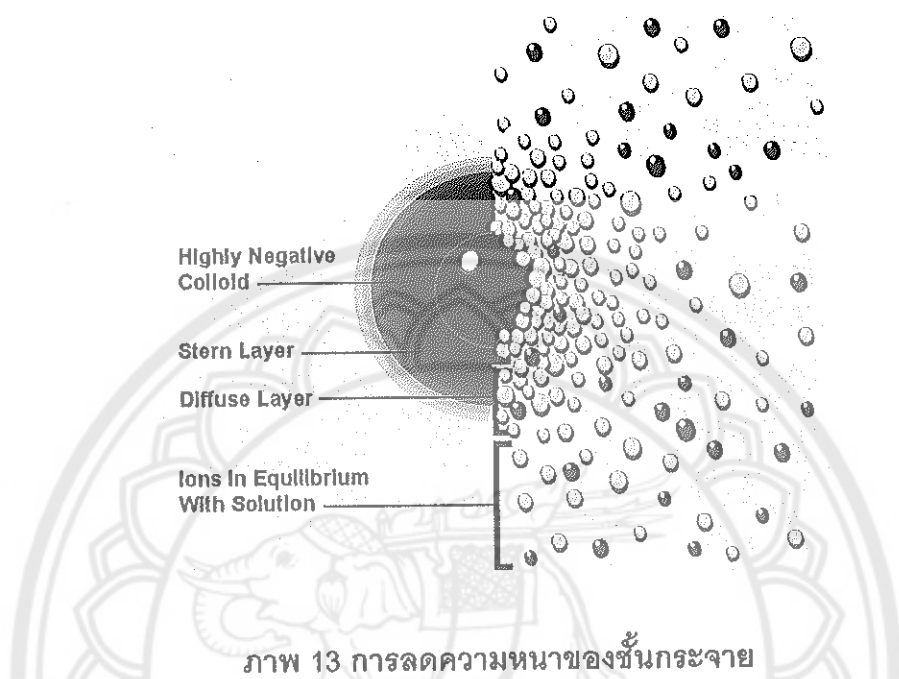
1. การลดความหนาของชั้นกรวย (Double Layer compression) หมายถึงการเพิ่มปริมาณอิเล็กโทรไลต์ เช่น เกลือโซเดียมคลอไรด์ เพื่อให้เกิดการลดลงของประจุชั้นนอกสุด วิธีการนี้มักถูกเรียกว่า "salting out"

2. การคูดติดและการทำลายประจุไฟฟ้าของอนุภาค (Charge Neutralization) หมายถึงการเติมสารโคเออกูเลนท์อนิโนนทรีฟิล์เซ่น สารส้ม และ Cationic polymers เพื่อให้เกิดการทำลายกำแพงพลังงาน DLVO

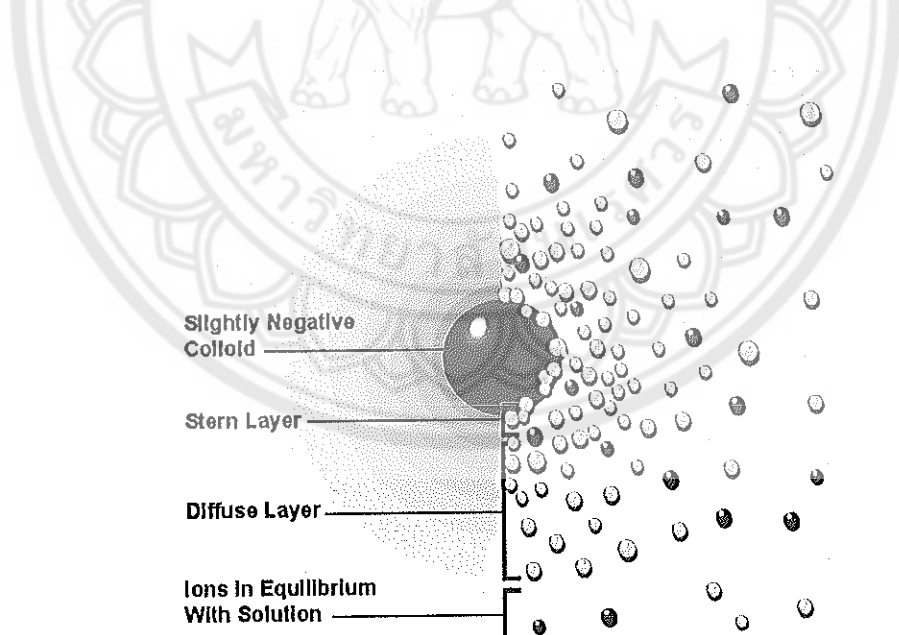
3. การใช้สารอินทรีโพลิเมอร์เป็นสะพานเชื่อมอนุภาคคอลล้อยด์ (bridging) หมายถึงการใช้โพลิเมอร์ที่เป็นไฟเบอร์ไปยึดเกาะจับอนุภาคคอลล้อยด์

4. การจับอนุภาคคอลล้อยด์ไว้ในสารประกอบที่สร้างขึ้น (Colloid entrapment) หมายถึงการใช้ coagulant ปริมาณมาก ปกติมักใช้สารส้มหรือเกลือของเหลว ซึ่งจะตกลงและ

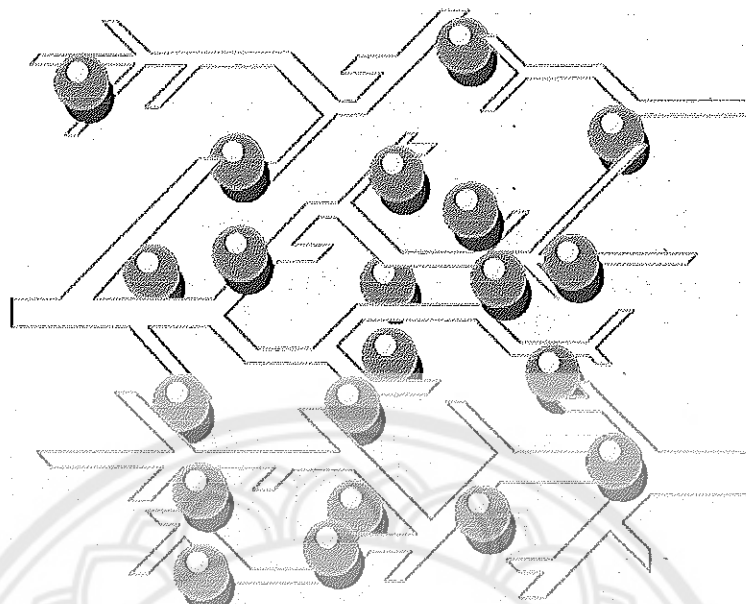
กวาดอนุภาคคolloidal ให้ตกลงกันไปด้วย วิธีการนี้มักถูกเรียกว่า “sweep floc”



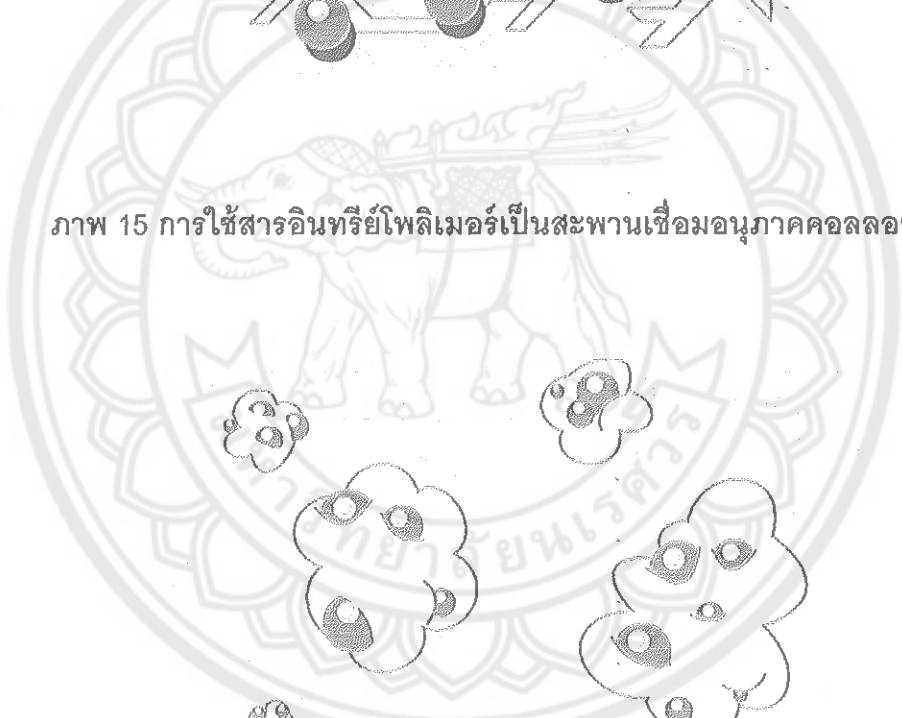
ภาพ 13 การลดความหนาของชั้นกราะเจ้าย



ภาพ 14 การดูดติดและทำลายประจุ



ภาพ 15 การใช้สารอินทรีย์โพลิเมอร์เป็นสะพานเชื่อมอนุภาคคอลลอยด์



ภาพ 16 การจับอนุภาคคอลลอยด์ไว้ในสารประกอบที่สร้างขึ้น

ทฤษฎีที่เกี่ยวข้องกับไฟฟ้าเคมีในการบำบัดน้ำเสีย

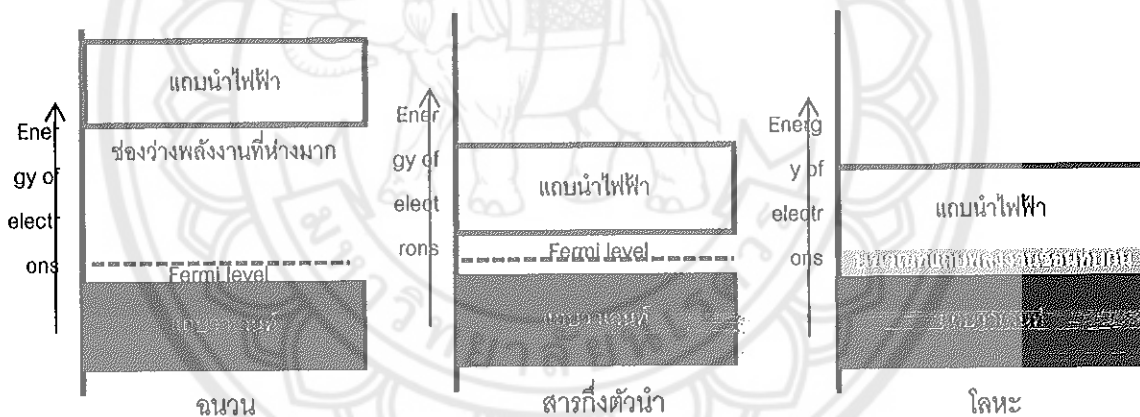
1. ทฤษฎีแคน (Carl R. Nave, 2012)

วิธีการนี้ในการอธิบายความแตกต่างของสารทั้งสามชนิดคือ 1) ฉนวน 2) สารกึ่งตัวนำ 3) โลหะ คือการอธิบายด้วยทฤษฎีแคน โดยทฤษฎีแคนอาศัยการอธิบายความแตกต่างของสารทั้งสามชนิดด้วยระดับพลังงานของอิเล็กตรอนที่อยู่ในสารชนิดนั้นๆ แบบต่างๆ ในทฤษฎีแคนมีดังนี้

1.1 แบบ瓦เลนท์ หมายถึงระดับพลังงานปักติกของอิเล็กตรอนในอะตอม

1.2 แบบนำไฟฟ้า หมายถึงระดับพลังงานที่อิเล็กตรอนจะทำให้เกิดการนำไฟฟ้า หรืออาจอธิบายได้ว่าหากอิเล็กตรอนที่อยู่ในแบบ瓦เลนท์ เมื่อได้รับพลังงานจากภายนอกในปริมาณที่มากพอนั้นไปปั๊บแบบนำไฟฟ้าได้ สารนั้นจะแสดงคุณสมบัตินำไฟฟ้าออกมานะ

1.3 ระดับเฟอร์มี หมายถึง ระดับพลังงานสูงสุดที่สามารถพบอิเล็กตรอนได้ โดยข้างซึ่งที่อยู่ในชั้นบุรณา 0 องศาเคลวิน



ภาพ 17 กราฟแสดงสถานะความหนาแน่นของโลหะ ฉนวน และสารกึ่งตัวนำ

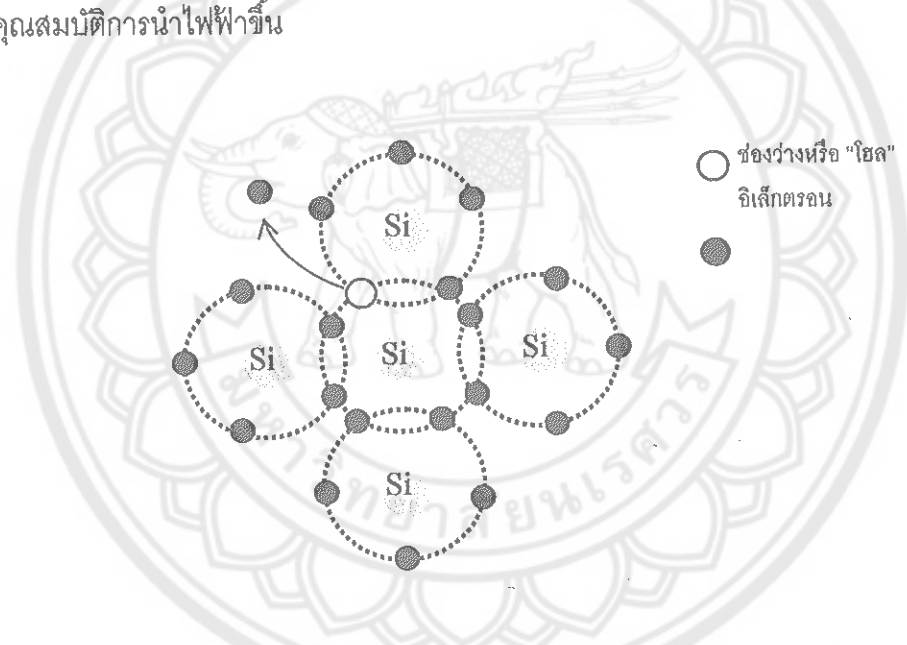
จากภาพ 17 อธิบายได้ดังนี้

1. ฉนวน เป็นสารที่ไม่นำไฟฟ้านៅจากแบบ瓦เลนท์และแบบนำไฟฟามีระยะห่างกันมาก อิเล็กตรอนไม่สามารถรับพลังงานจากภายนอกแล้วกระโดดขึ้นไปปั๊บแบบนำไฟฟ้าได้
2. สารกึ่งตัวนำ เป็นสารที่สามารถนำไฟฟ้าได้ก็ต่อเมื่ออิเล็กตรอนรับพลังงานจากภายนอกเข้ามาแล้วกระโดดเข้าไปปั๊บแบบนำไฟฟ้า ทั้งนี้สารกึ่งตัวนำจะนำไฟฟ้าได้ช้าเมื่อคุณภาพสูงขึ้น

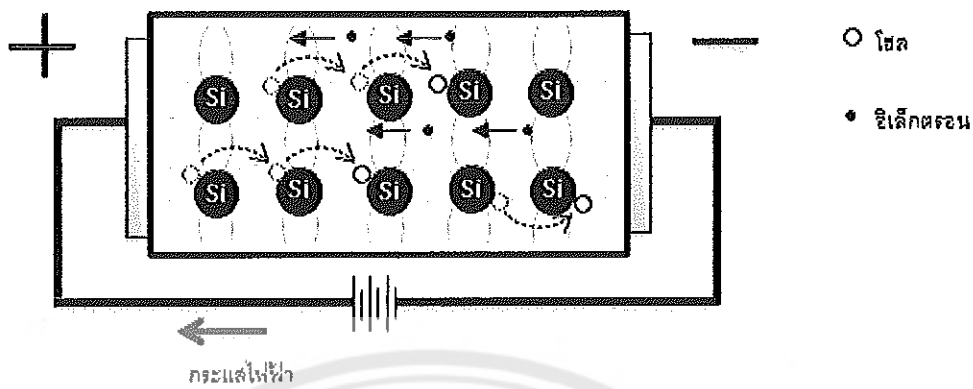
3. โลหะ เป็นสารที่สามารถนำไฟฟ้าได้ทุกอุณหภูมิเนื่องจากมีแบบเกลเณด์ซ้อนทับกับแบบนำไฟฟ้าอย่างไรก็ตามเมื่อเพิ่มอุณหภูมิให้ขึ้นพบว่าโลหะมีคุณสมบัตินำไฟฟ้าได้น้อยลง คุณสมบัตินี้เป็นคุณสมบัติตรงข้ามกับสารกึ่งตัวนำ

2. สารกึ่งตัวนำ (Carl R. Nave, 2012)

สารกึ่งตัวนำคือสารที่สามารถแสดงคุณสมบัติได้ทั้งนำไฟฟ้าและไม่นำไฟฟ้า สิ่งที่ทำให้สารกึ่งตัวนำมีคุณสมบัติเปลี่ยนแปลงไปขึ้นอยู่กับการให้หรือลดพลังงาน เช่น เมื่อนำสารกึ่งตัวนำไปไว้ที่อุณหภูมิสัมบูรณ์ 0 องศาเคลวิน สารกึ่งตัวนำจะไม่นำไฟฟ้า แต่เมื่อมีการให้พลังงานโดยการเพิ่มอุณหภูมิ สารกึ่งตัวนำจะแสดงคุณสมบัติการนำไฟฟ้าขึ้นมา สาเหตุที่เป็นเช่นนี้เนื่องมาจากอิเล็กตรอนที่สร้างพันธะภายในสารกึ่งตัวนำสามารถหลุดออกจากผังลักษ์ได้ เกิดเป็นช่องว่างที่เรียกว่า "ไฮล์" โดยไฮล์แต่ละไฮล์จะอนุญาตให้อิเล็กตรอนเข้ามายังเคียงในไฮล์เข้ามาได้ สงผลให้เกิดคุณสมบัติการนำไฟฟ้าขึ้น



ภาพ 18 การเกิดไฮล์ในผังลักษ์ของซิลิกอน



3. เซมิคอนดักเตอร์ชนิดดื้อปှံ (The Doping of Semiconductors) (Carl R. Nave, 2012)

โดยปกติแล้วผลลัพธ์ของสารกึ่งตัวนำไฟฟ้าสามารถทำให้มีคุณสมบัตินำไฟฟ้าเพิ่มขึ้นได้ โดยการเติมสารบางชนิดลงไป เรียกว่า การดื้อปှံ (Doping) โดยสามารถแบ่งเซมิคอนดักเตอร์แบบดื้อปှံออกเป็น 2 ชนิดคือ 1. N-Type และ 2. P-Type

เซมิคอนดักเตอร์ชนิด N-Type

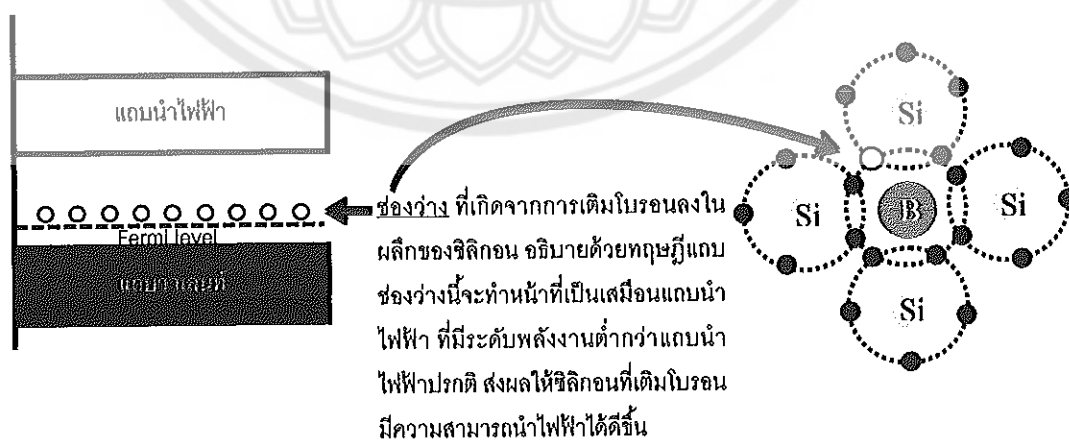
เมื่อเติมสารบางชนิดที่มีเวลน์วิโอลีกตรอน 5 อิเล็กตรอน เช่น แອนติโน่ หรือ อาเซนิก หรือ ฟอสฟอรัส ลงในสารเซมิคอนดักเตอร์ สารเหล่านี้จะไปเพิ่มความสามารถในการนำไฟฟ้าได้ เนื่องจากไปเพิ่มอิเล็กตรอนในโครงสร้างผลึก ทำให้ในโครงสร้างผลึกมีอิเล็กตรอนเกินอยู่ 1 ตัว เรียกว่า ที่มีคุณสมบัติเช่นนี้ว่า เซมิคอนดักเตอร์ ชนิด N-Type ภาพ 20 แสดงผลของการเติม แອนติโน่ลงในผลึกของซิลิกอน โดยแອนติโน่ไปทำให้เกิดความไม่สมบูรณ์ของผลึกขึ้นแต่ เนื่องจากผลึกนี้ต้องการพยากรณ์รักษาจำนวนอิเล็กตรอนให้อยู่ในสภาวะสมดุลคือประจุบวก เห้ากับลบ ดังนั้นผลึกจึงยอมมีอิเล็กตรอนอิสระที่ไม่สร้างพันธะกับซิลิกอนเกินมาหนึ่งตัว โดย อิเล็กตรอนที่เกินมาหนึ่งตัวจะส่งผลให้เกิดการนำกระแสไฟฟ้าได้ดีขึ้น



ภาพ 20 ภาพจำลองการเติมแอนติโนนี ลงในผลึกซิลิกอน และอธิบาย
ด้วยทฤษฎีแบบ

เซมิคอนดัคเตอร์ชนิด P-Type

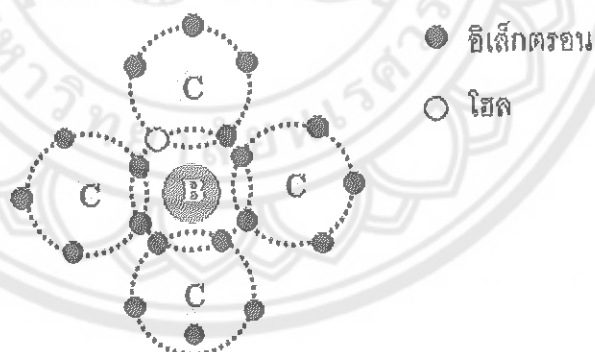
เมื่อเติมสารบางชนิดที่มีเวลน์ทอิเล็กตรอน 3 อิเล็กตรอน เช่น ไบรอน หรือ อลูมิเนียม หรือ แกลเลียม ลงในสารเซมิคอนดัคเตอร์ สารเหล่านี้มีเวลน์ทอิเล็กตรอนเพียงสามตัวเมื่อสร้าง พันธะกับอะตอมซิลิกอนจะทำให้เวลน์ทอิเล็กตรอนที่ใช้สร้างพันธะหายไปหนึ่งตัวเกิดเป็นคอร์บิโอล ว่างชีว์ ส่งผลให้อิเล็กตรอนที่อยู่ข้างเคียงสามารถเคลื่อนที่เข้าไปในช่องว่างนี้ได้ เป็นเหตุให้มีอิเล็กนำไฟฟ้าได้ดีขึ้น เมื่อช่องว่างนี้มีมากขึ้น เซมิคอนดัคเตอร์จะมีพุทธิกรรมใกล้เคียงโลหะมากขึ้น ภาพ 21 แสดงผลของการเติมไบรอนลงในผลึกซิลิกอน



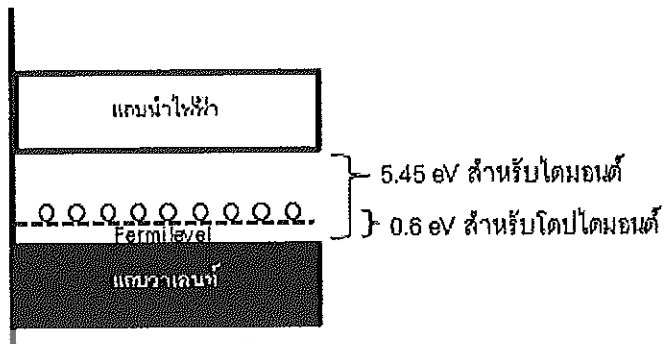
ภาพ 21 ภาพจำลองการเติมไบรอน ลงในผลึกซิลิกอน และอธิบายด้วยทฤษฎีแบบ

4. บอรอนโดปไ/doемонด์

โดยปกติแล้วเพชรซึ่งเป็นสารประกอบโครงสร้างที่จะไม่นำไฟฟ้าหรือเรียกว่ามีคุณสมบัติเป็น绝缘นว เป็นวัสดุค่าแบบพลังงานหับว่ามีค่าประมาณ 5.45 eV อย่างไรก็ตามมีวิธีการนึงที่จะทำให้เพชรสามารถมีคุณสมบัติเป็นสารกึ่งตัวนำได้ เรียกวิธีการนี้ว่า “การดอปปิ้ง” (dopping) หรือ การเติมอะตอมที่มีเวลน์หรือเล็กตรอน 3 อิเล็กตรอนลงไปในโครงสร้างของเพชร เช่น การเติมบอรอนลงในผลึกของเพชร ทำได้โดยเติม ก๊าซไดบอเรน หรือ ไตรเมทิล บอเรน ในขั้นตอนการสร้างพิล์มเพชร เนื่องจากบอรอนไม่สามารถเกิดพันธะ 4 พันธะได้เหมือนคาร์บอน แต่จะเกิดพันธะได้มากสุดเพียง 3 พันธะเท่านั้น ศูนย์ห่างจะได้โครงสร้างผลึกที่มีช่องว่างประจุบวกเกิดขึ้น เรียกว่า “positive hole” หรือช่องว่างประจุบวก โดยช่องว่างนี้ที่อุณหภูมิสัมบูรณ์ หรืออุณหภูมิต่ำมากๆ จะไม่เกิดการเคลื่อนที่ของอิเล็กตรอนเข้ามาในช่องว่างประจุบวกนี้ แต่หากอุณหภูมิปกติหรือมีการระทุนโดยต่อเข้ากับวงจรไฟฟ้า เวลน์หรือเล็กตรอนของอะตอมคาร์บอนที่อยู่ใกล้เคียง ที่มีพลังงานมากพอจะเคลื่อนที่เข้ามาที่ช่องว่างนี้ นั่นคือจะเกิดการเคลื่อนที่ของช่องว่างประจุบวกไปทั่วทั้งผลึก ทำให้เกิดการนำไฟฟ้าขึ้น เรียกสารกึ่งตัวนำที่เกิดขึ้นนี้ว่า “บอรอนโดปไ/doเมอนด์” (Boron doped diamond, BDD) บอรอนโดปไ/doเมอนด์เป็นสารกึ่งตัวนำชนิด P-Type โดยสามารถเขียนแบบจำลองโครงสร้างผลึกแก้ทิสได้ดังนี้



ภาพ 22 แบบจำลองโครงสร้างผลึกของบอรอนโดปไ/doเมอนด์



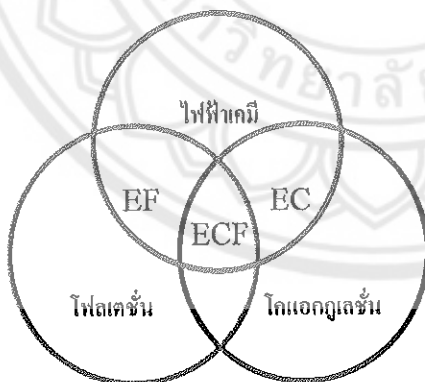
ภาพ 23 การเปรียบเทียบແນبنพลังงานระหว่างไนโตรเจน และโดยปไดมอนด์

ที่มา: Alexander K., 2007

การนำบัดสารปนเปื้อนด้วยกระแสไฟฟ้า

การนำบัดสารปนเปื้อนในน้ำด้วยกระแสไฟฟ้าสามารถแบ่งออกได้เป็น 3 วิธีหลักคือ

1. อิเล็กโทรโฟลเตชั่น (Electroflootation, EF)
2. อิเล็กtroโคแอกกูเลชั่น (Electrocoagulation, EC)
3. อิเล็กtroออกซิเดชั่น (Electrooxidation)



- EC: อิเล็กtroโคแอกกูเลชั่น
- EF: อิเล็กtroไฟลเตชั่น
- ECF: อิเล็กtroโคแอกกูเลชั่นไฟลเตชั่น

ภาพ 24 ความสัมพันธ์ของการนำบัดน้ำเสียด้วยไฟฟ้า

ที่มา: Mohammad M.E. and Muttucumaru S., 2009

1. อิเล็กโทรไฟลเตชั่น

อิเล็กโทรไฟลเตชั่น หมายถึง กระบวนการทางไฟฟ้าเคมีที่อาศัยการสร้างฟองก๊าซ ด้วยกระแสไฟฟ้า โดยฟองก๊าซที่เกิดขึ้นจะทำหน้าที่พยุงสารปนเปื้อนที่ละลายอยู่ในน้ำให้ลอยขึ้นสูง ผิวน้ำ ซึ่งระหว่างฟองก๊าซและสิ่งปนเปื้อน ต้องอาศัยแรงทางฟิสิกส์คือ การดูดติดผิวและการดูดซับ (adhesion/adsorption) ปฏิกิริยาเคมีที่เกิดขึ้นเป็นดังนี้

ที่ออกโนด



ที่คาโตก



ปฏิกิริยารวม



จากสมการข้างต้นพบว่าที่ข้ออาโนดจะเกิดก๊าซออกซิเจนขึ้น ส่วนที่ข้อคาโตกจะเกิดก๊าซไฮโดรเจน อัตราการเกิดปฏิกิริยาข้างตันสามารถคำนวณได้จากกฎของฟาราเดีย ดังนี้

$$Q = \frac{IV_0}{nF}$$

เมื่อ

Q = อัตราการเกิดก๊าซที่สภาวะปกติ (L/s)

V_0 = ปริมาณก๊าซในหน่วยโมลาร์ (22.4 L/mol)

F = ค่าคงที่ของฟาราเดีย (96,500 C/mol. Electrons)

N = จำนวนอิเล็กตรอนที่ถ่ายเทระหว่างอิเล็กโทรด (2 อิเล็กตรอนต่อโมลของก๊าซออกซิเจน)

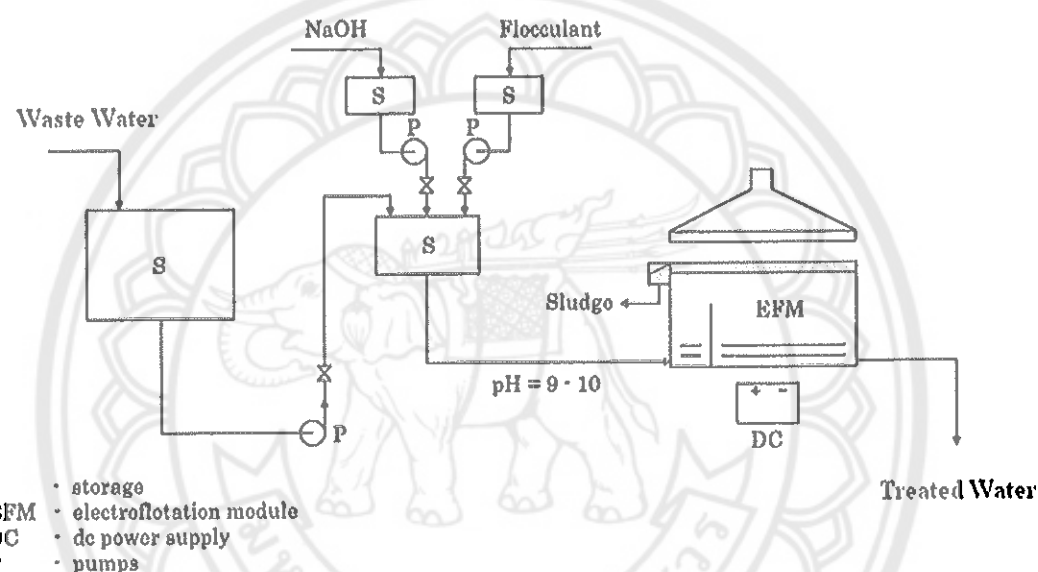
เมื่อรวมปฏิกิริยาทั้งหมดเข้าด้วยกันสามารถเขียนสมการใหม่ได้ดังนี้

$$Q_g = Q_H + Q_O$$

$$Q_g = \frac{IV_0}{n_H F} + \frac{IV_0}{n_O F}$$

เมื่อแทนค่าทั้งหมดในสมการจะได้อัตราการเกิดกําชีวิ

$$Q_g = 1.74 \times 10^{-4} /$$



ภาพ 25 ลักษณะถังปฏิกิริณแบบอิเล็กโทรโฟลเตชั่น

ปัจจัยที่มีผลต่ออิเล็กโทรโฟลเตชั่น

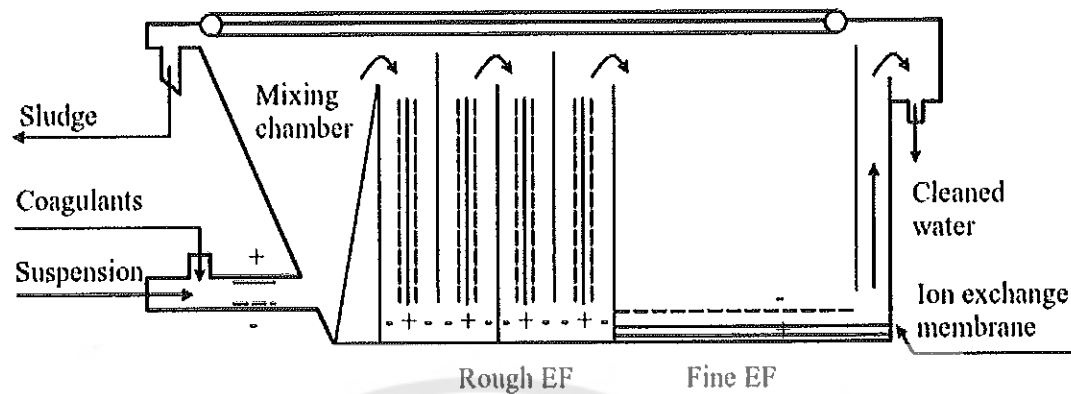
ประสิทธิภาพของอิเล็กโทรโฟลเตชั่นขึ้นอยู่กับปัจจัยดัง

- ความสามารถในการบ้าบัด ซึ่งขึ้นอยู่กับขนาดของฟองกําชีวิ
- ปริมาณไฟฟ้าที่ต้องการ ซึ่งขึ้นอยู่กับปริมาณกระแสง ค่าความนำไฟฟ้าของน้ำและการ

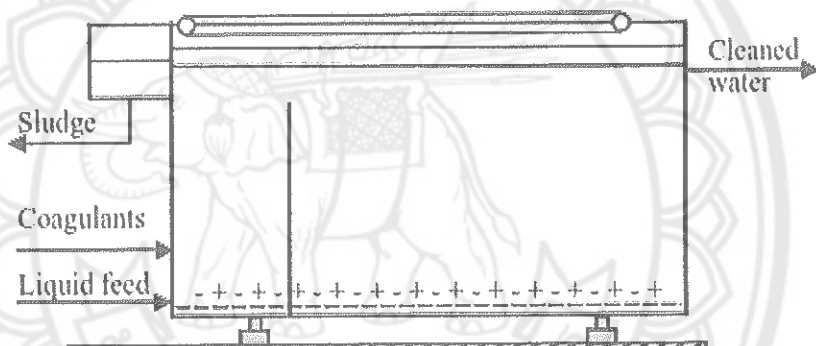
ออกแบบเซลล์ไฟฟ้า

การออกแบบระบบเซลล์ไฟฟ้า

ในระบบอิเล็กโทรโฟลเตชั่นจะ มีลักษณะการวางแผนอิเล็กโทรดที่ต่างกันสองแบบคือ แบบตั้งและแบบนอน โดยส่วนใหญ่แบบนอนเป็นที่นิยมมากกว่า การออกแบบโดยปกติมี 2 ประเภทคือแบบ ขั้นตอนเดียว หรือแบบ สองขั้นตอน

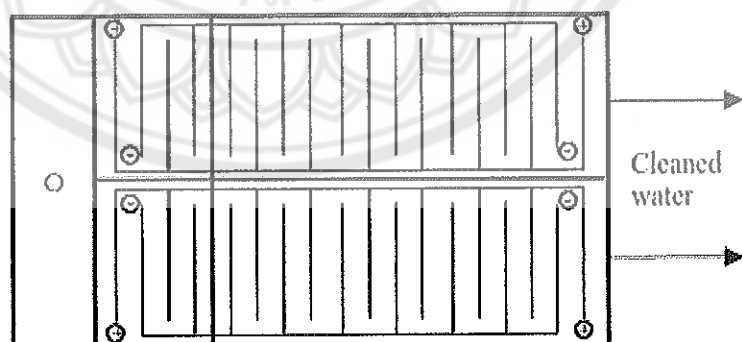


ภาพ 26 ตัวอย่างการออกแบบเซลล์แบบสองขั้นตอนโดยมีการเติมโคแอกกูแลนท์เข้าไป



(a) Side view

(b) Top view



ภาพ 27 ตัวอย่างการออกแบบเซลล์อิเล็กโทรไฟลเตชั่นแบบปกติ

ที่มา: Gouhua C., 2004

ผลของค่าความเป็นกรด-ด่าง

ขนาดของฟองกําชันจะขึ้นอยู่กับปัจจัยต่างๆ ดังนี้คือ

- ค่าความเป็นกรด-ด่างของน้ำ

- ความเข้มกระแทไฟฟ้า

วัสดุที่นำมาใช้ทำอิเล็กโทรดขนาดของฟองกําชันจะขึ้นอยู่กับปัจจัยต่างๆ ดังนี้คือ

- ค่าความเป็นกรด-ด่างของน้ำ

- ความเข้มกระแทไฟฟ้า

- วัสดุที่นำมาใช้ทำอิเล็กโทรด

จากงานวิจัยที่ผ่านมาพบว่า

- ออกซิเจนมีขนาดใหญ่ขึ้นเมื่อค่าพีเอชน้อยกว่า 7

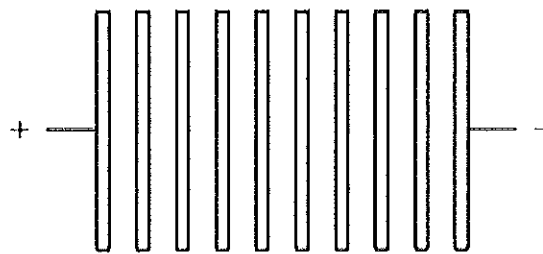
- ไฮโดรเจนมีขนาดใหญ่ขึ้นเมื่อมีค่าพีเอชน้อยกว่า 7 โดยฟองกําช์ไฮโดรเจนมีขนาดเล็กที่สุดที่พีเอชเป็นกลาง

ความหนาแน่นของกระแทไฟฟ้า

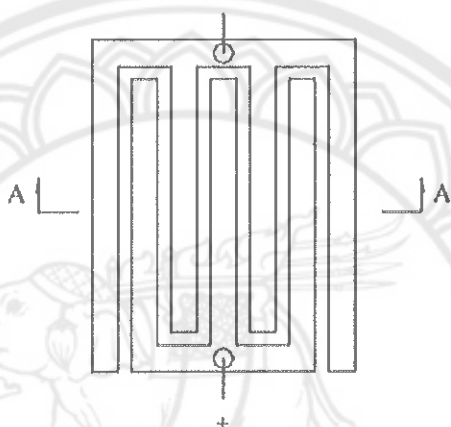
งานวิจัยที่ผ่านมาพบว่าขนาดของฟองกําช์ไม่แปรผันตามปริมาณกระแทไฟฟ้า แต่จะแปรผันตามความเรียบของแผ่นอิเล็กโทรด โดยพบว่าแผ่นอิเล็กโทรดที่เรียบจะให้ฟองกําช์ที่ใหญ่กว่า ขนาดอิเล็กโทรดที่ขรุขระ

การจัดวางอิเล็กโทรด

การวางอิเล็กโทรดในระบบอิเล็กโทรโฟลเตชั่นสามารถจัดวางได้หลายวิธี โดยปกติแบบแนวอนจะวางตะแกรงค่าโถด้วยด้านบนและแผ่นอาจไม่ได้ด้านล่าง โดยให้มีระยะห่างกัน 10 ถึง 50 มิลลิเมตร การวางอิเล็กโทรดแบบนี้จะมีเพียงอิเล็กโทรดด้านบนเท่านั้นโดยตรงในขณะที่อิเล็กโทรดด้านล่างจะไม่ทำปฏิกิริยาโดยตรง ฟองกําช์ที่เกิดขึ้นจะไม่ทำปฏิกิริยาโดยทันที แต่จะทำให้เกิดฟองกําชันขนาดใหญ่ ซึ่งจะส่งผลให้ฟลัตค์ที่เกิดขึ้นแตกออกยิ่งไปกว่าเนื้อค่าความนำกระแทไฟฟ้าของน้ำมีผลต่อปริมาณการใช้พลังงาน เนื่องจากหากนำมีค่าความนำกระแทไฟฟ้าต่ำ จะทำให้ต้องใช้พลังงานมาก และหากใช้พลังงานมากก็ต้องให้แผ่นอิเล็กโทรดมีระยะห่างกันมากเพื่อป้องกันไม่ให้เกิดกระแทไฟฟ้าลัดวงจรระหว่างแผ่นตะแกรงค่าโถดและแผ่นอาจในด ซึ่งเป็นสาเหตุที่พบจากการว่างแผ่นอิเล็กโทรดแนวอนคือหากมีตะกอนไปสะสมระหว่างแผ่นอิเล็กโทรดจะทำให้ความสะอาดยาก การวางอิเล็กโทรดแบบแนวตั้งแสดงดังภาพ 29



ภาพ 28 การวางอิเล็กโทรดแนวตั้ง



ภาพ 29 การวางอิเล็กโทรดรูปคล้ายซ้อม

การวางอิเล็กโทรดแบบแนวตั้งมีข้อดีคือสามารถติดตั้งได้ง่าย เพราะทั้งสองข้างเป็นแผ่นเหมือนกัน ขณะที่แบบคล้ายซ้อมสามารถเพิ่มประสิทธิภาพของระบบได้เนื่องจากสามารถสร้างฟองก๊าซได้เร็ว และทำปฏิกิริยาได้ทั้ง氧化และ喀โตได

วัสดุที่นำมาใช้ทำอิเล็กโทรด

หัวใจหลักของระบบอิเล็กโทรไฟล์เดชันอยู่ที่การจัดวางอิเล็กโทรดและชนิดของอิเล็กโทรด ข้อดีข้อเสียของอิเล็กโทรดแต่ละชนิดแสดงดังตาราง 4

ตาราง 4 ข้อดีข้อเสียของอิเล็กโทรดแต่ละชนิด

วัสดุที่นำมาทำอิเล็กโทรด	ข้อดี	ข้อเสีย
เหล็ก	ราคาถูก	ละลาย
กลูมิเนียม	ราคาถูก นิยมใช้ในระบบ EC-EF	ละลาย ไม่นิยมใช้กับระบบ EF เนื่องจาก

ตาราง 4 (ต่อ)

วัสดุที่นำมาทำอิเล็กโทรด	ข้อดี	ข้อเสีย
สแตนเลส	ราคาถูก นิยมใช้ในระบบ EC-EF	ให้ฟองก๊าซขนาดใหญ่ ละลาย ไม่นิยมใช้กับระบบ EF เนื่องจาก ให้ฟองก๊าซขนาดใหญ่
กราไฟท์	ราคาถูก ให้ก๊าซออกซิเจนมาก	ไม่ทนทาน
ตะกั่วออกไซด์	ราคาถูก ให้ก๊าซออกซิเจนมาก	ไม่ทนทาน มี ตะกั่ว ออกซอน ละลายออกมากัน น้ำที่นำไปบดแล้ว
แพลทินัม	มีความเสถียรสูง	ราคาแพง ไม่นิยมใช้กับเครื่อง ขนาดใหญ่
DSA (Dimensionally stable anode)		
TiO ₂ – RuO ₂	ให้ก๊าซคลอรีนมาก	ไม่ทนทาน
IrO _x -based	ทนทานกว่า RuO ₂ 20 เท่า	

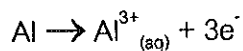
หมายเหตุ: DSA ประกอบไปด้วยโลหะสองส่วนคือ

1. RuO₂ หรือ IrO₂ เป็นอิเล็กโทรดอะตอมิสต์
2. TiO₂, Ta₂O₅, ZrO₂, Nb₂O₅ เป็นสารเสถียร (stabilizing agent)
นำสารในข้อ 1 และ 2 ไปเคลือบลงบนโลหะมีค่าเท่ากับ Ti, Ta, Zr, W, Nb, Bi

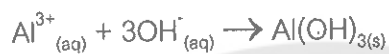
2. อิเล็กโทรดเอกกูเลชัน

อิเล็กโทรดเอกกูเลชัน หมายถึงกระบวนการทางไฟฟ้าเคมีที่อาศัยการสร้างสารโคเอกกูเลนท์ด้วยกระแสไฟฟ้า สารโคเอกกูเลนท์ถูกสร้างขึ้นโดยอาศัยการละลายของขั้วแยก (Sacrificial anode) โลหะที่นิยมนำมาใช้ทำขั้วเอกกูเลชัน เช่น อลูมิเนียม หรือ เหล็ก ปฏิกิริยาที่เกิดขึ้นเป็นดังนี้

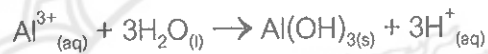
2.1 สำหรับอลูมิเนียม ปฏิกิริยาที่อาโนด



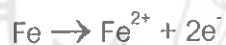
ที่พีเอชสูงกว่า 7



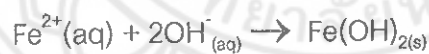
ที่พีเอชต่ำกว่า 7



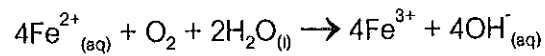
2.2 สำหรับเหล็ก ปฏิกิริยาที่อาโนด



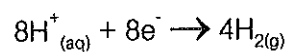
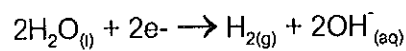
ที่พีเอชสูงกว่า 7



ที่พีเอชต่ำกว่า 7



ปฏิกิริยาที่ค่าトイด



กระบวนการอิเล็กโทรโคลอแกกูเลชันสามารถแบ่งออกได้เป็น 3 ขั้นตอนคือ

1. การสร้างสารโคลอแกกูแลนท์จากการละลายของขั้วแอลูมิเนียม
2. สารโคลอแกกูแลนท์แอดที่เกิดขึ้นไปทำลายเสถียรภาพของสิ่งปนเปื้อน
3. การรวมตัวกันของอนุภาคเกิดเป็นฟลัตค์

โดยในปฏิกิริยาอิเล็กโทรโคลอแกกูเลชันจะเกิดปฏิกิริยาอิเล็กโทรไลซิสของน้ำควบคู่ไปด้วย โดยเกิดฟองก๊าซออกซิเจนที่ข้าวอาโนดและฟองก๊าซไฮโดรเจนที่ข้าวคากาโนด ฟองก๊าซนี้จะไปเกาะที่ฟลัตค์และยกฟลัตค์ให้ลอยขึ้นสู่ผิวน้ำ ดังนั้นจึงพบว่าอิเล็กโทรโคลอแกกูเลชันมักใช้ร่วมกับอิเล็กโทรโฟลเทชัน นอกจากรูปที่ข้าวแคกากาโนดยังสามารถเกิดปฏิกิริยาไวร์ดักชันกับสิ่งปนเปื้อนในน้ำได้อีกด้วย

3. อิเล็กโทรออกซิเดชัน

อิเล็กโทรออกซิเดชัน หมายถึงกระบวนการทางไฟฟ้าเคมีที่起こศัยการสร้างออกซิไดซิง เอเจนท์จากการทำปฏิกิริยาระหว่างกระแสไฟฟ้ากับน้ำและสารเคมีที่ละลายอยู่ในน้ำโดยเมื่อพิจารณาจากสารออกซิไดซิงเอเจนท์ที่เกิดขึ้น (Cl_2 , ClO_2 , O_3 , $\cdot\text{OH}$, O_2^{\cdot} , H_2O_2 , O_2 , H_2 , CO_2) สามารถคาดเดาปฏิกิริยาได้ดังต่อไปนี้

ปฏิกิริยาที่แคกากาโนด

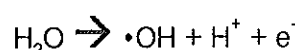
ที่พีเอชต่ำ



ที่พีเอชกลางถึงต่ำ



ที่อาโนด



โดยไฮดรอกซิลเรดิคอลที่เกิดขึ้นจะไปเกาะที่ตัวกลาง หรือโลหะเงินปฏิกิริยา ก่อนเข้าทำปฏิกิริยา

ในกรณีมีคลอไรด์ไอโอดินบีบีกิริยาปฏิกิริยาที่เกิดขึ้นที่อาจเป็นดังต่อไปนี้



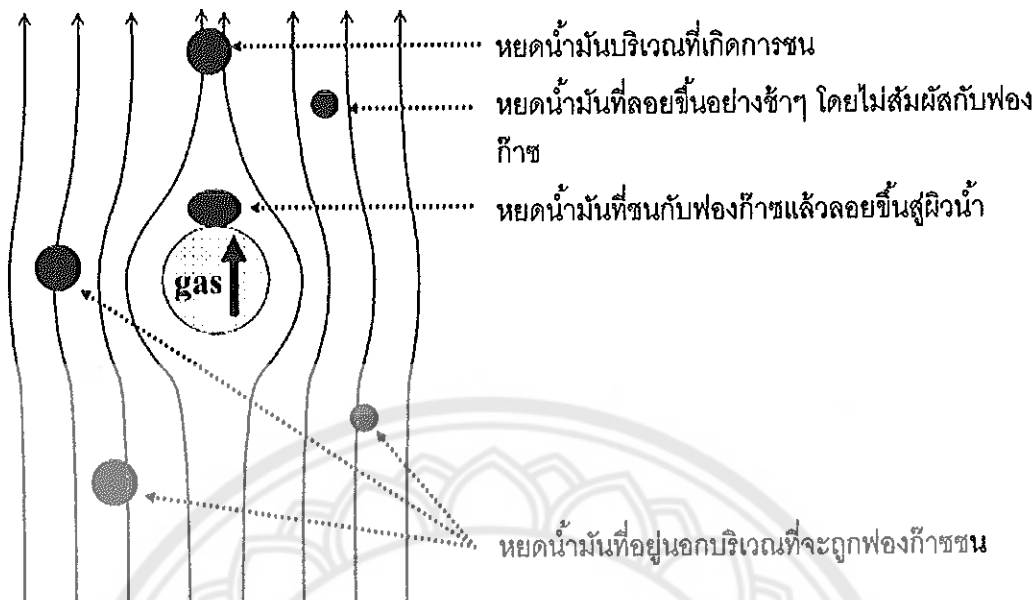
ปฏิกิริยาขณะเข้าสลายสารอินทรีย์เกิดดังนี้



ทฤษฎีที่เกี่ยวข้องกับการบำบัดน้ำด้วยเทคนิคอินดิวชันแอร์โฟลเตชัน

1. การลอยตัวด้วยก๊าซ (Gas flotation)

หลักการลอยตัวด้วยก๊าซ ใช้วิธีการเพิ่มความแตกต่างระหว่างน้ำหนักของน้ำและอนุภาคที่ต้องการทำจัด โดยเมื่อให้ก๊าซที่มีความละอียมากไหลผ่านอนุภาคของน้ำมันดิบหรืออนุภาคของแข็ง อนุภาคเหล่านี้จะเกาะติดกับก๊าซ ผลให้ออนุภาคมีค่าความหนาแน่นที่ลดลง เมื่อความหนาแน่นระหว่างน้ำและอนุภาคมีความแตกต่างกันมากขึ้นผลให้ออนุภาคลอยขึ้นสูญน้ำเร็วขึ้น โดยอนุภาคเหล่านี้จะอยู่ในรูปโฟมที่ผิวน้ำและทำให้สามารถนำออกได้ง่าย



ภาพ 30 ไฮdroไดนามิกของน้ำมันและฟองก๊าซ

กฎของสตอก

เมื่อกำหนดให้

$$\frac{F_b - F_g}{g} = (\rho_s - \rho_l)gV$$

F_b = แรงถอยตัว (Buoyancy force)

F_g = แรงขับเคลื่อน (Impelling force)

ρ_s = ความหนาแน่นของอนุภาค (mass density of the particle)

ρ_l = ความหนาแน่นของเหลว (mass density of liquid)

V = ปริมาตรของอนุภาค (Volume of particle)

g = อัตราเร่งเนื่องจากแรงโน้มถ่วง (acceleration due to gravity)

$$\frac{F_d}{d} = C A \frac{\rho V^2}{D} \frac{2}{c} \frac{s}{s}$$

F_d = แรงต้าน (drag force)

C_D = สัมประสิทธิ์ของการต้าน (coefficient of drag, which is a function of

Renolds number)

A_c = พื้นที่หน้าตัดตั้งฉากกับการไหล (area in cross section at right angle

to the velocity)

ρ = ความหนาแน่นของเหลว (mass density of liquid)

V_s = ความเร็วในการตกตะกอน (Settling velocity)

ลักษณะของน้ำมันที่ไม่ละลายน้ำ สามารถอยู่ในน้ำได้ 3 รูปแบบ คือ

1. ขนาดใหญ่มากกว่า 150 ไมโครเมตร สามารถแยกออกได้ด้วยวิธีทั่วไป
2. ขนาดใหญ่ 15-150 ไมโครเมตร
3. 3-20 ไมโครเมตร จะอยู่ในรูปอิมมลชั้น มักยึดติดกับ surfactant ประจุลบ สวนน้ำมันที่ละลายในน้ำสามารถกำจัดออกได้โดยใช้วิธีการบำบัดทางชีวภาพ
3. ปัจจัยที่มีผลต่อวิธีการลอยตัวด้วยแก๊ส
 - 3.1 ขนาดของหยดน้ำมัน
 - 3.2 ขนาดของแก๊ส
 - 3.3 ปัจจัยอื่นๆ
 - 3.4 Oil-Gas bubble hydrodynamics

งานวิจัยที่เกี่ยวข้อง

ประจักษ์ ศาสตร์เวช (2551) ได้ศึกษาการบำบัดตัวอย่างน้ำเสียปนเปื้อนน้ำมันร่วมกับสารลดแรงตึงผิวด้วยกระบวนการอินดิวช์แคร์ฟลเทชัน และโมดิฟายอินดิวช์แคร์ฟลเทชัน โดยใช้สารลดแรงตึงผิwa 3 ชนิด คือ 1) Sodium Dodecyl sulphate (SDS) 2) Cetyl Trimethyl Ammonium Bromide (CTAB) และ 3) Polysorbate 20 (Tween 20) พบร่วมกับ SDS ให้ประสิทธิภาพการบัดสูงสุด 98.84 เปอร์เซ็นต์ โดยใช้ความเข้มข้นเฟอริอกคลอไรด์ 0.8 กรัมต่อลิตร ผลการศึกษาลดเศษส่วนของกระบวนการ IAF และ MIAF เป็นปฏิกิริยาอันดับสอง ให้ค่า K ในช่วง 2×10^{-4} ถึง 2×10^{-6} (ลิตรต่อมิลลิกรัมวินาที) ผลการศึกษาตัวแปรด้านอุทกพลศาสตร์พบว่า ค่าพื้นที่ผิวสัมผัสจำเพาะ (a) ค่าความเร็วแกรเดียนท์ (G) มีความสัมพันธ์กับอัตราการไหลของอากาศ โดยสัดส่วน a/G สูงสุดจะให้ประสิทธิภาพการบำบัดสูงสุด

เกียรติพงศ์ เจริญสุข (2546) ได้ศึกษาประสิทธิภาพ และสภาวะที่เหมาะสมของการกำจัดน้ำมันสำหรับน้ำเสียโรงกลั่นน้ำมันด้วยกระบวนการไอแอกกูเลชันกับกระบวนการการลอยตัวด้วย

อากาศคล้าย จากผลการทดลอง พบร่วมกันที่เหมาะสมในการบำบัดด้วยกระบวนการโดยแยก ภูแลชั้นตามด้วยการตอกหินคือค่าพีเอชเท่ากับ 6 ปริมาณสารสัมเท่ากับ 20 มก./ล. และโพลีเมอร์ประจุลบเท่ากับ 1 มก./ล. ซึ่งให้ประสิทธิภาพในการกำจัดของแข็งแหวนloy ของแข็งทั้งหมด ซีโอดี และน้ำมันและไขมัน เท่ากับร้อยละ 89.6 3.6 51.8 และ 81.4 ตามลำดับ กระบวนการโดยแยก ภูแลชั้นทำให้ประสิทธิภาพการบำบัดของกระบวนการดีเออฟดีซีน จำกผลการทดลองพบว่าสภาวะที่เหมาะสมในการบำบัดด้วยกระบวนการโดยแยกภูแลชั้นกับกระบวนการดีเออฟ คือค่าพีเอชเท่ากับ 6 ความเข้มข้นสารสัมเท่ากับ 20 มก./ล. และโพลีเมอร์ประจุลบเท่ากับ 1 มก./ล. ที่ค่าความดันอัดอากาศ 5 บาร์ ค่าความเข้มข้นของปริมาตรฟองอากาศ 11 ล./ลบ.ม. ซึ่งให้ประสิทธิภาพในการกำจัดของแข็งแหวนloy ของแข็งทั้งหมด ซีโอดี และน้ำมันและไขมัน เท่ากับร้อยละ 86.5 6.4 49.2 87.2 ตามลำดับ จากการทดลองโดยใช้กระบวนการดีเออฟแบบโดยแยกเชิงลึกดีเออฟคอลัมน์ พบร่วมเมื่อใช้ค่าภาระทางชลศาสตร์เท่ากับ 9 ลบ.ม./ตร.ม.-ซม. ค่าพีเอชเท่ากับ 6 ความเข้มข้นสารสัมเท่ากับ 20 มก./ล. และ โพลีเมอร์ประจุลบเท่ากับ 1 มก./ล. ความดันอัดอากาศ 5 บาร์ ความเข้มข้นของปริมาตรฟองอากาศ 11 ล./ลบ.ม. ให้ประสิทธิภาพในการกำจัดของแข็งแหวนloy ของแข็งทั้งหมด ซีโอดี และน้ำมันและไขมัน เท่ากับร้อยละ 88.6 11.6 39.1 และ 80.6 ตามลำดับ

ชุลีกร ชูกลีน (2547) ศึกษาการขัดน้ำมันเตี๊ยรในอิมัลชันของน้ำเสีย โดยเทคนิคอินดิวิชั่น แอร์ไฟลเทชัน โดยใช้สารลดแรงตึงผิวด่างๆ ดังนี้ สารลดแรงตึงผิวนิดไม่มีประจุ (โพลีออกซีเอทิล ลีนซอร์บิเทนโนโนโลเจต, ทวีน 80) สารลดแรงตึงผิวนิดประจุบวก (เอกซ์เดคซิลไตรเมททิลแอมโมเนียมบอร์มายด์, ซีเทบ) สารลดแรงตึงผิวนิดประจุลบ (โซเดียมไดเดคซิลซัลเฟต, เอสดีเอส) และสารลดแรงตึงผิวสมรรถนะว่า ซีเทบกับทวีน 80 ที่อัตราส่วน (2:8) (5:5) และ (8:2) ภาวะที่เหมาะสมสำหรับการขัดน้ำมันหล่อเย็นชนิดผสมน้ำ ขึ้นกับชนิดของสารลดแรงตึงผิวนิดและประมาณของอิเล็กโทรลิต เช่น ทวีน 80 1 ซีเอมซี และอัลูมิเนียมซัลเฟต 160 มิลลิกรัมต่อลิตร ซีเทบ 0.25 ซีเอมซี และอัลูมิเนียมซัลเฟต 480 มิลลิกรัมต่อลิตร เอสดีเอส 0.25 ซีเอมซี และอัลูมิเนียมซัลเฟต 280 มิลลิกรัมต่อลิตร ซีเทบ : ทวีน 80 (2:8) 1 ซีเอมซี และอัลูมิเนียมซัลเฟต 160 มิลลิกรัมต่อลิตร ซีเทบ : ทวีน 80 (5:5) 1 ซีเอมซี และอัลูมิเนียมซัลเฟต 160 มิลลิกรัมต่อลิตร ซีเทบ : ทวีน 80 (8:2) 1 ซีเอมซี มีค่า pH ที่เหมาะสมอยู่ที่ 7 ในขณะเมื่อใช้เอสดีเอส มีค่า pH ที่เหมาะสมที่ 4 โดยใช้อัตราการหลอกของอากาศ 8 มิลลิลิตรต่อลิตรที่ขนาดของฟองอากาศในช่วง 615-688 ไมโครเมตรและเวลาในการเติมอากาศที่ 20 นาที ผลจากการทดลองพบว่าสามารถกำจัดน้ำมันหล่อเย็นชนิดผสมน้ำได้มากกว่า 99%

Al-Shamrani (2002) ได้ศึกษาการทำลายเสียร Vaughของอิมัลชัน ด้วยกระบวนการ DAF

พบว่าการเติมอุณหภูมิเยี่ยมชั้ลเฟต และเพอร์วิคชัลเฟต สามารถบำบัดน้ำมันได้ 99.4 และ 99.94 เปอร์เซ็นต์ความเร็วที่เหมาะสมในการกวนเร็วและกวนช้าเท่ากับ 110 และ 12 รอบต่อวินาที ตามลำดับ เวลาที่เหมาะสมคือ 120 และ 15-20 วินาที ตามลำดับ โดยสรุปว่ากระบวนการฟลักอคคุเลชันก่อนกระบวนการ DAF ช่วยเพิ่มประสิทธิภาพการบำบัดให้สูงขึ้น

Da Rosa, & Rubio (2005) ได้ศึกษาประสิทธิภาพเทคโนโลยีฟลักอคคุเลชัน ไฟลเตอร์น้ำโดยใช้ร่วมกับอุปกรณ์สร้างฟลักอคคุปทรงต่างๆ พบว่าอุปกรณ์ทั้งหมดให้ประสิทธิภาพในการบำบัดใกล้เคียงกันเทคโนโลยีฟลักอคคุเลชัน ไฟลเตอร์น้ำ ให้ประสิทธิภาพการบำบัด 80 – 90 เปอร์เซ็นต์ และสามารถบำบัดสารอินทรีย์ได้ 50 เปอร์เซ็นต์ โดยสรุปว่าประสิทธิภาพการบำบัดน้ำมันอยู่กับปริมาณฟลักอคคุเลนท์ และสารตัดแรงตึงผิว

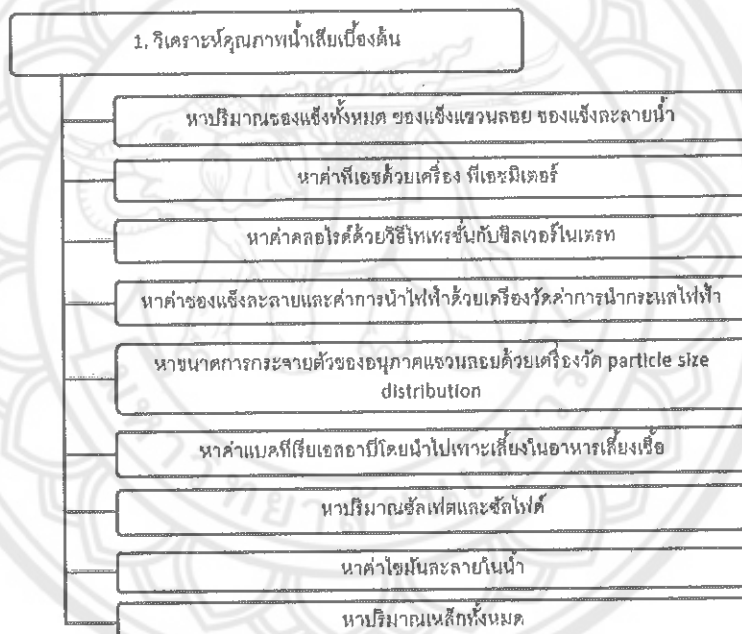
Meyssami, & Kasaelan (2005) ได้ศึกษาการบำบัดน้ำเสียสังเคราะห์ด้วยวิธีโคเอกุเลชันร่วมกับการเติมอากาศ ผลการทดลองพบว่าสภาวะที่เหมาะสมคือ ใช้ไครโตราน 100 พีพี เอ็ม ร่วมกับอัตราการเติมอากาศ 3 ลิตรต่อนาที นาน 45 วินาที ที่อุณหภูมิ 20 องศาเซลเซียส พีเอชเท่ากับ 6 มีความสามารถในการบำบัดถึง 95 เปอร์เซ็นต์ สามารถสรุปได้ว่าประสิทธิภาพการบำบัดจะขึ้นกับ ชนิดและความเข้มข้นของสารโคเอกุเลนท์ ค่าพีเอช อัตราการเติมอากาศ และระยะเวลาเติมอากาศ

พชร โพธิ์ทอง (2554) ได้ทำการศึกษาการบำบัดน้ำมันตัดและน้ำเสียปนเปื้อนสาหร่ายด้วยกระบวนการทำให้ลอยด้วยอากาศละลาย (Modified Dissolved Air Flotation) ร่วมกับกระบวนการโคเอกุเลชัน พบว่าชนิดของน้ำเสียส่งผลต่อ 1) กระบวนการโคเอกุเลชัน 2) ปริมาณฟองอากาศที่เหมาะสม หรือ ค่า A/S ในขณะที่ปั๊จจัยทางพลศาสตร์ของไอลที่ส่งผลกระทบต่อการรวมและการแยกของสามารถอธิบายได้ด้วยตัวแปร G.T (ผลคูณระหว่างความปั่นป่วนและระยะเวลา กก) และค่า OFR (อัตราน้ำล้นที่ผิว)

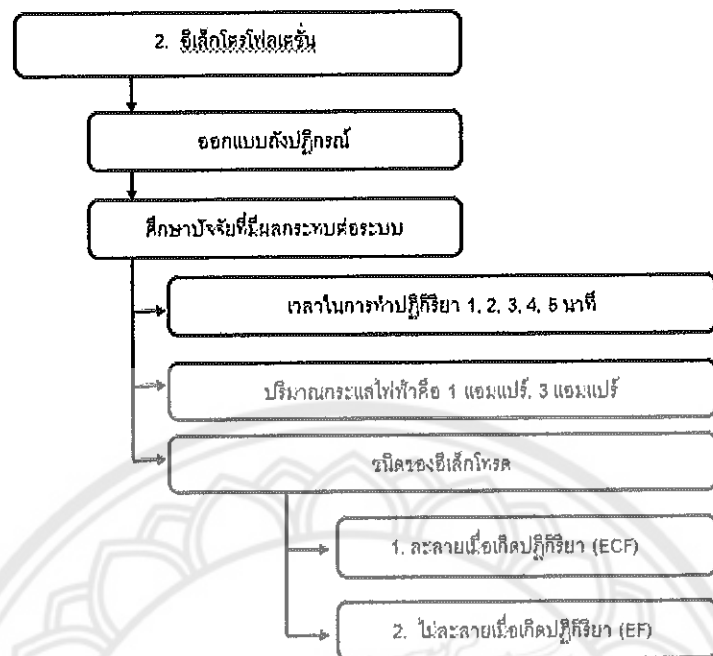
บทที่ 3

วิธีดำเนินการวิจัย

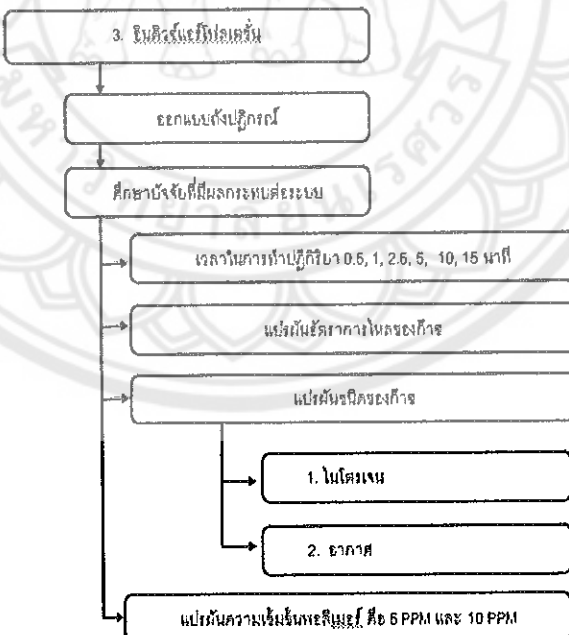
งานวิจัยนี้เป็นงานวิจัยเชิงทดลองในห้องปฏิบัติการภาควิชาชีวกรรมสิ่งแวดล้อม คณะวิศวกรรมศาสตร์ มหาวิทยาลัยนเรศวร และห้องปฏิบัติการ แหล่งน้ำมันสิริกิติ์ สำนักงานกะบือ จังหวัดกำแพงเพชร เพื่อศึกษาการนำน้ำเสียจากอุตสาหกรรมผลิตปูโตรเลียมจากแหล่งน้ำมันสิริกิติ์ ด้วยวิธีการอิเล็กโทรไฟล์เตชั่น โดยเปรียบเทียบผลกับวิธีทั่วไปคืออินดิวิซ์แคร์ไฟล์เตชั่น การดำเนินงานวิจัยแบ่งออกเป็น 3 ขั้นตอนแสดงตามแผนภูมิดังนี้



ภาพ 31 แผนภูมิขั้นตอนวิเคราะห์คุณภาพน้ำเสียเบื้องต้น



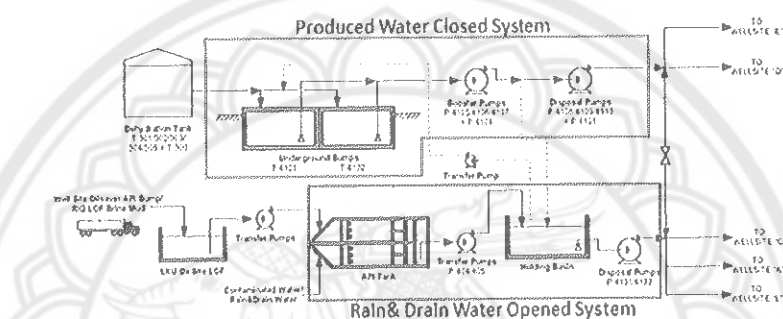
ກາພ 32 ແຜນງານນີ້ນັ້ນຕອນອີເລີກໂຕຣໂຟລເທັນ



ກາພ 33 ແຜນງານນີ້ນັ້ນຕອນອີນດີວັ້ນແວ້ນໂຟລເທັນ

ตัวอย่างน้ำเสียที่ใช้ในการวิจัย

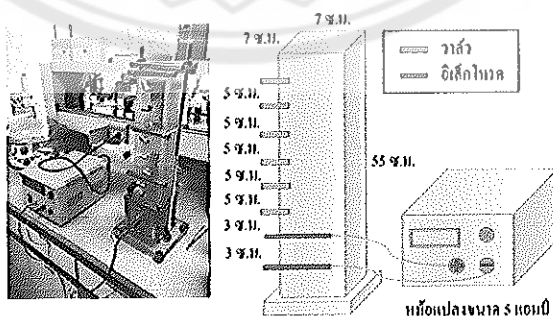
น้ำเสียที่ใช้ในงานวิจัยได้รับความอนุเคราะห์จากแหล่งน้ำมันสิริกิติ์ โดยใช้น้ำจากป่า close drain ของแหล่งน้ำมันสิริกิติ์ รองรับน้ำเสียที่ถ่ายมาจากระบบ Dehydration ของ Tank Farm งานวิจัยนี้ไม่ใช้น้ำจากแหล่ง API เนื่องจากเป็นป่าเปิดจึงทำให้พบบริมาณแบคทีเรียทั้งแบบใช้อากาศและไม่ใช้อากาศ และพบว่ามีปริมาณอนุภาคแขวนลดลงมากกว่าระบบป่าปิด อีกทั้งยังรองรับน้ำฝนและน้ำจากกระบวนการขุดเจาะ หากนำไปใช้ในการทดลองจะทำให้มีสามารถควบคุมคุณภาพของน้ำเสียให้คงที่ได้เนื่องจากมีปัจจัยดังกล่าวซึ่งอาจส่งผลให้ผลการทดลองคลาดเคลื่อน



ภาพ 34 ระบบน้ำเสียของแหล่งสิริกิติ์

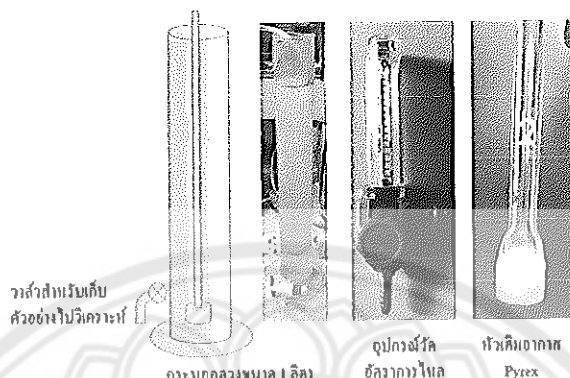
เครื่องมือและอุปกรณ์ที่ใช้ในงานวิจัย

- ถังปฏิกรณ์สำหรับอิเล็กโทรโพลเทียนมีขนาด 2 ลิตร โดยใช้หม้อแปลงขนาด 100 V หรือ 5 A ให้อิเล็กโทรดขนาด 5x7 เซนติเมตร เป็นใบอนุญาตโดยคณะกรรมการกับสแตนเลสสตีล, อุณหภูมิเนื้อมีอยู่ที่ 70°C สำหรับการทดสอบ



ภาพ 35 ลักษณะตั้งปฏิกรณ์ ECF

2. ถังปฏิกรณ์สำหรับอินดิวอร์เօร์ไฟลเต้นขนาดของอุปกรณ์มีปริมาตร 1 ลิตรใช้อากาศ
หรือก๊าซในโทรศัพท์สำหรับเติมอากาศ โดยติดตั้งหัวฟู



ภาพ 36 ถังปฏิกรณ์ IAF

3. เครื่องชั่งสารละเสียด, Mettler-Toledo
4. เครื่องวัดขนาดอนุภาค, counter couter, Model Blackman Z1
5. เครื่องวัด pH เมตร, Medel 875 pH lab
6. ตู้อบ, Memmert, Model UN 55
7. เครื่องวัด conductivity, ULTRAMETER Model 4P
8. เครื่องวัดน้ำมันในน้ำ Oil in water, Horiba, Model OCMA-350

สารเคมีที่ใช้ในงานวิจัย

1. Coagulant Aid (Optimer 7194 Plus)
2. Coagulant Aid (EC60294A)
3. Sodium hydroxide, AR grade, Merck
4. Silver Nitrate, AR grade, Merck

ขั้นตอนการดำเนินงานวิจัย

การทดลองที่ 1 ศึกษาสภาวะที่เหมาะสมในการนำบดน้ำเสียด้วยเทคนิคโคลีเล็กโตรไฟล เทชั่นโดยใช้ชี้วัดไฟฟ้าเป็น ใบรองโดยปิดโหมดเป็นชี้วัดวง และ สแตนเลสสตีลเป็นชี้วัด โดยใช้ เครื่องปฏิกรณ์แบบงา โดยทำการแปรผันค่าพารามิเตอร์ต่างๆ ดังนี้

1. หาประมาณ กระແສໄຟຟ້າ ທີ່ເໝາະສມ ໂດຍແປຣັນກະແສໄຟຟ້າ 3 ດ້ວຍ 3 ແຄມແປ່ງ,
5 ແຄມແປ່ງ ແລະ 7 ແຄມແປ່ງ
2. ຮະຍະເວລາໃນການທຳປົງກິຈີຍາທີ່ເໝາະສມ ໂດຍແປຣັນຮະຍະເວລາ 3 ດ້ວຍ 5 ນາທີ, 10
ນາທີ 15 ແລະ 30 ນາທີ
3. ທຶ່ງໃຫ້ຕະກອນລອຍເປັນເວລາ 5 ນາທີ
4. ວິເຄາະໜົມກາພນໍ້າຫັ້ງລັງການນຳບັດ

ກາຮັດລອງນີ້ມີວັດຖຸປະສົງເພື່ອສຶກຂາພາວັນສົງເຫຼືອທີ່ເໝາະສມໃນການນຳບັດນໍ້າເສີຍດ້ວຍ
ອີເລັກໂຕຣໂຟລເຫັນໂດຍໃຫ້ອີເລັກໂຕຣດີ່ມີລະລາຍ

ກາຮັດລອງທີ່ 2 ສຶກຂາສກວະທີ່ເໝາະສມໃນການນຳບັດນໍ້າເສີຍດ້ວຍເຫັນອີເລັກໂຕຣໂຟລ
ເຫັນໂດຍໃຫ້ຂ້າໄຟຟ້າເປັນຄູ່ມືເນີຍມເປັນຂ້າວກແລະສແນເລັດສົດເປັນຂ້້າລົບ ໂດຍໃຫ້ເຄື່ອງປົງກິຈີຍ
ແບບກະ ໂດຍທຳການແປຣັນຄ່າພາວັນສົງເຫຼືອທ່າງໆ ດັ່ງນີ້

1. หาประมาณ กระແສໄຟຟ້າ ທີ່ເໝາະສມ ໂດຍແປຣັນກະແສໄຟຟ້າ 3 ດ້ວຍ 3 ແຄມແປ່ງ,
5 ແຄມແປ່ງ ແລະ 7 ແຄມແປ່ງ
2. ຮະຍະເວລາໃນການທຳປົງກິຈີຍາທີ່ເໝາະສມ ໂດຍແປຣັນຮະຍະເວລາ 3 ດ້ວຍ 5 ນາທີ, 10
ນາທີ 15 ແລະ 30 ນາທີ

3. ທຶ່ງໃຫ້ຕະກອນລອຍເປັນເວລາ 5 ນາທີ

4. ວິເຄາະໜົມກາພນໍ້າຫັ້ງລັງການນຳບັດ

ກາຮັດລອງນີ້ມີວັດຖຸປະສົງເພື່ອສຶກຂາພາວັນສົງເຫຼືອທີ່ເໝາະສມໃນການນຳບັດນໍ້າເສີຍດ້ວຍ
ອີເລັກໂຕຣໂຟລເຫັນໂດຍໃຫ້ອີເລັກໂຕຣດີ່ມີລະລາຍ ໂດຍມີສົມມຸດສູາວ່າຫາກປົງກິຈີຍໃນກາຮັດລອງທີ່ 2
ໃຫ້ຜົກການກຳຈັດອຸນຸກາຄແກ່ນລອຍໄດ້ດີກວ່າກາຮັດລອງທີ່ 1 ແດ້ງວ່າສາຣໂຄເອກຸແລນທີ່ເອດທີ່ເກີດຈາກ
ກາຮລະລາຍຂອງອີເລັກໂຕຣ ມີສ່ວນໜ່ວຍໃນການທຳປົງກິຈີຍ

ກາຮັດລອງທີ່ 3 ສຶກຂາສກວະທີ່ເໝາະສມໃນການນຳບັດນໍ້າເສີຍດ້ວຍເຫັນອີເລັກໂຕຣໂຟລ
ເຫັນໂດຍໃຫ້ຂ້າໄຟຟ້າເປັນແລັກເປັນຂ້າວກແລະສແນເລັດສົດເປັນຂ້້າລົບ ໂດຍໃຫ້ເຄື່ອງປົງກິຈີຍ
ແບບກະ ໂດຍທຳການແປຣັນຄ່າພາວັນສົງເຫຼືອທ່າງໆ ດັ່ງນີ້

1. หาประมาณ กระແສໄຟຟ້າ ທີ່ເໝາະສມ ໂດຍແປຣັນກະແສໄຟຟ້າ 3 ດ້ວຍ 3 ແຄມແປ່ງ,
5 ແຄມແປ່ງ ແລະ 7 ແຄມແປ່ງ
2. ຮະຍະເວລາໃນການທຳປົງກິຈີຍາທີ່ເໝາະສມ ໂດຍແປຣັນຮະຍະເວລາ 3 ດ້ວຍ 5 ນາທີ, 10
ນາທີ 15 ແລະ 30 ນາທີ
3. ທຶ່ງໃຫ້ຕະກອນລອຍເປັນເວລາ 5 ນາທີ

4. วิเคราะห์คุณภาพน้ำหลังการบำบัด การทดลองนี้มีวัตถุประสงค์เพื่อศึกษาพารามิเตอร์ที่เหมาะสมในการบำบัดน้ำเสียด้วย อิเล็กโทรโพลเทชั่นโดยใช้อิเล็กโทรดที่ต่างจากการทดลองที่ 2 เพื่อศึกษาความแตกต่างของการบำบัดเมื่อเปลี่ยนชนิดของอิเล็กโทรด โดยมีสมมุติฐานว่าหากปฏิกริยาในการทดลองที่ 3 ให้ผลการกำจัดอนุภาคแขวนลอยได้ดีกว่าการทดลองที่ 2 แสดงว่าสารโคเออกูแลนท์เดอที่เกิดจากอิเล็กโทรดที่เป็นเหล็กให้ประสิทธิภาพการบำบัดดีกว่า สารโคเออกูแลนท์เดอที่เกิดจากอิเล็กโทรดที่เป็นอัลูมิเนียม

การทดลองที่ 4 ศึกษาสภาวะที่เหมาะสมในการบำบัดน้ำเสียด้วยเทคนิคอินดิวาร์แอร์โพลเทชั่นโดย โดยใช้เครื่องปฏิกรณ์แบบง่าย ทำการปรับผันค่าพารามิเตอร์ต่างๆ ดังนี้

1. ใช้โคเออกูแลนท์เดอชนิดพอลิเมอร์ ความเข้มข้น 5 ppm และ 10 ppm (อ้างอิง ปริมาณความเข้มข้นจากผู้ผลิต และผลการทดลองเบื้องต้นในปีก่อน)
2. ใช้ตัวกลางในการทดลองที่ต่างกัน คือ อากาศ และก๊าซไนโตรเจน
3. ปรับผันการไหลงของอากาศ 3 ค่า
4. ใช้ระยะเวลาในการทำการทดลองที่ต่างกันคือ 5 นาที 10 นาที และ 15 นาที
5. วิเคราะห์คุณภาพน้ำหลังการบำบัด

การทดลองนี้มีวัตถุประสงค์เพื่อศึกษาพารามิเตอร์ที่เหมาะสมในการบำบัดน้ำเสียด้วยเทคนิคอินดิวาร์แอร์โพลเทชั่น โดยมีสมมุติฐานว่าหากปฏิกริยาโดยใช้ตัวกลางเป็นอากาศให้ประสิทธิภาพการกำจัดอนุภาคแขวนลอยดีกว่าการใช้ตัวกลางที่เป็นไนโตรเจน แสดงว่าออกซิเจนมีส่วนช่วยในการทำปฏิกริยา

ปัจจัยควบคุม

คุณภาพของน้ำเสีย โดยน้ำเสียต้องมาจากแหล่งเดียวกัน คุณภาพน้ำเสียอาจมีการเปลี่ยนแปลงในแต่ละวันขึ้นกับสภาพอากาศ เช่น ฝนตก ในการทำการทดลองต้องมีการจดค่าเริ่มต้นของการทดลองไว้ทุกครั้ง

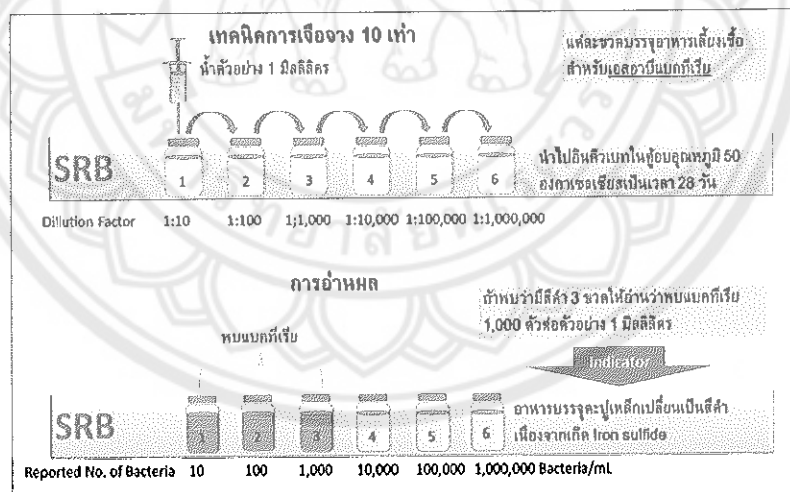
วิธีการทำการทดลอง

1. วัดคุณภาพน้ำเสียเบื้องต้น

ตาราง 5 วิธีการวัดคุณภาพน้ำเสียเบื้องต้น

พารามิเตอร์	วิธีการทดสอบ
หาองค์ประกอบของสารเวนคลอยในน้ำเสีย	นำไปปนก ด้วยเครื่อง XRD
หาค่า pH เข้า	pH meter, ASTM-D1253
. หาค่าคลอไตรด์	วิธีไฟเทเรชั่นกับบริสเวอร์ในเทราท์, ASTM-D0512
หาค่าของแข็งละลาย	วัดค่าการนำกระแสงไฟฟ้า
หาค่าของแข็งทั้งหมด	วิธีการระเหย
หาขนาดการกระจายตัวของอนุภาคเวนคลอย	เครื่องวัด particle size distribution
. หาค่าแบคทีเรียเօสอานี	เทคนิคการเจือจางสิบเท่า โดยนำไปเพาะเลี้ยงในอาหารเลี้ยงเชื้อ

ที่มา: Patton,C.C.,1995



ภาพ 37 การหาปริมาณแօโรบิคแบคทีเรียและแบคทีเรียเօสอานี ด้วยเทคนิคเจือจางสิบเท่า (NACE Standard TM0194-94 item no.21224)



ภาพ 37 (ต่อ)

2. อิเล็กโทรไฟลเตชั่น นำตัวอย่างน้ำเสียมา 2 ลิตร ทำการทดลองโดยแบ่งผู้ค้าพารามิเตอร์

ดังตาราง

ตาราง 6 ค่าตัวแปรที่ใช้ในการวิเคราะห์ด้วยเทคนิคอิเล็กโทรไฟลเตชั่น

ข้อเพิกถอน	ตัวแปร		วิเคราะห์							Particle size distribution
	กระบวนการ A	Time, min	pH	Oil & Grease	TSS, mg/l	Turbidity	Cation & Anion	PRD, SRB	ตะกอนและกรัช	
BDD & BDD	1	1	/	/	/	/	/	/	/	XRD, FTIR
SS & SS	3	1	/	/	/	/	/	/	/	
AI & AI	1	2	/	/	/	/	/	/	/	
Fe & Fe	3	2	/	/	/	/	/	/	/	
	1	3	/	/	/	/	/	/	/	
	3	3	/	/	/	/	/	/	/	
	1	4	/	/	/	/	/	/	/	
	3	4	/	/	/	/	/	/	/	
	1	5	/	/	/	/	/	/	/	
	3	5	/	/	/	/	/	/	/	
Optimum							/	/	/	/

3. อินดิวซ์แคร์โพลเตชั่น นำตัวอย่างน้ำเสียมา 1 ลิตร ทำการทดลองโดยเปลี่ยนค่าพารามิเตอร์ดังตาราง

ตาราง 7 ค่าตัวแปรที่ใช้ในการวิเคราะห์ด้วยเทคนิคอินดิวซ์แคร์โพลเตชั่น

ตัวแปร	ตัวแปร							วิเคราะห์			
	Polymer, ppm	Flow gas	Time, min	pH	Oil & Grease	TSS, mg/l	Turbidity	Cation & Anion	PRD, SRB	ตัวกรองเชิงเคมี	XRD, FTIR
อากาศ	5	2	0.5	/	/	/	/	/			
ในห้องเจน	5	4	0.5	/	/	/	/	/			
	5	7	0.5	/	/	/	/	/			
	5	2	2.5	/	/	/	/	/			
	5	4	2.5	/	/	/	/	/			
	5	7	2.5	/	/	/	/	/			
	5	2	5	/	/	/	/	/			
	5	4	5	/	/	/	/	/			
	5	7	5	/	/	/	/	/			
	5	2	10	/	/	/	/	/			
	5	4	10	/	/	/	/	/			
	5	7	10	/	/	/	/	/			
	5	2	15	/	/	/	/	/			
	5	4	15	/	/	/	/	/			
	5	7	15	/	/	/	/	/			
Optimum	/	/	/	/							

บทที่ 4

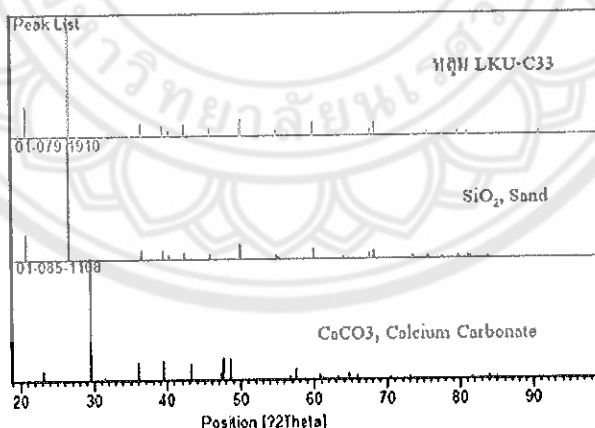
ผลการวิจัย

วิเคราะห์องค์ประกอบของสารแขวนลอย

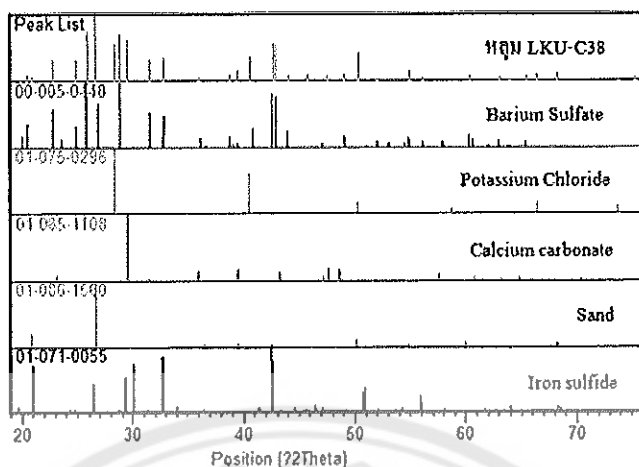
เนื่องจากกระบวนการบริบามของสารแขวนลอยในน้ำต้องการบริบามของสารแขวนลอยเป็นจำนวนมาก ซึ่งสารแขวนลอยที่ได้จากการทำกราฟต์ไม่เพียงพอ จึงจำเป็นต้องเก็บตัวอย่างสารแขวนลอยจากบริเวณได้หลุมอัคน้ำ ซึ่งเป็นวิธีโดยอ้อมใช้เป็นตัวแทนสารแขวนลอยทั้งหมดได้

สารแขวนลอยเก็บมาจากการแสลงคือ 1 หลุม LKU-C33 และ หลุม LKU-C38 โดยหลุมทั้งสองรับน้ำที่มาจากแม่น้ำทั้งต่างกันคือ หลุม LKU-C33 รับน้ำที่มีมากจากระบบปิดซึ่งปราศจากออกซิเจน และ หลุม LKU-C38 รับน้ำที่มีมากจากระบบเปิด รวมไปถึงน้ำฝน และน้ำที่มากจากการน้ำที่หลุมน้ำมัน ตัวอย่างของแข็งจากหลุม LKU-C33 ถูกเก็บที่ความลึก 2,222 เมตร ตามความยาวของหลุม (along hole) ตัวอย่างของแข็งจากหลุม LKU-C38 ถูกเก็บที่ความลึก 1,354 เมตร ตามความยาวของหลุม (along hole)

1. ผลการวิเคราะห์ XRD ของตัวอย่างจากหลุม LKU-C33 และ LKU-C38 แสดงตามภาพ 38 และภาพ 39 ตามลำดับ



ภาพ 38 องค์ประกอบของตะกอนในหลุม LKU-C33



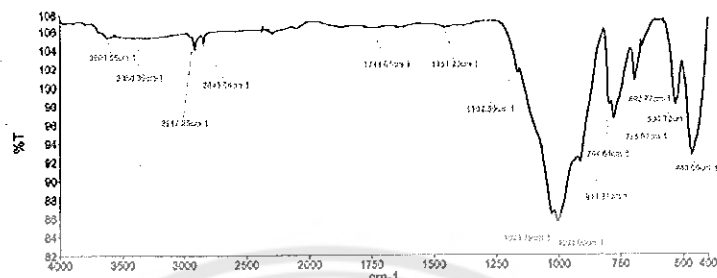
ภาพ 39 องค์ประกอบของตะกอนในหลุม LKU-C38

จากภาพ 35 และภาพ 39 พบว่าตัวอย่างของแข็งจากหลุม LKU-C33 มีองค์ประกอบของตะกอนคือทราย และตะกรันหินปูน และตัวอย่างของแข็งจากหลุม LKU-C38 มีองค์ประกอบของตะกอนคือตะกรامแบเรียมชัลเฟต, เกลือบิโนಡส์เตียมคลอไรด์, หินปูน, ทราย และเหล็กชัลไฟด์ ซึ่งสอดคล้องกับพฤติกรรมการอัดแน่นของหลุมทั้งสอง สามารถอธิบายได้ดังนี้

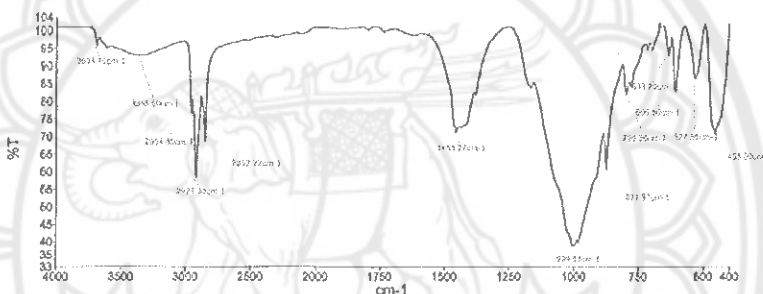
1. หลุม LKU-C33 รับน้ำทิ้งที่มากจากกระบวนการบีดสารเคมีที่ละลายในน้ำในแต่ละสปีชีส์ ยังไม่เกิดปฏิกิริยาออกซิเดชัน จึงไม่เพบตะกอนมากนัก โดยตะกอนส่วนใหญ่ที่เกิดขึ้นคือแคลเซียมคาร์บอเนต เกิดจากปัจจัยความเข้ากันได้ของน้ำ คือน้ำบางหลุมมีปริมาณคาร์บอนเนตสูง บางหลุม มีปริมาณแคลเซียมสูง เมื่อแต่ละหลุมให้เลี้ยงพาณกันสมดุลเคมีจึงเปลี่ยนไปทำให้เกิดการตกละกอน ส่วนทรายที่พบรามากจากทรายในแหล่งกักเก็บปิโตรเลียมที่มีโอกาสติดขึ้นมากับน้ำมันระหว่างกระบวนการผลิต

2. หลุม LKU-C38 รับน้ำทิ้งที่มากจากกระบวนการบีด รวมไปถึงน้ำฝน และน้ำที่มากจากกระบวนการขุดหลุมน้ำมัน น้ำเหล่านี้เมื่อสัมผัสอากาศจะเกิดปฏิกิริยาออกซิเดชันสำหรับโลหะบางชนิด เช่น Fe^{2+} เกิดเป็น Fe^{3+} อีกทั้งระบบบีดอาจเกิดปฏิกิริยา Anoxic โดยแบคทีเรีย sulfate reducing bacteria (SRB) เปลี่ยนชัลเฟตให้เกิดเป็นชัลไฟด์ เกิดการตกละกอนของ Iron sulfide ชนิดต่างๆ คาร์บอนไดออกไซด์ในอากาศเมื่อสัมผัสถกับ produced water จะละลายลงไปในน้ำในรูปคาร์บอนเนต เกิดตะกอนแคลเซียมคาร์บอเนต ส่วนของบิโนಡส์เตียมคลอไรด์เป็นส่วนผสมของน้ำโคลน (Mud fluid) หรือ น้ำเกลือ (brine) ที่ใช้ในกระบวนการขุดเจาะหรือซ้อมหลุมน้ำมัน ตะกอนแบเรียมชัลเฟต สามารถพนได้บ้างเกิดจากการตกละกอน ของแบเรียมและชัลเฟตที่มีจากแหล่งกักเก็บปิโตรเลียม

2. ผลการวิเคราะห์ IR ของตัวอย่างจากหลุม LKU-C33 และ LKU-C38 แสดงตามภาพ 40 และภาพ 41 ตามลำดับ



ภาพ 40 ผล IR ของหลุม LKU-C33



ภาพ 41 ผล IR ของหลุม LKU-C38

จากการ 41 และภาพ 42 พบร้า หลุมตัวอย่างของแข็งจากหลุม LKU-C33 ปรากฏพีคของ ไฮโดรคาร์บอนเล็กน้อย ขณะที่ ตัวอย่างของแข็งจากหลุม LKU-C38 ปรากฏพีคของ ไฮโดรคาร์บอนชัดเจนคือที่ 2921 (C-H Stretch), 1455 (C-C Bending), 796 (C-C Rocking)

3. การวิเคราะห์ค่าความชื้นและสารอินทรีย์ระเหยจากตัวอย่างของแข็งหลุม LKU-C33 และ LKU-C38 เป็นไปดังตาราง 8

ตาราง 8 ผลการการวิเคราะห์ค่าความชื้นและสารอินทรีย์ระเหย

ตัวอย่างของแข็ง	ความชื้น	สารอินทรีย์ระเหย
LKU-C33	24.5%	0.0319 กรัมต่ออะกกรัมเปลี่ยน 1 กรัม
LKU-C38	22.5%	0.1452 กรัมต่ออะกกรัมเปลี่ยน 1 กรัม

4. การหาค่าพีอีช, คลอไตรด์, ค่าของแข็งแ xenonloy, ค่าของแข็งหั้งหมด, ค่าของแข็งละลาย, ค่าน้ำมันในน้ำตัวอย่างที่เก็บจากน้ำทึบที่ระบบปิด

เนื่องจากน้ำที่มาจากการบดเปิดอาจมีปริมาณน้ำฝน น้ำทึบที่มาจากการแท่นชุดจะเป็นสีน้ำเงิน produced water จริงๆ งานวิจัยนี้จึงทำการทดลองเฉพาะน้ำที่มาจากการบดเท่านั้น

ตาราง 9 ผลการการวิเคราะห์ค่าพีอีช ,คลอไตรด์, ค่าของแข็งแ xenonloy, ค่าของแข็งหั้งหมด, ค่าของแข็งละลาย, ค่าน้ำมันในน้ำตัวอย่างที่เก็บจากบ่อทึบระบบปิด

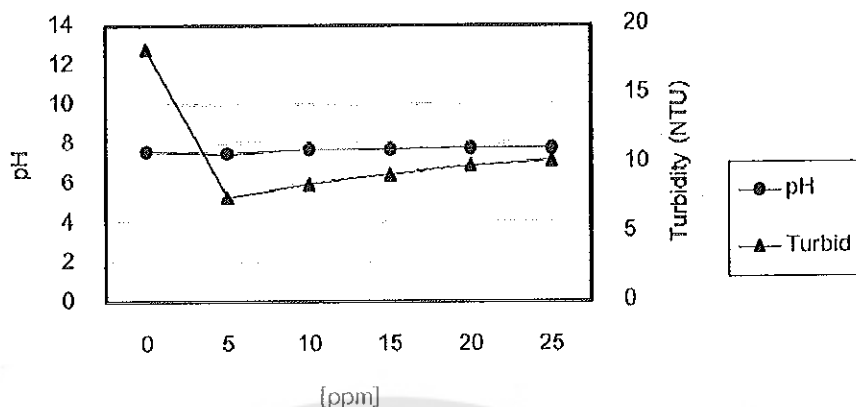
พารามิเตอร์	คุณสมบัติ
พีอีช	7.7
คลอไตรด์	8,892 มิลลิกรัมต่อลิตร
ของแข็ง xenonloy	70 มิลลิกรัมต่อลิตร
ของแข็งหั้งหมด	19,458 มิลลิกรัมต่อลิตร
ของแข็งละลาย	19,388 มิลลิกรัมต่อลิตร

การบำบัดน้ำเสียด้วยวิธีอินดิวซ์แคร์โพลเตชั่น (IAF)

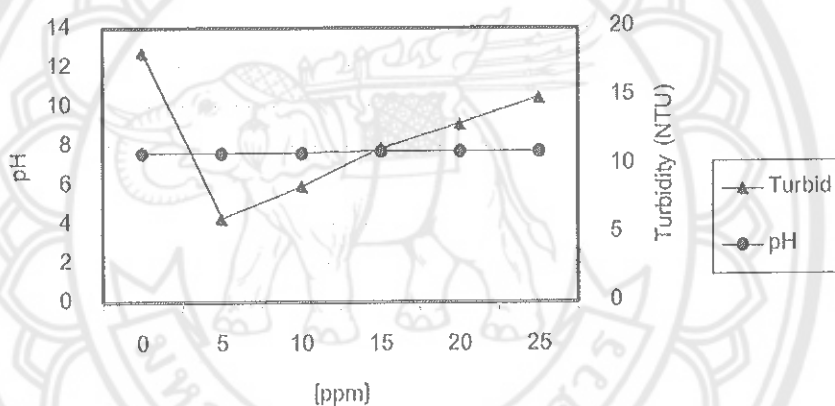
ศึกษาประสิทธิภาพของการบำบัดน้ำเสียด้วยวิธีอินดิวซ์แคร์โพลเตชั่น (IAF) ผลกระทบจากการเปลี่ยนชนิดของตัวกลางที่ใช้สร้างฟองจากอากาศเป็นไนโตรเจน พร้อมทั้งศึกษาผลกระทบจากการเปลี่ยนขนาดรูปแบบของหัวเติมอากาศ

1. การเลือกโภคเคมีและตัวกลางที่เหมาะสม

ทำการบำบัดน้ำเสียด้วยเทคนิคโภคเคมีโดยไม่มีการปรับพีอีชเริ่มต้น เพื่อสำรวจความสามารถในการบำบัดน้ำเสียของพอดิเมอร์ 2 ชนิด คือ EC60294A และ Optimer 7194 Plus ของบริษัทนาโนโลจี พร้อมทั้งเปรียบเทียบประสิทธิภาพในการบำบัดโดยอาศัยค่าความชุนของน้ำเสีย ในขั้นแรกที่น้ำเสีย 300 มิลลิลิตร บีคเกอร์แบ่งเป็นปริมาณสารพอดิเมอร์ 0, 5, 10, 15, 20, 25 พีพีเอ็ม ผลการทดลองการบำบัดน้ำเสียด้วย EC60294A และ Optimer 7194 Plus แสดงดังภาพ 42 และภาพ 43 ตามลำดับ



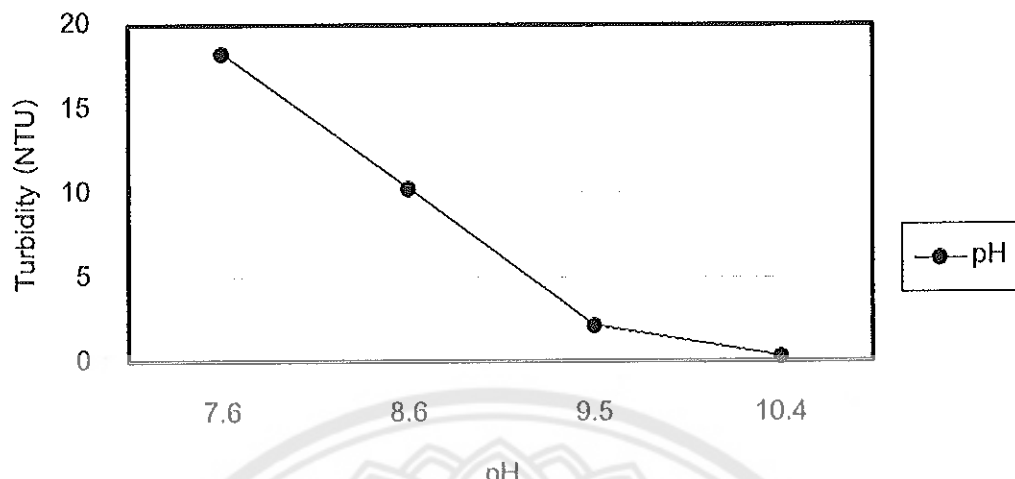
ภาพ 42 การบำบัดความชุ่นของ Coagulant EC60294A



ภาพ 43 การบำบัดความชุ่นของ Optimer 7194 Plus

จากภาพ 42 และภาพ 43 พบว่าหลังจากการทำขาวเทสแล้ว สารพอลิเมอร์ Optimer 7194 Plus ให้ผลการบำบัดความชุ่นได้ดีกว่า Coagulant EC60294A ให้ค่าความเข้มข้นของ Optimer 7194 Plus ที่เหมาะสมคือ 5 พีพีเอ็ม โดยประสิทธิภาพการบำบัดความชุ่นที่ดีที่สุดสำหรับสารพอลิเมอร์ Optimer 7194 Plus และ Coagulant EC60294A ให้ประสิทธิภาพการบำบัดความชุ่นที่ 66 เปอร์เซ็นต์ และ 59 เปอร์เซ็นต์ ตามลำดับ

การศึกษาการบำบัดน้ำเสียโดยการปรับค่าพีเอยาของน้ำเสียด้วยโซเดียมไฮดรอกไซด์เพียงอย่างเดียว โดยไม่มีการเติมสารโคเอกูแลนท์ เพื่อเปรียบเทียบกับสารพอลิเมอร์เนื่องจากการปรับพีเอยาเพียงอย่างเดียวมีค่าการบำบัดที่ถูกกว่าการใช้สารพอลิเมอร์ การทดลองทำได้โดยเปลี่ยนค่าพีเอยาคือ 7.6, 8.6, 9.5, 10.4 ผลการทดลองแสดงดังภาพ 44



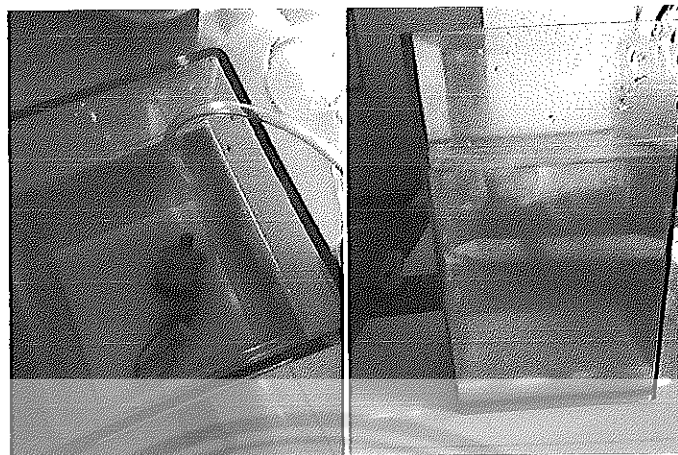
ภาพ 44 การบำบัดน้ำเสียโดยการปรับค่าพีเอชเพียงอย่างเดียว

จากภาพ 44 พบราที่พีเอช 10.4 สามารถบำบัดค่าความขุ่นลงได้เหลือเพียง 0.34 NTU จากความขุ่นเดิมตั้ง 18.3 NTU คิดเป็นประสิทธิภาพการบำบัด 98%

การศึกษาการบำบัดน้ำเสียด้วยวิธี IAF โดยการเติมสารเคมีความเข้มข้น 5 พีพีเช็ม เปรียบเทียบกับการปรับค่าพีเอชที่ 10.4 ผลการทดลองแสดงตามภาพ 45 และภาพ 46 ตามลำดับ



ภาพ 45 การบำบัดด้วยวิธี IAF ร่วมกับการเติมสารเคมีเมอร์



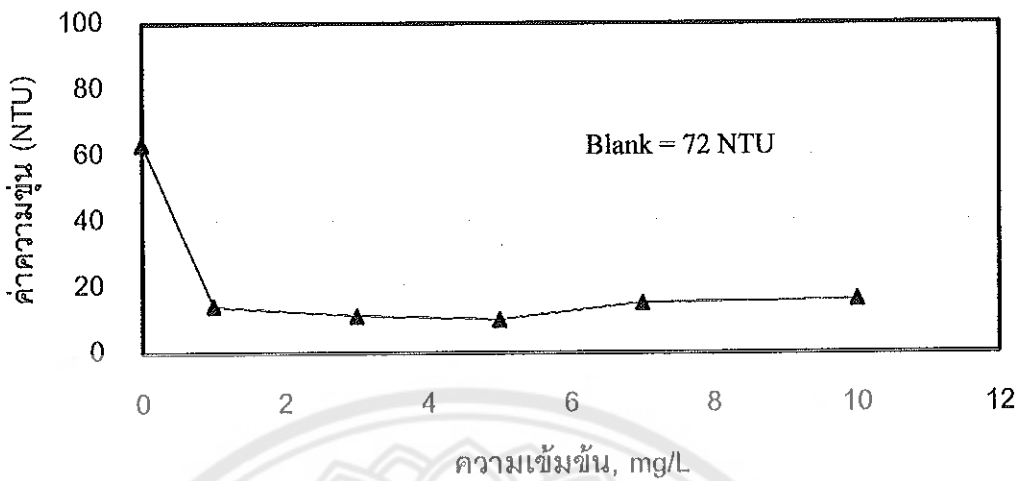
ภาพ 45 (ต่อ)

จากภาพ 45 พบร่วมกับการเติมสารพอลิเมอร์ สามารถทำให้ตะกอนloyเข็นสูผิวน้ำได้ ซึ่งให้ผลตรงข้ามกับการนำบัดด้วยวิธี IAF ร่วมกับการปรับพีเอชเพียงอย่างเดียวที่ทำให้ตะกอนจมลงสู่ก้นภาชนะ ทั้งนี้สาเหตุของการเติมสารพอลิเมอร์แล้วสามารถทำให้ตะกอนลอย เนื่องมาจากสารพอลิเมอร์เมื่อติดกับอนุภาคในน้ำและรวมตัวกับฟองอากาศ จะทำให้มีความหนาแน่น้อยกว่าน้ำและลอยตัวขึ้น ซึ่งตรงข้ามกับวิธีปรับพีเอชอย่างเดียว เพราะตะกอนไม่จับกับฟองอากาศทำให้ตะกอนยังคงมีค่าความหนาแน่นมากกว่าน้ำและจมตัวลงสู่ก้นภาชนะ

ผลการเลือกโดยเอกสารและที่เหมาะสมสามารถสรุปได้ว่า สาร Optimer 7194 Plus ให้ผลการนำบัดค่าความชื้นด้วยเทคนิค IAF ดีที่สุด โดยสามารถลดตะกอนเข็นสูผิวน้ำได้ ทั้งนี้เทคนิคการปรับพีเอชเพียงอย่างเดียวที่สามารถทำให้ผลการนำบัดค่าความชื้นได้ดีเช่นกันแต่ไม่เหมาะสมกับเทคนิค IAF เนื่องจากไม่สามารถลดตะกอนเข็นสูผิวน้ำได้

การนำไปใช้ตามแคมเปญนิคพอลิเมอร์ที่เหมาะสมกับวิธีการนำบัดแบบ IAF

นำน้ำเสียใส่ลงในกระบอกตวงขนาด 1 ลิตร จำนวน 6 ใบ ใช้หัวเติมอากาศ Pyrex หมายเลข 2 ปริมาณในละ 1 ลิตร ทำการแบ่งน้ำตามเข้มข้นของสาร Optimer 7194 Plus 0, 1, 3, 5, 7, 10 พีพี เอ็ม ตามลำดับ พร้อมทั้งเติมอากาศในอัตรา 4 ลิตรต่อนาที เป็นเวลา 5 นาที และทิ้งให้ตะกอนลอย 5 นาที ผลการทดลองแสดงตามภาพ 46

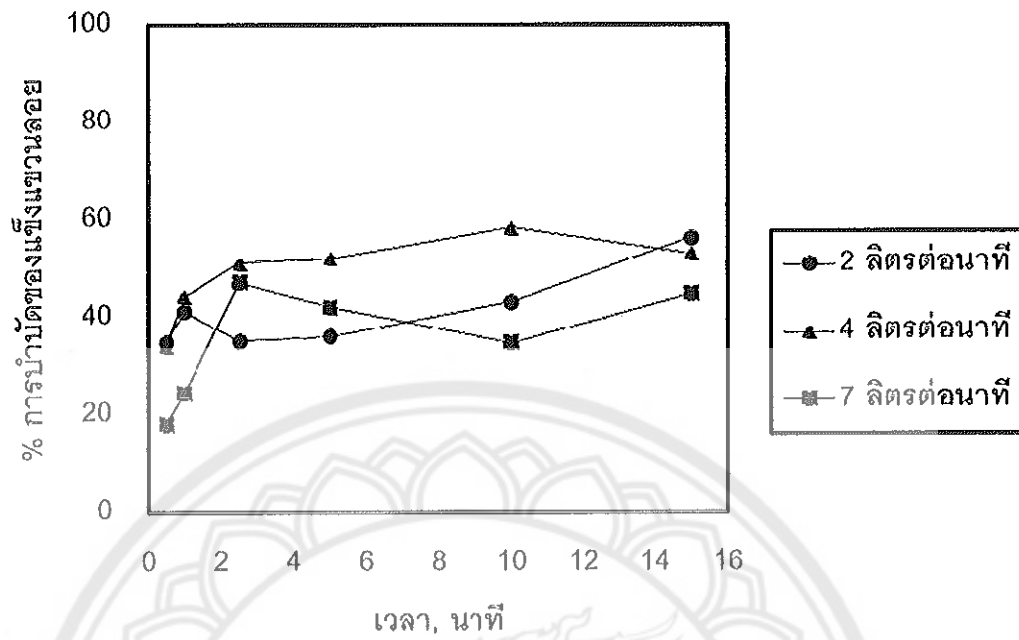


ภาพ 46 การหาปริมาณแคนท์ไอคอนิคพอลิเมอร์ที่เหมาะสมกับวิธีการบำบัดแบบ IAF

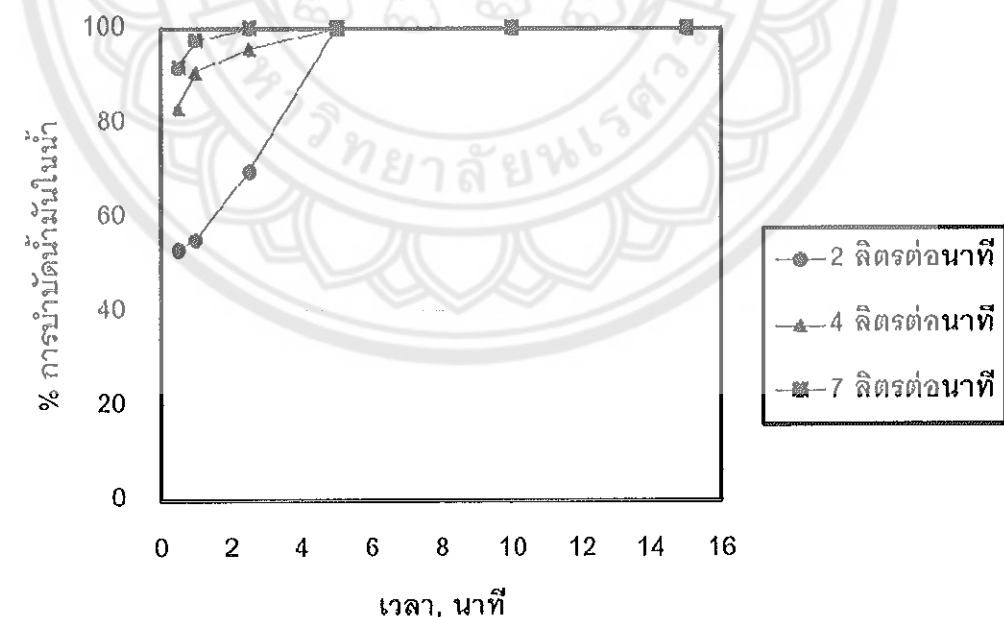
จากภาพ 46 พบร่วมกันสามารถคำนวณความชุ่นจาก 72 NTU ลงได้เหลือ 11 และ 10 NTU ตามลำดับ โดยให้ประสิทธิภาพการบำบัดที่ 83 และ 84 เปอร์เซ็นต์ตามลำดับ จากการทดลองยังพบอีกว่าหากเติมสารพอลิเมอร์มากเกินไปจะส่งผลให้น้ำมีความชุ่นหลังบำบัดเพิ่มขึ้น ทั้งอาจเป็นผลเนื่องมาจากการละลายของสารพอลิเมอร์ที่มีมากเกินไปที่ยังคงอยู่ในน้ำเสียหลังบำบัด

การหาปริมาณอัตราการเติมอากาศที่เหมาะสม

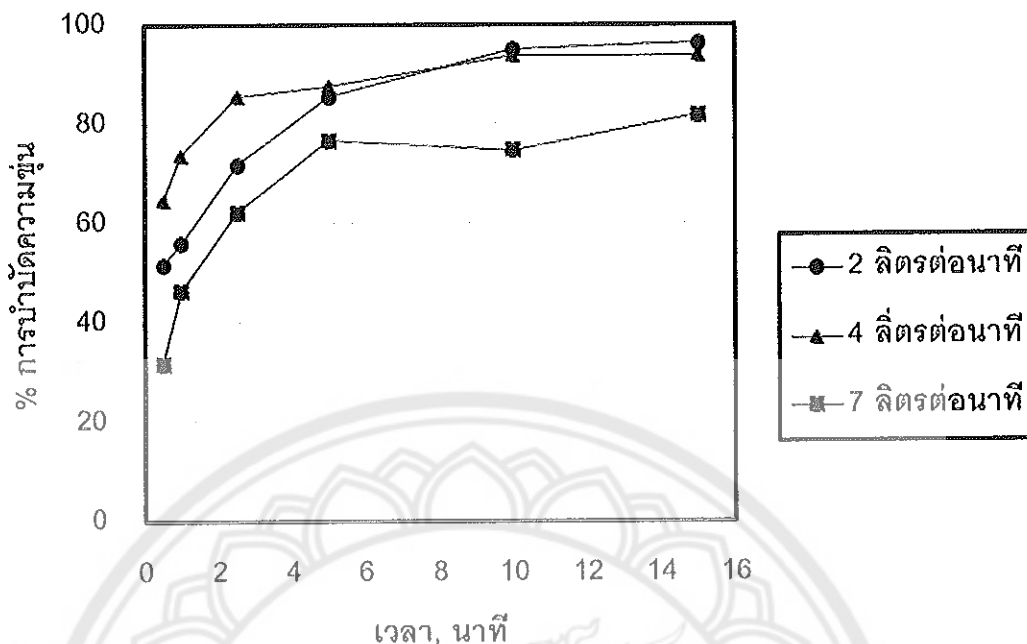
ทำการทดลองในกรอบอุ่นห้องขนาด 1 ลิตร แบร็พน์อัตราการเติมอากาศ 2, 4, 7 ลิตรต่อนาที และแบร็พน์ระยะเวลาในการการทดลอง 0.5, 1, 2.5, 5, 10, 15 นาที กำหนดความเข้มข้นของสาร Optimer 7194 Plus ที่ 5 พีพีเอ็ม ทำการหาค่าของแข็ง เช่น ความเข้มข้นของสาร ค่าแก้ไขในน้ำ และค่าความชุ่น ผลการทดลองแสดงดังภาพ 47, ภาพ 48 และภาพ 49 ตามลำดับ



ภาพ 47 การหาอัตราการเติมอากาศที่เหมาะสมโดยเปรียบเทียบประสิทธิภาพการนำบัดของเชิงแขวนลอย



ภาพ 48 การหาอัตราการเติมอากาศที่เหมาะสมโดยเปรียบเทียบประสิทธิภาพการนำบัดน้ำมันในน้ำ



ภาพ 49 การหาอัตราการเติมอากาศที่เหมาะสมโดยเปรียบเทียบประสิทธิภาพการบันดูความชื้น

จากภาพ 47, ภาพ 48 และภาพ 49 พบร่วมกันว่าอัตราการเติมอากาศที่ 4 ลิตรต่อหน้าที่ ให้ประสิทธิภาพในการบันดูดีที่สุดโดยให้ผลการบันดูของแข็งแหวนลดลงทั้งหมด นำมันในน้ำ และความชื้น 60%, 100% และ 90% ตามลำดับ โดยระยะเวลาในการบันดูที่เหมาะสมคือตั้งแต่ 2.5 นาทีขึ้นไป

จากการทดลองที่ผ่านมา (ประจักษ์ ศาสตราเจช, 2551) ที่ได้ศึกษาตัวแปรทางอุทกพลศาสตร์พบว่าค่าพีน์ที่ผิวสัมผัสจำเพาะ (a) ค่าความเร็วแกรเดียนท์ (G) หรือค่าความปานกลางของระบบซึ่งมีค่าสูงขึ้นตามอัตราการไหลของอากาศ โดยค่าอัตราส่วน a/G สูงสุดจะให้ประสิทธิภาพการบันดูสูงสุด

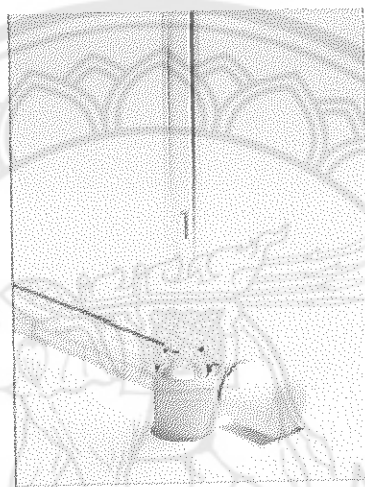
เมื่อพิจารณาจากผลการทดลองจะพบว่าค่า a ที่อัตราการไหลที่ 7 ลิตรต่อหน้าที่ > 4 ลิตรต่อหน้าที่ > 2 ลิตรต่อหน้าที่ และพิจารณาค่า G จะพบว่าอัตราการไหลที่ 7 ลิตรต่อหน้าที่ > 4 ลิตรต่อหน้าที่ > 2 ลิตรต่อหน้าที่

เมื่อพิจารณาค่า a ที่อัตราการเติมอากาศที่ 7 ลิตรต่อหน้าที่ พบร่วมกันว่าระบบควรให้ประสิทธิภาพการบันดูสูงสุด แต่เมื่อพิจารณาค่า G พบร่วมกันว่าอัตราการเติมอากาศที่ 7 ลิตรต่อหน้าที่มีค่า G สูงส่งผลต่อเสถียรภาพของฟลักซ์ไม่ได้กลับผุ้งกระจากอยู่ในระบบส่งผลให้ได้ประสิทธิภาพการบันดูต่ำขณะที่อัตราการเติมอากาศ 4 ลิตรต่อหน้าที่ให้ประสิทธิภาพการบันดูสูงสุดเนื่องจากมีค่า a/G ที่เหมาะสม รองลงมาคือที่ 2 ลิตรต่อหน้าที่ ทั้งนี้หากเติมอากาศที่ 2 ลิตรต่อหน้าที่ให้ระยะเวลานานขึ้นก็จะ

ให้ประสิทธิภาพการบำบัดใกล้เคียงกับอัตราการเติมอากาศที่ 4 ลิตรต่อนาที ดังจะเห็นได้จากการทดลองที่หน้าที่ 15

ศึกษาขนาดพื้นที่หัวเติมอากาศที่ส่งผลต่อประสิทธิภาพการบำบัด

ใช้หัวเติมอากาศของบริษัท PYREX ชนิดแก้วใบโซชิลิเกทที่มีขนาดความพูนแตกต่างกัน 2 ขนาด หัวเติมอากาศที่มีระดับความพูน 3 จะให้ฟองก๊าซที่มีความละเอียดมากกว่าหัวเติมอากาศที่มีระดับความพูน 2 ตามรายละเอียดในตาราง 10



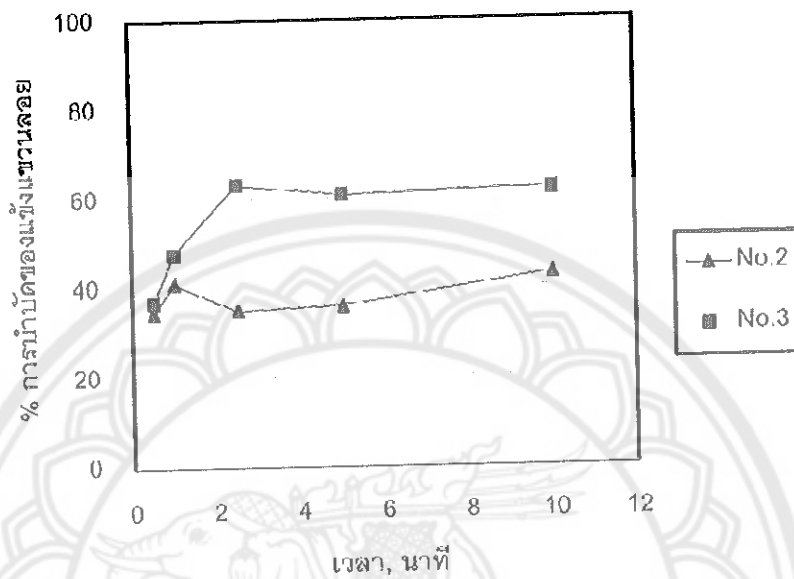
ภาพ 50 ลักษณะหัวเติมอากาศที่ใช้ในการทดลอง

ตาราง 10 ลักษณะของหัวเติมอากาศบริษัท PYREX

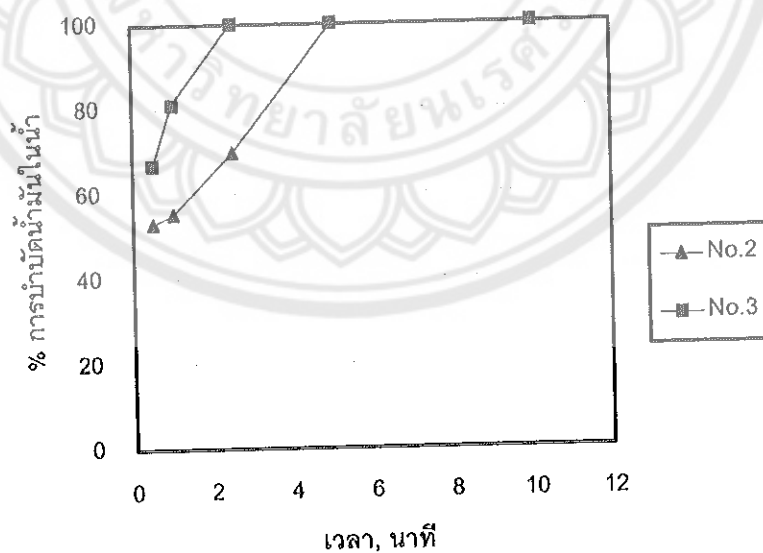
รหัสผลิตภัณฑ์	ระดับความ พูน	เส้นผ่าศูนย์กลาง หัวเติมอากาศ, มิลลิเมตร	ความยาวหัว เติมอากาศ, มิลลิเมตร	เส้นผ่าศูนย์กลาง ท่อ, มิลลิเมตร
3830'04M	No.2	15	15	8
3830'06M	No.3 (ฟองละเอียด กว่า)	15	15	8

ทำการทดลองในระบบอุตสาหกรรม 1 ลิตร กำหนดอัตราการเติมอากาศที่ 2 ลิตรต่อนาที และ
เปลี่ยนระยะเวลาในการการทดลอง 0.5, 1, 2.5, 5, 10 นาที กำหนดความเข้มข้นของสาร Optimer

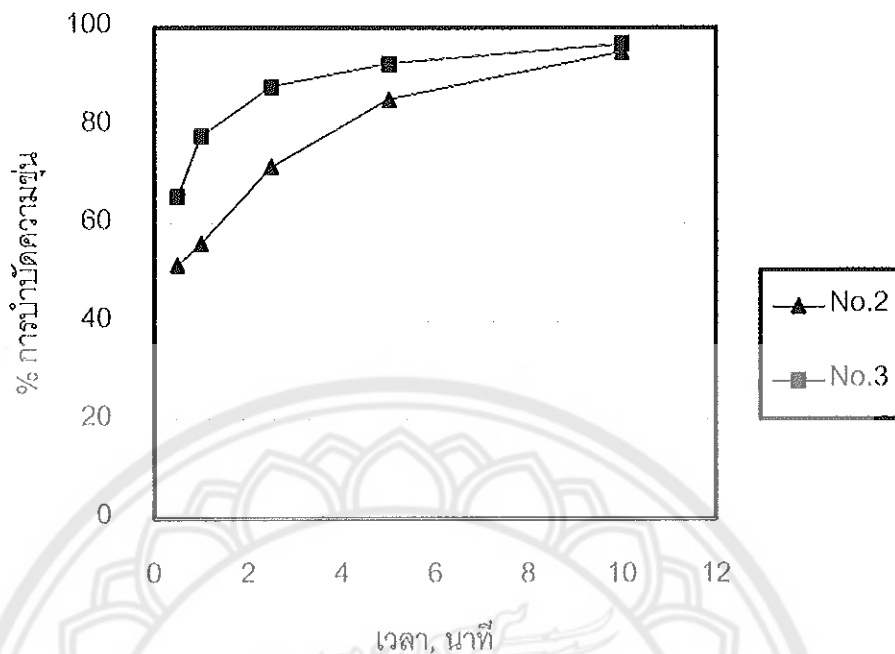
7194 Plus ที่ 5 พีซีเอ็ม ทำการหาค่าของแข็งแกร่งโดยทั้งหมด ค่าสำมั่นในน้ำ และค่าความชื้น ผลการทดลองแสดงดังภาพ 51, ภาพ 52 และภาพ 53 ตามลำดับ



ภาพ 51 ผลการศึกษาปัจจัยด้านขนาดรูพุนของหัวเติมอากาศที่ส่งผลต่อประสิทธิภาพการสำบัด โดยเปรียบเทียบค่าของแข็งแกร่งโดย



ภาพ 52 ผลการศึกษาปัจจัยด้านขนาดรูพุนของหัวเติมอากาศที่ส่งผลต่อประสิทธิภาพการสำบัด โดยเปรียบเทียบค่าของน้ำมันในน้ำ



ภาพ 53 ผลการศึกษาปัจจัยด้านขนาดรูพื้นของหัวเติมอากาศที่ส่งผลต่อประสิทธิภาพการบำบัด โดยเปรียบเทียบค่าความชุน

จากการ 51, ภาพ 52 และภาพ 53 พบว่าหัวเติมอากาศที่มีระดับความพุ่นเบอร์ 3 ให้ประสิทธิภาพการบำบัดของแข็งแวนลอย น้ำมันในน้ำ และความชุน ดีกว่าหัวเติมอากาศที่มีระดับความพุ่นเบอร์ 2 โดยให้ประสิทธิภาพในการบำบัดของแข็งแวนลอย น้ำมันในน้ำ และความชุนสูงสุดที่ 62%, 100%, 97% ตามลำดับ

เมื่อพิจารณาค่า a/G พบร่วมหัวเติมอากาศความพุ่นเบอร์ 3 มีความพุ่นมากกว่าหัวเติมอากาศเบอร์ 2 ดังนั้นหัวเติมอากาศเบอร์ 3 จะให้เพิ่มที่ผิวสัมผัสของอากาศมากกว่า เพราะให้ฟองอากาศขนาดเล็กกว่า เมื่อพิจารณาที่อัตราการไหลของอากาศที่เท่ากัน จะได้สมการดังนี้

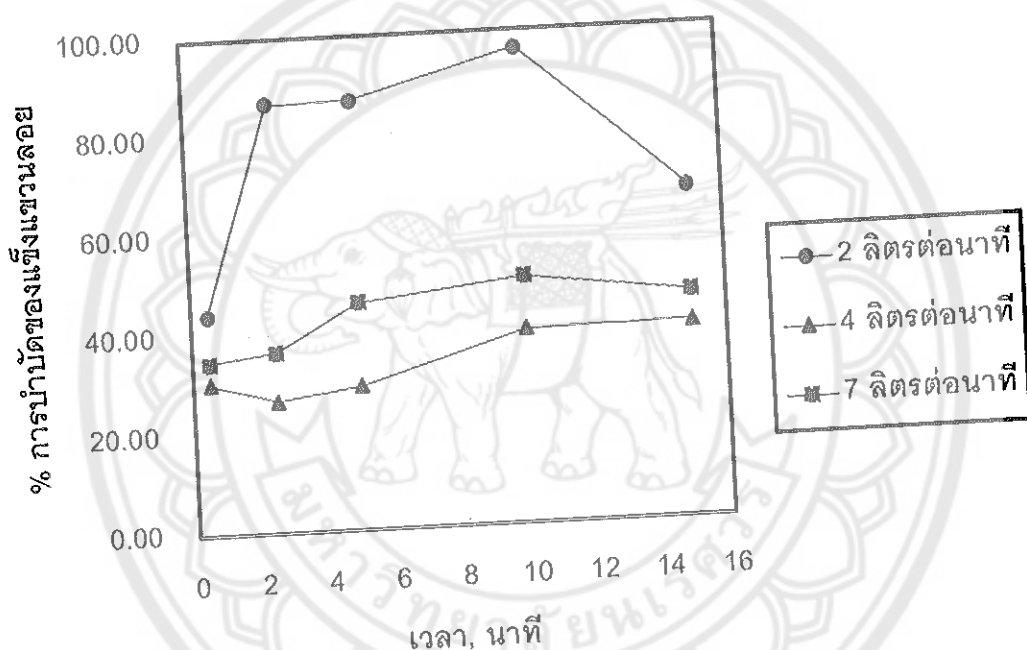
$$\frac{a \text{ (หัวเติมอากาศเบอร์ 3)}}{G} > \frac{a \text{ (หัวเติมอากาศเบอร์ 2)}}{G}$$

จากสมการข้างต้นซึ่งแสดงถึงกับผลการทดลองจึงสามารถสรุปได้ว่าฟองอากาศขนาดเล็กจะให้ประสิทธิภาพการบำบัดที่ดีกว่าฟองอากาศขนาดใหญ่

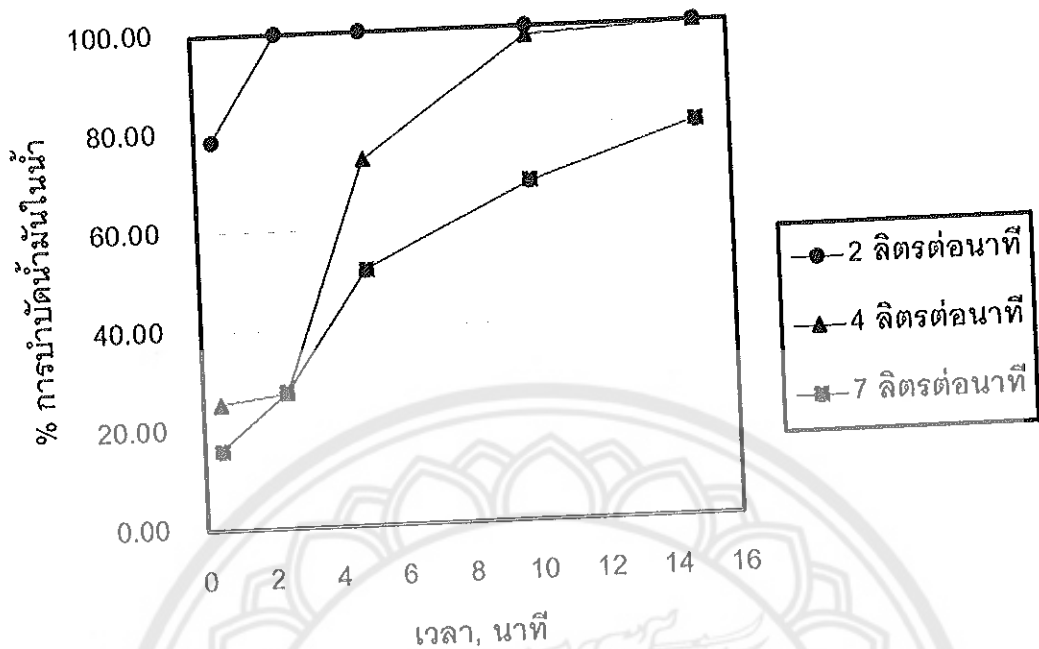
**ศึกษาผลกระทบจากการเปลี่ยนชนิดของตัวกลางที่ใช้สร้างฟองจากอากาศเป็น
ไนโตรเจน**

1. การหาปริมาณอัตราการเติมไนโตรเจนที่เหมาะสม

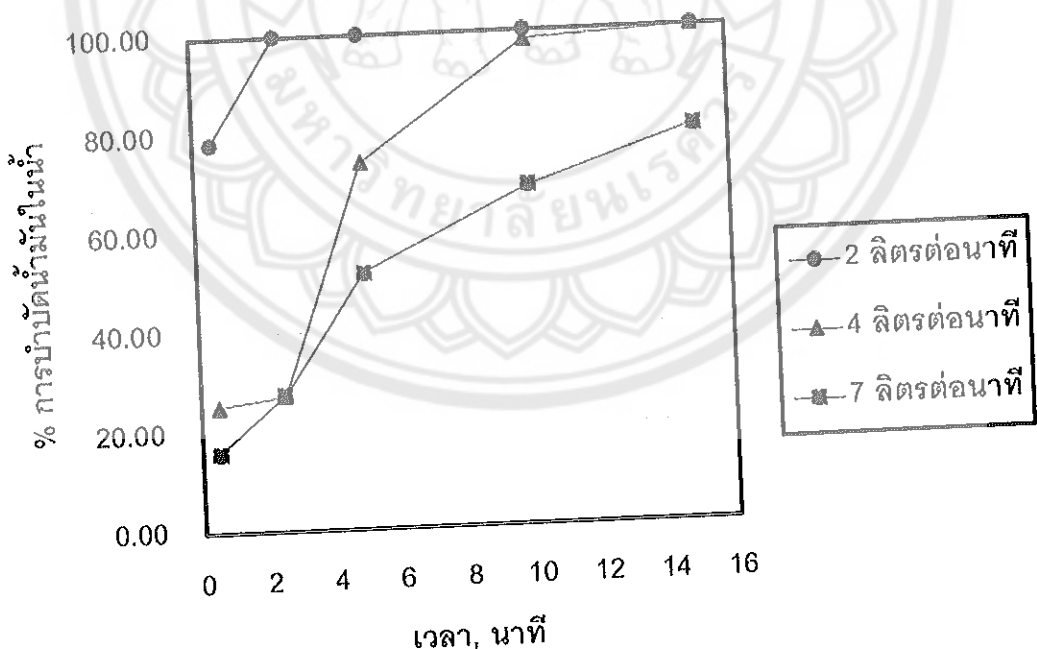
ทำการทดลองในกระบวนการตากองขนาด 1 ลิตร แบร์ผู้อัตราการเติมก๊าซไนโตรเจน 2, 4, 7 ลิตรต่อนาที และแบร์ผู้ระยะเวลาในการการทดลอง 0.5, 2.5, 5, 10, 15 นาที กำหนดความเข้มข้นของสาร Optimer 7194 Plus ที่ 5 พีพีเอ็ม ทำการหาค่าของแข็งแขวนลอยทั้งหมด ค่าน้ำมันในน้ำ และค่าความชื้น ผลการทดลองแสดงดังภาพ 54, ภาพ 55 และภาพ 56 ตามลำดับ



ภาพ 54 การหาอัตราการเติมไนโตรเจนที่เหมาะสมโดยเปรียบเทียบประสิทธิภาพการนำบัดของแข็งแขวนลอย น้ำมันในน้ำและความชื้น



ภาพ 55 การหาอัตราการเติมในໂຕຣເຈນທີ່ແມະສນໂດຍປັບປຸງສິຫຼອກ
ກາຮັບດັບຂອງເໝື້ອແຂວນລອຍ ນ້ຳມັນໃນນ້ຳແລະຄວາມຊຸ່ນ



ภาพ 56 การหาอัตราการเติมໃນໂຕຣເຈນທີ່ແມະສນໂດຍປັບປຸງສິຫຼອກ
ກາຮັບດັບຂອງເໝື້ອແຂວນລອຍ ນ້ຳມັນໃນນ້ຳແລະຄວາມຊຸ່ນ

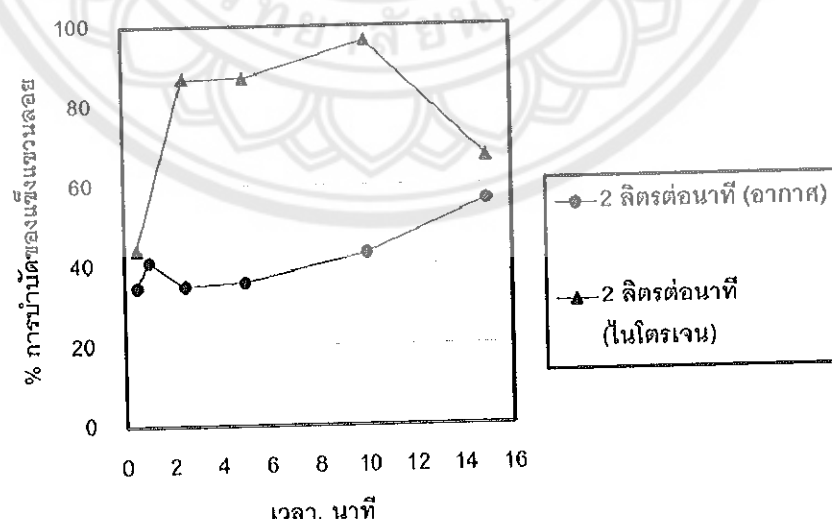
จากภาพ 54, ภาพ 55 และภาพ 56 พบว่าประสิทธิภาพการบำบัดจะลดลงเมื่ออัตราการเติมไนโตรเจนเพิ่มขึ้น โดยอัตราการเติมไนโตรเจนที่ 2 ลิตรต่อนาที ให้ประสิทธิภาพในการบำบัดดีที่สุด โดยให้ผลการบำบัดของแข็งแขวนลดอย่างหนัก น้ำมันในน้ำ และความชุนเท่ากับ 86%, 100% และ 87% ตามลำดับ โดยระยะเวลาในการบำบัดที่เหมาะสมคือตั้งแต่ 5 นาทีขึ้นไป

ประสิทธิภาพการบำบัดที่ลดลงเมื่ออัตราการเติมไนโตรเจนเพิ่มขึ้น เนื่องจากอัตราการไนโตรเจนที่สูงเกินไปทำให้เกิดความปนเปื้อน (G) ของการสัมผัสระหว่างฟองอากาศกับอนุภาคน้ำมัน และระยะเวลาในการสัมผัสรของฟองอากาศกับอนุภาคน้ำมันในคอกลั่มน้ำลดลง

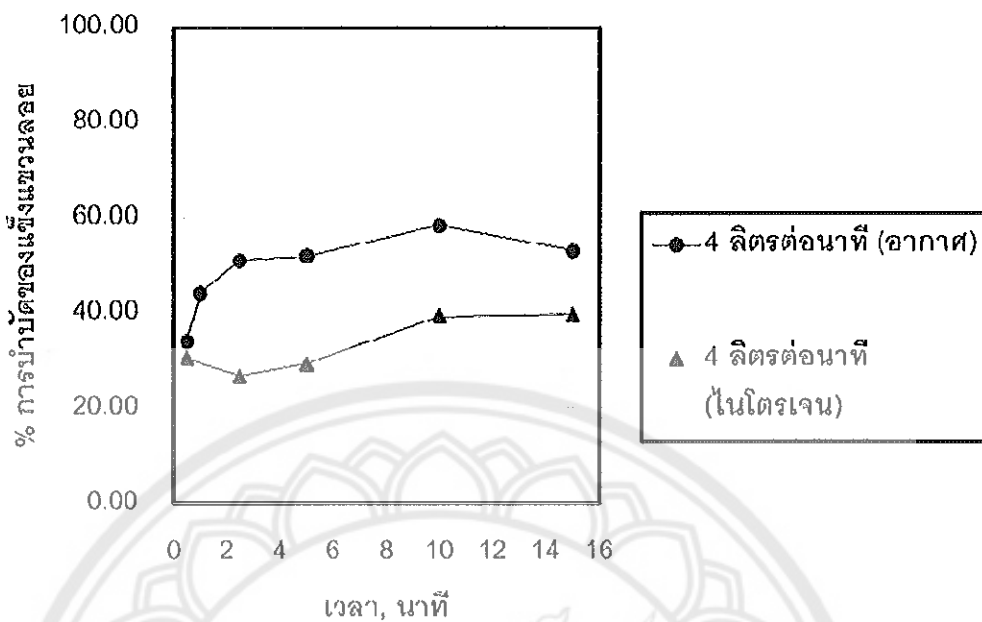
2. เปรียบเทียบประสิทธิภาพระหว่างการบำบัดโดยวิธีเติมอากาศและวิธีเติมไนโตรเจน

นำผลการทดลองจากหัวข้อที่ 1 และ 2 มาทำการสร้างกราฟเปรียบเทียบเปรียบเทียบประสิทธิภาพระหว่างการบำบัดค่าของแข็งแขวนลดอย่างหนักในน้ำ และความชุน โดยวิธีเติมอากาศและวิธีเติมไนโตรเจนที่อัตราการเติมก้าชต่างๆ กัน โดยทำการทดลองร่วมกับการเติมสารพอลิเมอร์ Optimer 7194 Plus

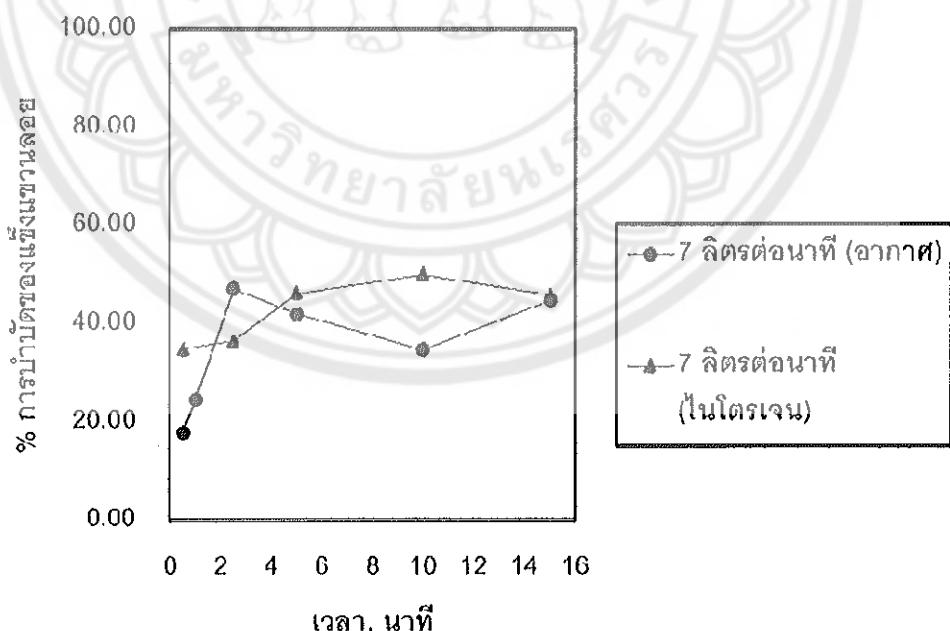
จากภาพ 57, ภาพ 58 และภาพ 59 พบว่าที่อัตราการเติมก้าช 2 ลิตรต่อนาที การบำบัดโดยการเติมไนโตรเจนจะให้ประสิทธิภาพการบำบัดของแข็งแขวนลดอย่างมากกว่าอากาศ โดยให้ผลตรงข้ามกับอัตราการเติมก้าช 4 ลิตรต่อนาที การบำบัดโดยการเติมอากาศจะให้ผลที่ดีกว่าการบำบัดโดยการเติมไนโตรเจน



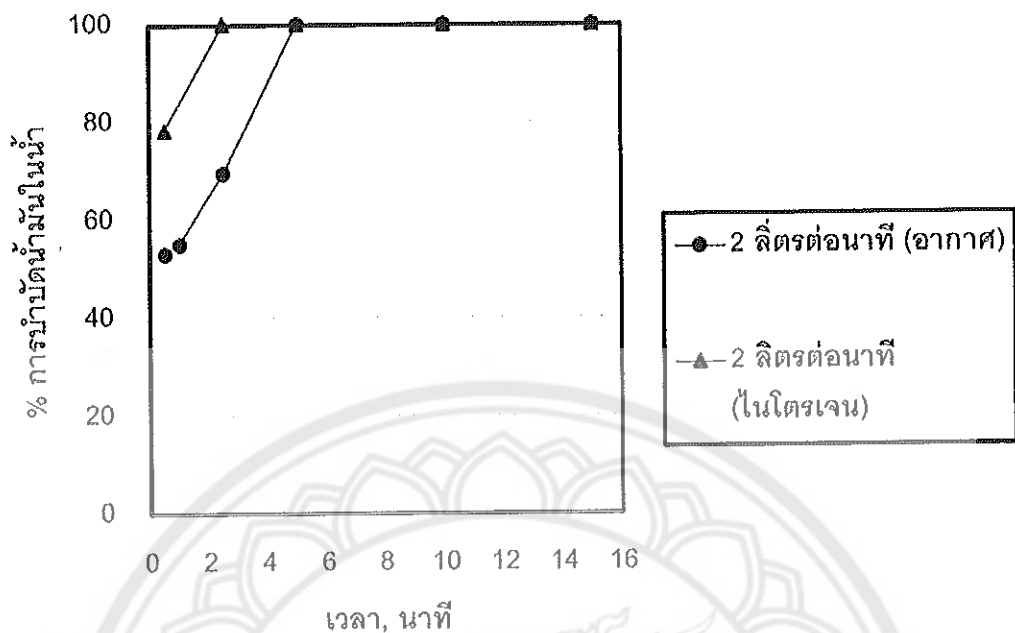
ภาพ 57 การเปรียบเทียบผลการบำบัดของแข็งแขวนลดอยระหว่างวิธีเติมอากาศและวิธีเติมไนโตรเจน ที่อัตราการเติมก้าช 2 ลิตรต่อนาทีตามลำดับ



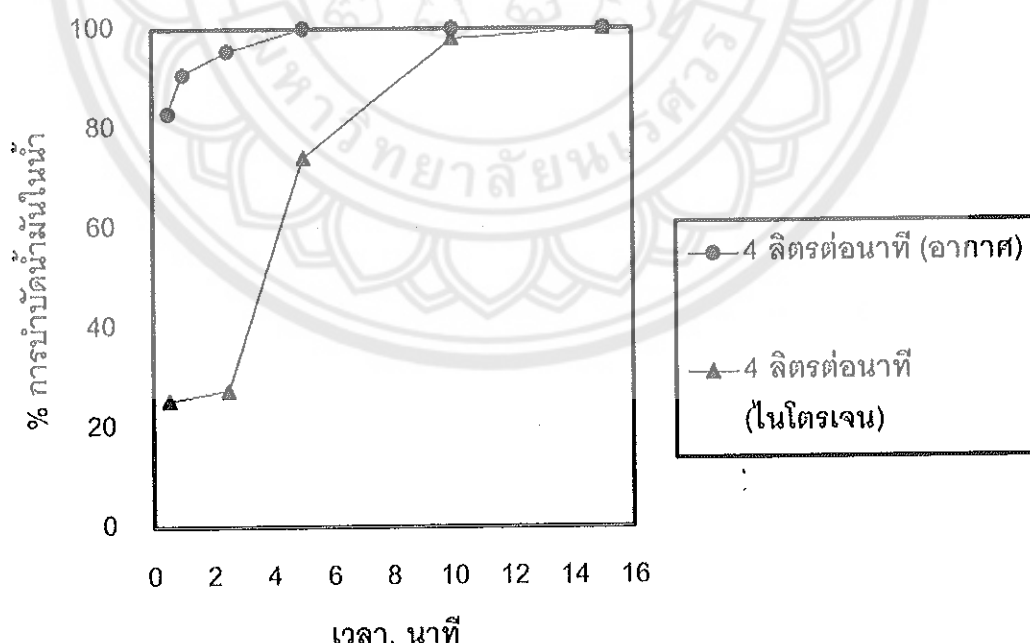
ภาพ 58 การเปรียบเทียบผลการบำบัดของเชิงแbewนลด้อยระหว่างวิธีเติมอากาศและวิธีเติมในไตรเจน ที่อัตราการเติมก๊าซ 4 ลิตรต่อน้ำที่ตามลำดับ



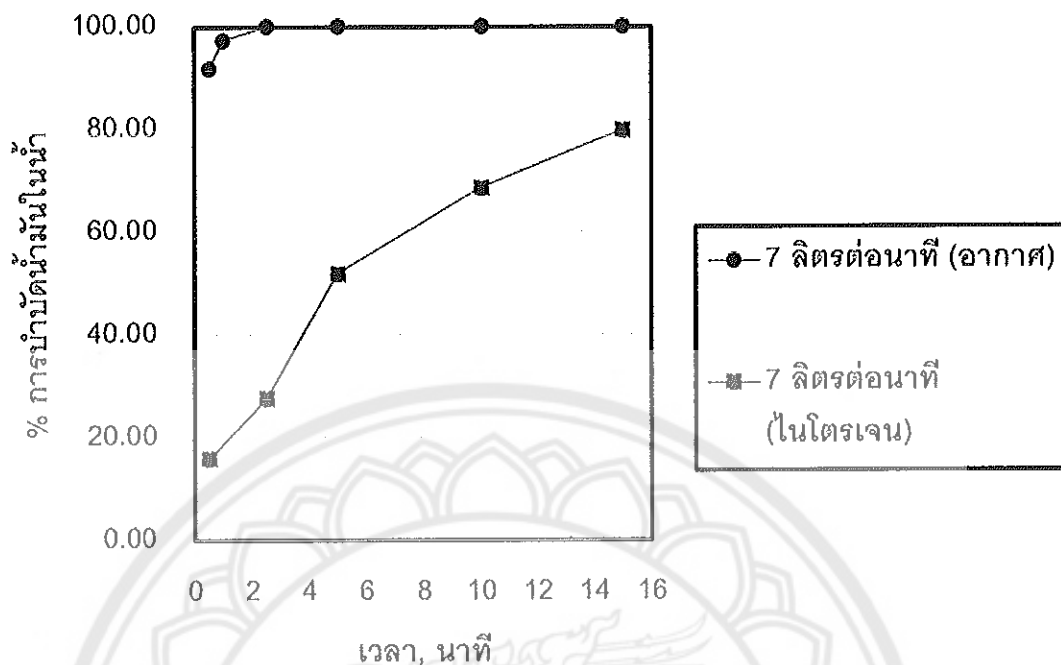
ภาพ 59 การเปรียบเทียบผลการบำบัดของเชิงแbewนลด้อยระหว่างวิธีเติมอากาศและวิธีเติมในไตรเจน ที่อัตราการเติมก๊าซ 7 ลิตรต่อน้ำที่ตามลำดับ



ภาพ 60 การเปรียบเทียบผลการบําน้ำมันในน้ำระหว่างวิธีเติมอากาศและวิธีเติมในໂຕຣຈັນ ที่อัตราการเติมกําช 2 ลิตรต่อนาทีตามลำดับ

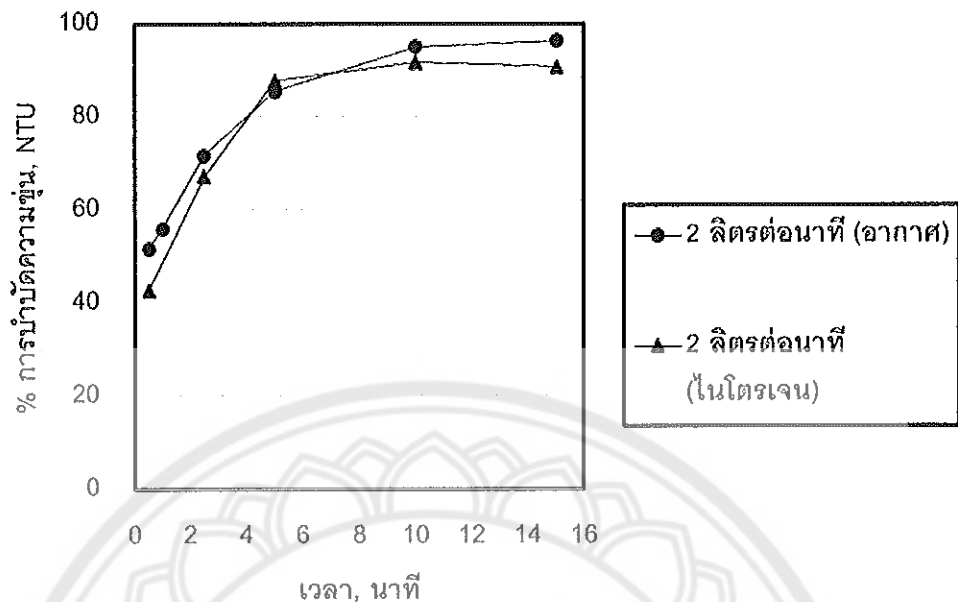


ภาพ 61 การเปรียบเทียบผลการบําน้ำมันในน้ำระหว่างวิธีเติมอากาศและวิธีเติมในໂຕຣຈັນ ที่อัตราการเติมกําช 4 ลิตรต่อนาทีตามลำดับ

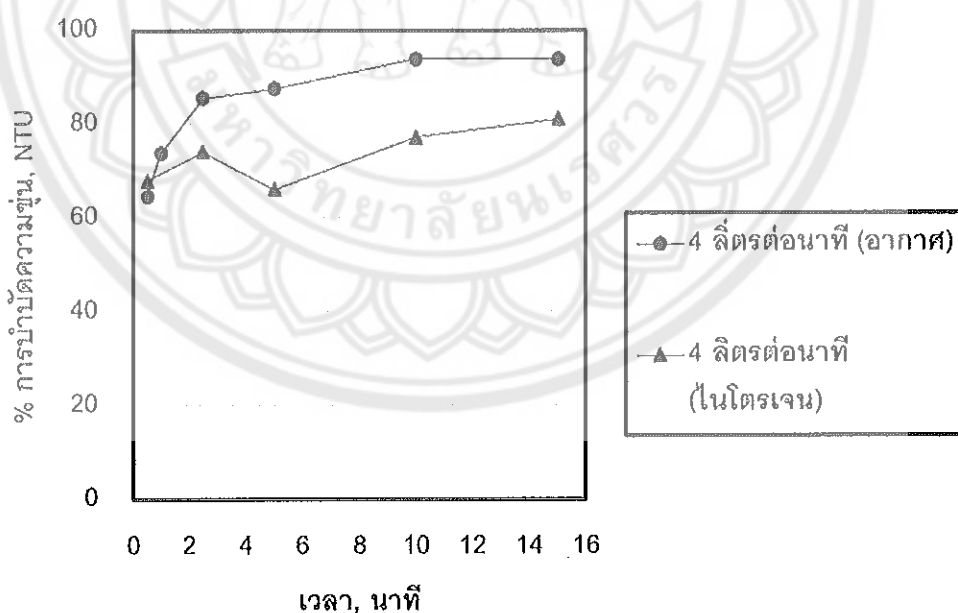


ภาพ 62 การเปรียบเทียบผลการนำบัดน้ำมันในน้ำระห่ำว่าวิธีเติมอากาศและ
วิธีเติมไนโตรเจน ที่อัตราการเติมกําช 7 ลิตรต่อนาทีตามลำดับ

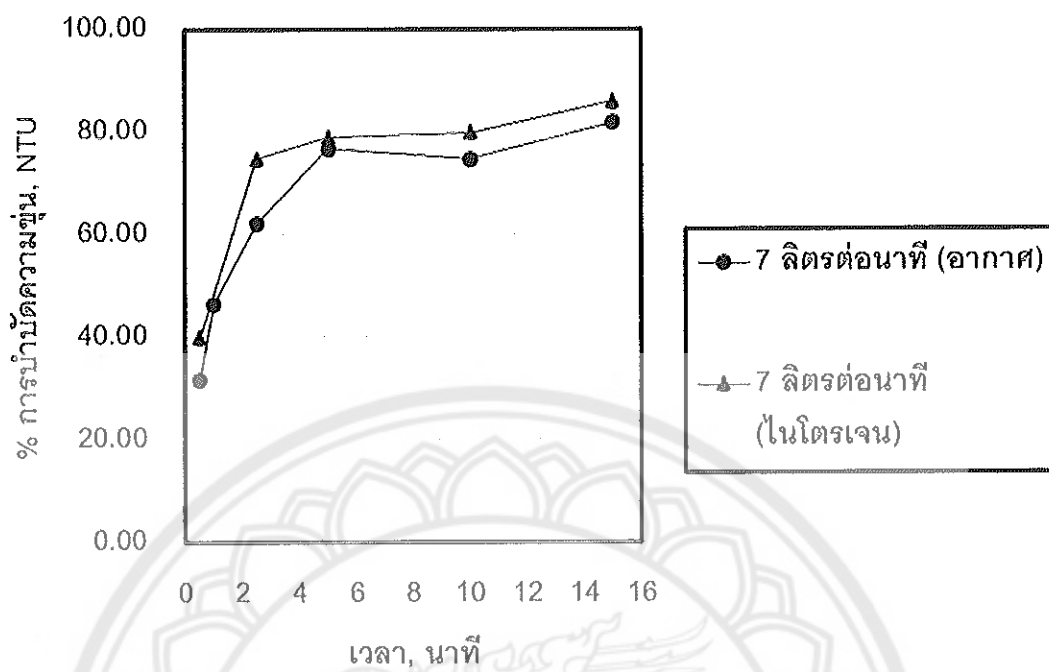
จากภาพ 60, ภาพ 61 และภาพ 62 พบว่าเมื่ออัตราการเติมอากาศเพิ่มขึ้นประสิทธิภาพ
ในการนำบัดน้ำมันในน้ำด้วยการเติมไนโตรเจนจะลดลงในขณะที่ ประสิทธิภาพในการนำบัดน้ำมันด้วย
การเติมอากาศให้ผลที่ค่อนข้างให้ผลคงที่ซึ่งมีแนวโน้มผลการนำบัดเป็นไปตามการนำบัดของแข็ง
แขวนลอย



ภาพ 63 การเปรียบเทียบผลการนำบัดความชุ่นระหว่างวิธีเติมอากาศและวิธีเติมไนโตรเจน ที่อัตราการเติมก๊าซ 2 ลิตรต่อนาทีตามลำดับ



ภาพ 64 การเปรียบเทียบผลการนำบัดความชุ่นระหว่างวิธีเติมอากาศและวิธีเติมไนโตรเจน ที่อัตราการเติมก๊าซ 4 ลิตรต่อนาทีตามลำดับ



ภาพ 65 การเปรียบเทียบผลการบำบัดความชื้นระหว่างวิธีเติมอากาศและวิธีเติมในโถเร้น ที่อัตราการเติมก๊าซ 7 ลิตรต่อนาทีตามลำดับ

จากภาพ 57 ถึงภาพ 65 พบร่วมกับอัตราการเติมในโถเร้นที่มากเกินไปจะทำให้การไหลของก๊าซในถังปฏิกรณ์ที่บีบปวนเกินไป สงผลให้ฟลักซ์ที่ได้ไม่มีเสถียรภาพและกลับฟังกระหายอยู่ในระบบ ซึ่งตรงข้ามกับการเติมอากาศ เนื่องจากการเติมอากาศ สารเพอร์โซสที่มีอยู่ในน้ำจะทำปฏิกิริยากับออกซิเจน เปลี่ยนไปเป็นเพอร์ออกไซด์ ประกอบกับในสารละลายมีคลอไรด์ละลายอยู่เป็นจำนวนมาก หากระบบจึงเบรี่ยบ剩มีการเติมสารเพอร์ออกไซด์ ซึ่งเป็นสารโคเอกกุแลนท์เอดและจากงานวิจัยที่ผ่านมาได้ศึกษาระบวนการโคเอกกุเลชันร่วมกับการเติมอากาศ พบว่าสารโคเอกกุแลนท์สามารถช่วยเพิ่มประสิทธิภาพกระบวนการบันดาลน้ำมันได้สูงขึ้น



ภาพ 66 ลักษณะของน้ำตัวอย่างเมื่อสัมผัสรักบออกซิเจนเปรียบเทียบกับไม่สัมผัสรักบออกซิเจน

จากภาพ 66 แสดงลักษณะของน้ำตัวอย่างเมื่อสัมผัสรักบออกซิเจนเปรียบเทียบกับไม่สัมผัสรักบออกซิเจน พบว่า น้ำตัวอย่างที่สัมผัสรักบออกซิเจนมีการเปลี่ยนสีจากสีดำไปเป็นสีเหลือง ซึ่งเกิดจากปฏิกิริยาออกซิเดชันของเฟอร์รัส (Fe^{2+}) เปลี่ยนไปเป็นเฟอร์ริก (Fe^{3+}) ซึ่งสนับสนุนสมุติฐานของ การบำบัดที่ดีกว่าเนื่องจากเปรียบเสมือนมีการเติมสารเฟอร์ริกคลอไรด์ เมื่อตัวอย่างสัมผัสรักบออกซิเจน

จากการทดลองเปรียบเทียบประสิทธิภาพระหว่างการบำบัดโดยวิธีเติมอากาศและวิธีเติมไนโตรเจน สามารถสรุปประสิทธิภาพการบำบัดได้ดังนี้

1. วิธีเติมไนโตรเจนให้ประสิทธิภาพการบำบัดดีที่สุดที่อัตรา 2 ลิตรต่อนาที

2. วิธีเติมอากาศให้ประสิทธิภาพการบำบัดดีที่สุดที่อัตรา 4 ลิตรต่อนาที

3. อัตราการเติมก๊าซที่ 7 ลิตรต่อนาที พนจ่ามีความปั่นป่วนมากเกินไปจึงไม่เหมาะสมที่จะนำมาใช้ในการบำบัด

ผลการศึกษาค่าสัดส่วนปริมาณอากาศต่อปริมาณสารแขวนลอย (มิลลิลิตรอากาศต่อมิลลิกรัมสารแขวนลอย)

A/S คือ ค่าอัตราส่วนระหว่างปริมาณอากาศต่อปริมาณสารแขวนลอย สามารถหาได้จากสมการดังนี้

$$\frac{A}{S} = \frac{1.3s_a(f.P - 1)R}{s_a.Q}$$

s_a	=	ปริมาณอากาศที่ละลายน้ำในน้ำ (มิลลิลิตรต่อน้ำที่)
S_a	=	ความเข้มข้นของสารแขวนลอย (มิลลิกรัมต่อลิตร)
f	=	ประสิทธิภาพที่อากาศสามารถละลายในน้ำ
P	=	ค่าความดันอากาศ (atm)
R	=	อัตราการให้ดูของน้ำผ่านปืน (ลิตรต่อนาที)
Q	=	อัตราการให้ดูของน้ำเสีย (ลิตรต่อนาที)

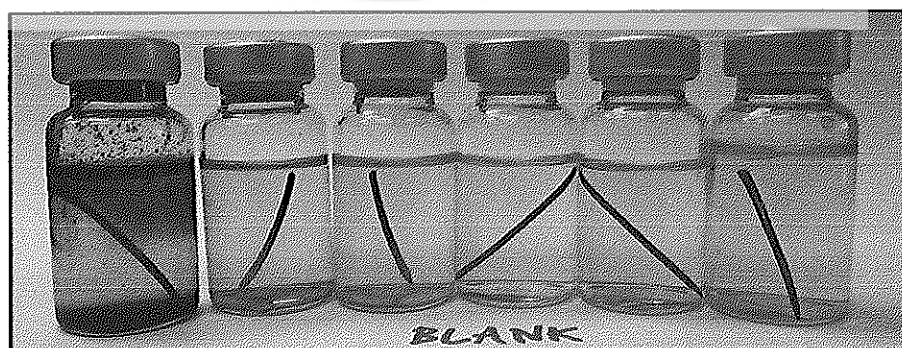
ตาราง 11 สรุปผลการศึกษาค่าสัดส่วนปริมาณอากาศต่อปริมาณสารแขวนลอยที่เหมาะสม

ก้าช	อัตราการเติมก้าช, A (มิลลิลิตรต่อน้ำที่)	ของแข็งแขวนลอย, S (มิลลิกรัมต่อลิตร)	A/S (มิลลิลิตรอากาศต่อมิลลิกรัม ของแข็งแขวนลอย)
ในโรงเจน	2000	65	30.7
อากาศ	4000	65	61.5

จากตาราง 11 พบว่าอัตรา A/S ที่เหมาะสมสำหรับนำบัดน้ำ Produced water ด้วยวิธีการเติมในโรงเจนและอากาศ ร่วมกับสารพอกลิเมอร์ คือ 30.7 และ 61.5 ตามลำดับ

ศึกษาประสิทธิภาพการกำจัดแบคทีเรียนิดต่างๆ โดยใช้หัวเติมอากาศที่มีขนาดความพรุนแตกต่างกัน

การหาปริมาณชัลเฟต์รีดิวชิงแบคทีเรียหรือเอกสารบีแบคทีเรียก่อนนำบัดด้วยวิธี Serial Dilution ผลการทดลองตามภาพ 67



ภาพ 67 ผลการหาปริมาณชัลเฟต์รีดิวชิงแบคทีเรียของน้ำตัวอย่าง

จากภาพ 67 พบว่ามีปริมาณแอกซ์โซร์บีแบคที่เรียในน้ำเสียของระบบปิด 10 แบคที่เรียต่อปริมาณน้ำ 1 มิลลิลิตร

การหาปริมาณแบคที่เรียสร้างกรด (acid forming bacteria) ก่อนการนำบัด ด้วยวิธี Serial Dilution ผลการทดลองตามภาพ 68

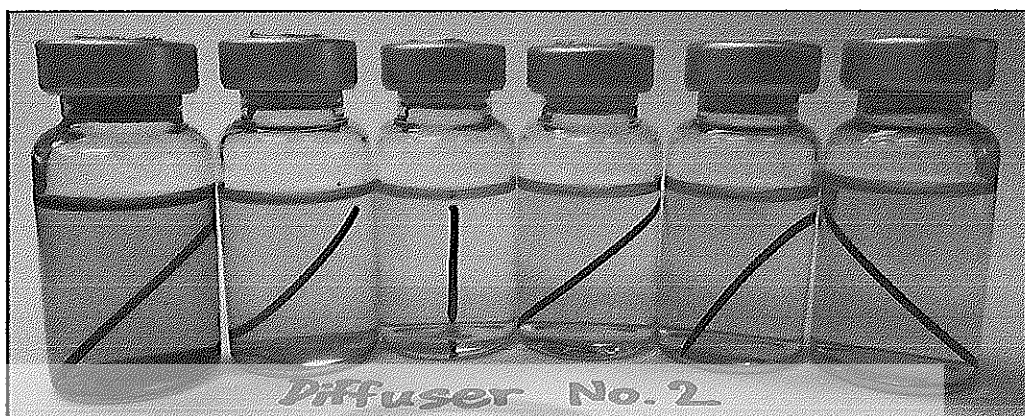


ภาพ 68 ผลการหาปริมาณแบคที่เรียสร้างกรดของน้ำตัวอย่าง

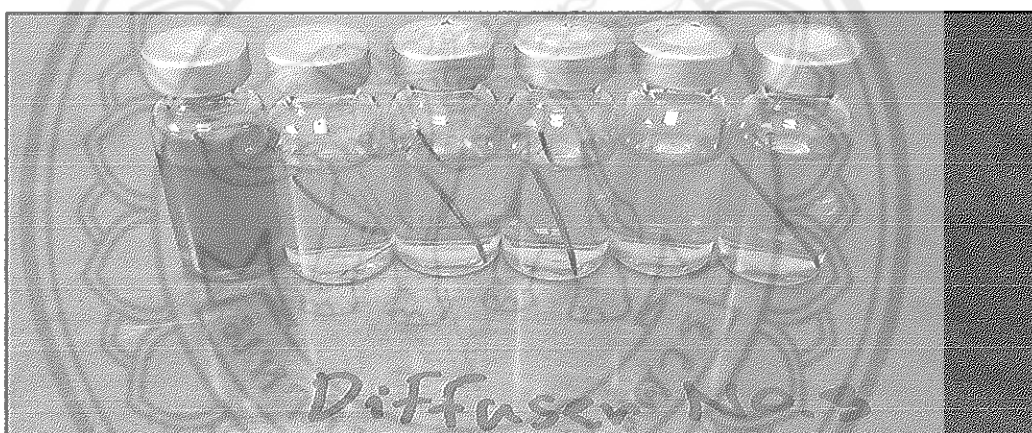
จากภาพ 68 พบว่ามีปริมาณแอกซ์โซร์บีแบคที่เรีย 1000 แบคที่เรียต่อปริมาณน้ำ 1 มิลลิลิตร

ผลการหาปริมาณชัลเฟต์ดิวชิงแบคที่เรียหลังการนำบัดด้วยการเติมอากาศ โดยใช้หัวเติมอากาศที่มีขนาดความพูนแตกต่างกัน

ทำการทดลองนำบัดน้ำเสียในระบบอุตสาหกรรมขนาด 1 ลิตร ใช้หัวเติมอากาศเบอร์ 2 และเบอร์ 3 ตามลำดับ กำหนดอัตราการเติมอากาศที่ 4 ลิตรต่อนาที และแปรผันระยะเวลาในการทดลอง 10 นาที กำหนดความเข้มข้นของสาร Optimer 7194 Plus ที่ 5 พีพีเอ็ม เมื่อทำการทดลองเสร็จทิ้งให้ตกละกอนเป็นเวลา 10 นาที นำน้ำตัวอย่างหลังนำบัดปริมาณ 1 มิลลิลิตร มาทำการหาปริมาณชัลเฟต์ดิวชิงแบคที่เรียด้วยวิธี Serial Dilution ผลการทดลองตามภาพ 69



ภาพ 69 ผลการหาปริมาณชั้ลเฟต์รีดิวชิ่งแบคที่เรียข่องน้ำตัวอย่างหลังนำบัดด้วยวิธีเติมอากาศโดยใช้หัวเติมอากาศเบอร์ 2



ภาพ 70 ผลการหาปริมาณชั้ลเฟต์รีดิวชิ่งแบคที่เรียข่องน้ำตัวอย่างหลังนำบัดด้วยวิธีเติมอากาศโดยใช้หัวเติมอากาศเบอร์ 3

จากภาพ 69 และภาพ 70 พนว่าหัวเติมอากาศเบอร์ 2 และเบอร์ 3 ให้ผลการนำบัดเท่ากัน โดยสามารถแปลผลเป็นปริมาณแบคที่เรียในน้ำเสียของระบบปิด 10 แบคที่เรียต่อปริมาณน้ำ 1 มิลลิลิตร และเมื่อเปรียบเทียบปริมาณแบคที่เรียกับน้ำก่อนนำบัดพบว่าการเติมอากาศด้วยหัวเติมอากาศเบอร์ 2 และเบอร์ 3 ไม่สามารถกำจัดแบคที่เรียได้

ผลการหาปริมาณแบคที่เรียสร้างกรดหลังการนำบัดด้วยการเติมอากาศ โดยใช้หัวเติมอากาศที่มีขนาดความพ Rubinแตกต่างกัน

ทำการทดลองโดยใช้ตัวอย่างผลการทดลองตามภาพ 71



ภาพ 71 ผลการหาปริมาณเบคที่เรียสร้างกรดของน้ำตัวอย่างหลังนำบัดด้วย
วิธีเติมอากาศโดยใช้หัวเติมอากาศเบอร์ 2



ภาพ 72 ผลการหาปริมาณเบคที่เรียสร้างกรดของน้ำตัวอย่างหลังนำบัดด้วย
วิธีเติมอากาศโดยใช้หัวเติมอากาศเบอร์ 3

จากภาพ 71 และภาพ 72 พบว่าหัวเติมอากาศเบอร์ 3 ให้ผลการบำบัดแบคทีเรียสร้างกรดตีกกว่า หัวเติมอากาศเบอร์ 2 อよุ 1 ขวด สามารถแปลผลการทดลองได้ดังนี้คือ หัวเติมอากาศเบอร์ 2 พบนริมาณแบคทีเรียหลังบำบัดแล้ว 1,000 แบคทีเรียต่อปริมาณน้ำ 1 มิลลิลิตร และหัวเติมอากาศเบอร์ 3 พบนริมาณแบคทีเรียหลังบำบัดแล้ว 100 แบคทีเรียต่อปริมาณน้ำ 1 มิลลิลิตร จากผลการทดลองข้างต้นพบว่าหัวเติมอากาศเบอร์ 3 สามารถกำจัดแบคทีเรียได้ 90 เปอร์เซ็นต์

ตาราง 12 สรุปผลการบำบัดแบคทีเรียจากวิธีเติมอากาศ

หัวเติมอากาศ	ประสิทธิภาพการบำบัด			
	เอกสารบี		แบคทีเรียสร้างกรด	
	No. Bacteria	% การกำจัด	No. Bacteria	% การกำจัด
ก่อนบำบัด	10	0	1000	0
No.2	10	0	1000	0
No.3	10	0	100	90

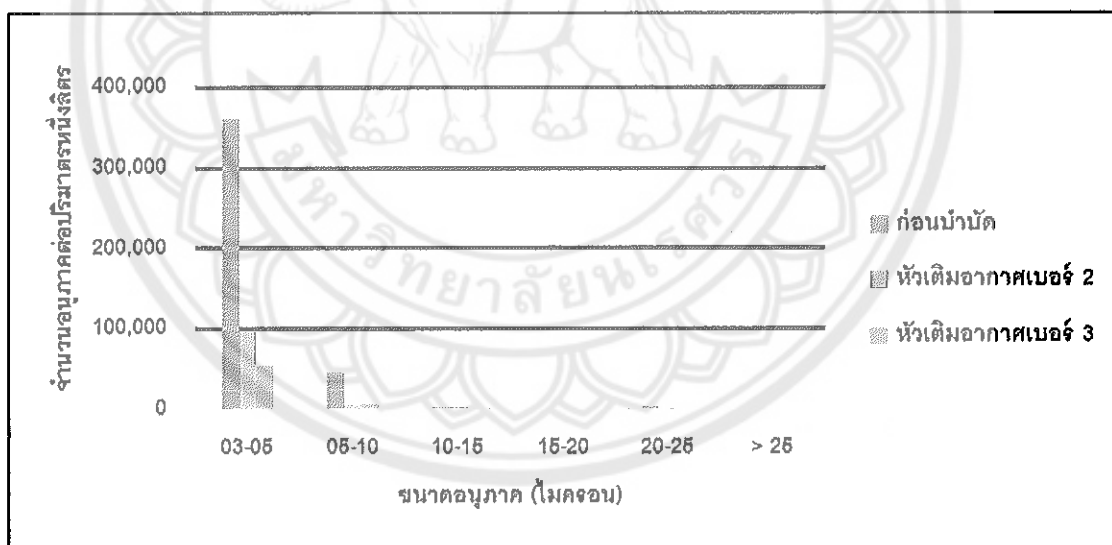
การกำจัดแบคทีเรียด้วยวิธี IAF ให้ประสิทธิภาพการกำจัดต่ำเนื่องจากไม่มีการเติมสารเคมี สำหรับฝ้าเชื้อแบคทีเรีย กลไกการกำจัดจึงอาศัยการ absorption-adsorption เท่านั้น สาเหตุที่หัวเติมอากาศเบอร์ 3 ให้ประสิทธิภาพการบำบัดแบคทีเรีย สร้างกรดได้ตีกกว่า หัวเติมอากาศเบอร์ 2 เนื่องจาก หัวเติมอากาศเบอร์ 3 ให้ฟองก๊าซที่มีความละเอียดมากกว่าจึงมีโอกาสสัมผัสกับอนุภาคแบคทีเรียได้มากกว่า แต่อย่างไรก็ตามสามารถสรุปได้ว่าวิธีการเติมอากาศอย่างเดียวโดยไม่เติมสารเคมีฆ่าเชื้อ แบคทีเรียไม่สามารถกำจัดแบคทีเรียได้ โดยผลการทดลองที่ได้จะนำไปเปรียบเทียบผลกับการบำบัดนำ้ด้วยวิธี EF ต่อไป

ศึกษาประสิทธิภาพการบำบัด อนุภาคแขวนลอย (particle size distribution) โดยใช้หัวเติมอากาศที่มีขนาดความพุ่นแตกต่างกัน

ทำการทดลองบำบัดนำ้เสียในกระบวนการทางขนาด 1 ลิตร ให้หัวเติมอากาศเบอร์ 2 และเบอร์ 3 ตามลำดับ กำหนดอัตราการเติมอากาศที่ 4 ลิตรต่อนาที และประเมินระยะเวลาในการทดลอง 10 นาที กำหนดความเข้มข้นของสาร Optimer 7194 Plus ที่ 5 พีพีเอ็ม เมื่อทำการทดลองเสร็จทิ้งให้ตกตะกอนเป็นเวลา 10 นาที นำนำ้ตัวอย่างหลังบำบัดปริมาณ 1 มิลลิลิตร ทำการหาจำนวนอนุภาคแขวนลอยในนำ้เสียหลังบำบัด ด้วยเครื่อง Backman Z1 ได้ผลการทดลองดังตาราง 13

ตาราง 13 จำนวนอนุภาคแขวนลอยในน้ำเสียก่อนบำบัดและหลังบำบัดด้วยวิธี IAF โดยใช้หัวเติมอากาศที่มีขนาดความพруนแตกต่างกัน วิเคราะห์ด้วยเครื่อง Backman Z1

หัวเติมอากาศ	ก่อนบำบัด	No.2	No.3
ขนาดอนุภาค (ไมโครเมตร)	จำนวนอนุภาค	จำนวนอนุภาค	จำนวนอนุภาค
3-5	361,400	98,000	53,800
5-10	44,800	5,200	5,800
10-15	2,000	800	800
15-20	0	0	0
20-25	200	0	0
> 25 μm .	0	0	0
% of particle < 5 μm .	88.49	94.23	89.07
No. of particle > 5 μm .	47,000	6,000	6,600



ภาพ 73 จำนวนอนุภาคแขวนลอยในน้ำเสียก่อนบำบัดและหลังบำบัดด้วยวิธี IAF โดยใช้หัวเติมอากาศที่มีขนาดความพูนแตกต่างกัน วิเคราะห์ด้วยเครื่อง Backman Z1

ตาราง 14 ประสิทธิภาพการทำจัดอนุภาคแขวนลอยโดยใช้หัวเติมอากาศที่มีขนาดความพ Rubinแตกต่างกัน

หัวเติมอากาศ ขนาดอนุภาค (ไมโครเมตร)	No.2 เบอร์เชิงการทำจัด	No.3 เบอร์เชิงการทำจัด
< 5 μm.	73	85
> 5 μm.	87	86

จากตาราง 13 และตาราง 14 พบว่าประสิทธิภาพการทำบัดอนุภาคขนาด < 5 μm. จะเพิ่มขึ้นเมื่อใช้หัวเติมอากาศที่มีความพ Rubinสูง เนื่องจากฟองกําชที่มีปริมาณมากกว่าและละเอียดกว่า ของหัวเติมอากาศเบอร์ 3 สามารถยึดติดและพาเข้าอนุภาคที่มีขนาด < 5 μm. ชื่นสูญเสียได้ถึกกว่า ในขณะที่ประสิทธิภาพการทำบัดอนุภาคขนาด > 5 μm. จะไม่แตกต่างกันอย่างมีนัยสำคัญนักเพิ่มขนาดความพ Rubinของหัวเติมอากาศ

ศึกษาพารามิเตอร์แคทไอคอน แอนไอคอน ของน้ำก่อนและหลังการทำบัดด้วยวิธี IAF

ทำการทดลองการทำบัดน้ำเสียในระบบอุตสาหกรรม 1 ลิตร ใช้หัวเติมอากาศเบอร์ 2 และเบอร์ 3 ตามลำดับ กำหนดอัตราการเติมอากาศที่ 4 ลิตรต่อนาที และเปลี่ยนระยะเวลาในการการทำบัด 10 นาที กำหนดความเริ่มขั้นของสาร Optimer 7194 Plus ที่ 5 พีพีเอ็ม เมื่อทำการทดลองเสร็จทิ้งให้ ตกตะกอนเป็นเวลา 10 นาที นำน้ำตัวอย่างก่อนและหลังการทำบัดมาวิเคราะห์โดยวิธี IAF ได้ผลดังตาราง 15

ตาราง 15 พารามิเตอร์แคทไอคอน แอนไอคอน ของน้ำก่อนและหลังการทำบัดด้วย วิธี IAF

พารามิเตอร์	ก่อนบัด	หลังบัด
โซเดียมไอคอน (Na^+)	8801.6 (mg/l)	8344 (mg/l)
แคลเซียมไอคอน (Ca^{2+})		
	2000 (mg/l)	1800 (mg/l)
แมกนีเซียมไอคอน (Mg^{2+})		
เหล็กไอคอน (Fe^{3+} & Fe^{2+})	5.05 (mg/l)	1.0 (mg/l)

ตาราง 15 (ต่อ)

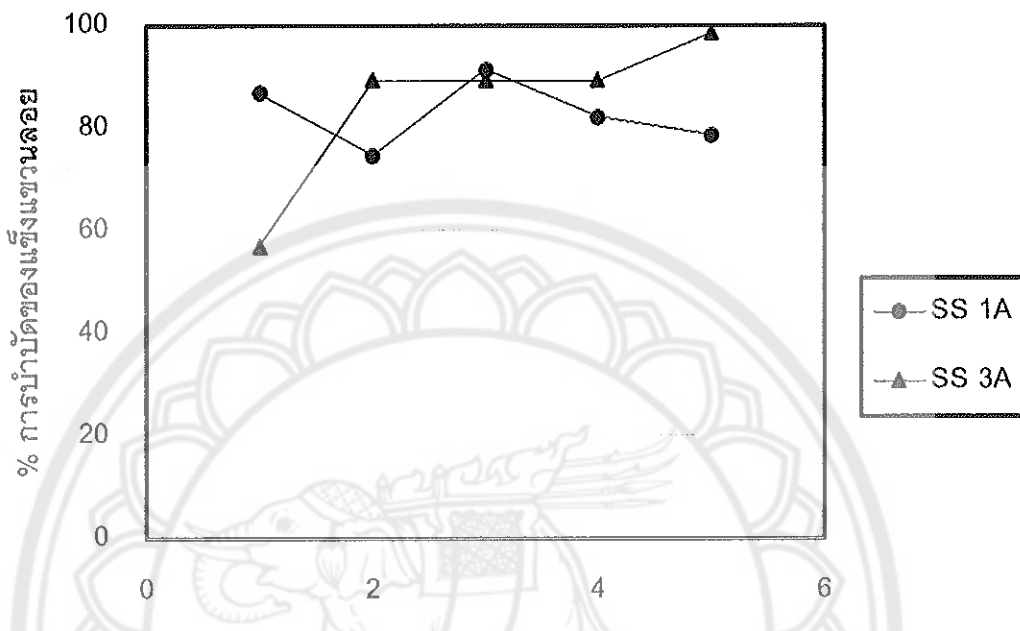
พารามิเตอร์	ก่อนนำน้ำด	หลังนำน้ำด
เหล็กไอออน (Fe^{2+})	0.35 (mg/l)	0.51 (mg/l)
เบรี่มไอออน (Ba^{2+})	11	12
คลอไรด์ไอออน (Cl^-)	10,818	9,682
ซัลเฟตไอออน (SO_4^{2-})	0	0
ไบคาร์บอเนตไอออน (HCO_3^-)	0	0
คาร์บอเนตไอออน (CO_3^{2-})	0	474.9 (mg/l)
พีเอช	7.34	8
ค่าความชุน	89 NTU	13 NTU
ค่าคงที่	ปริมาณน้ำมันในน้ำ	93.8 mg/l
	ค่าของแข็งละลาย	27.58 mg/l
	ค่าการนำกระแสงไฟฟ้าของน้ำ	28.08
	ปริมาณซัลไฟด์	0.139 mg/l
	ค่าศีโอดี	1,268 mg/l
		1,154 mg/l

จากตาราง 15 พบร้าแคร์ไอออน และ แคนไอออน ก่อนและหลังทำปฏิริยาการเปลี่ยนแปลงสามารถวินิจฉัยได้ว่า การเติมอากาศจะส่งผลให้น้ำหลังนำน้ำดมีปริมาณคาร์บอเนท เพิ่มขึ้นเนื่องมาจากการละลายของคาร์บอนไดออกไซด์ในน้ำ ส่งผลให้เกิดการตกรากอนแคลตเชี่ยมคาร์บอเนทได้ดีขึ้น โดยจะสังเกตว่าปริมาณแคลตเชี่ยม แมกนีเซียมหลังนำน้ำดมีปริมาณลดลง น้ำหลังนำน้ำดมมีค่าความชุนลดลง และมีค่าพีเอชเพิ่มขึ้น

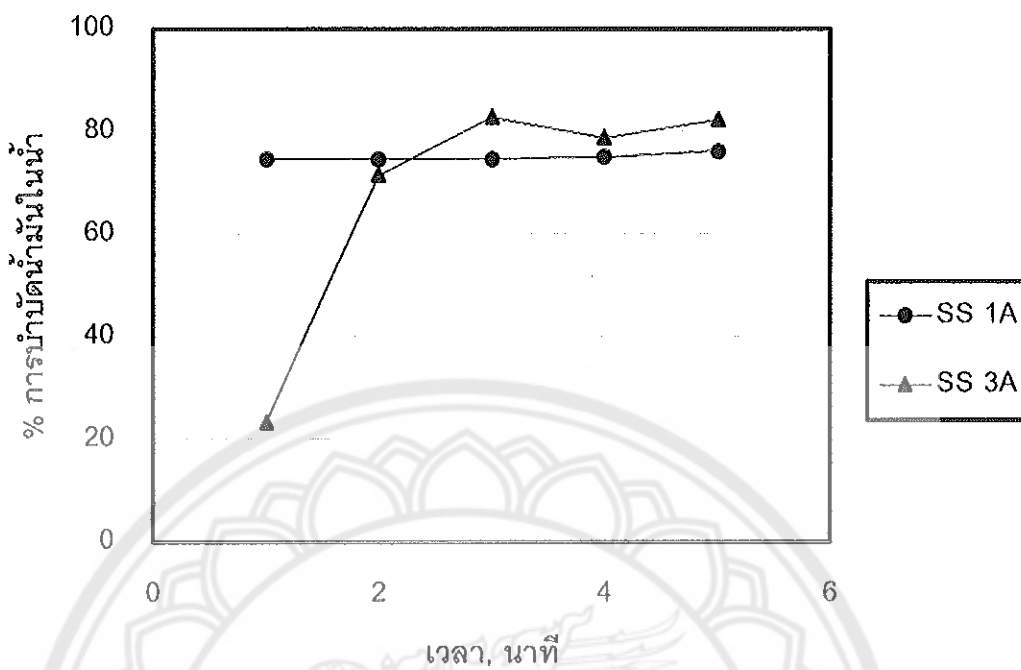
การนำน้ำเสียด้วยวิธีเล็กໂຕແອກງູແລ້ວໜີ່ (ECF) และອິເລັກໂຕໂຟລເທັນ (EF) ສຶກຫາປະສົບທີ່ການນຳມືດ້ານໍາເສີຍດ້ວຍວິທີເລັກໂຕແອກງູແລ້ວໜີ່ (ECF) ແລະອິເລັກໂຕໂຟລເທັນ (EF) ພັດທະນາຈາກການປະສົບທີ່ການນຳມືດ້ານໍາເສີຍດ້ວຍວິທີອິເລັກໂຕແອກງູແລ້ວໜີ່ໂຟລເທັນ ECF ແລະອິເລັກໂຕໂຟລເທັນ (EF) ພັດທະນາຈາກການປະສົບທີ່ການນຳມືດ້ານໍາເສີຍດ້ວຍວິທີອິເລັກໂຕແອກງູແລ້ວໜີ່ໂຟລເທັນ, ອຸ່ນມີເນື່ອມ, ແລັກ, BDD ພ້ອມທັງໝາຍພິມານໄພື້າ ແລະວະຍະເວລາທີ່ເໝາະສົມ

1. ກາຮ່າປົມານກະແສໄພື້າທີ່ເໝາະສົມ

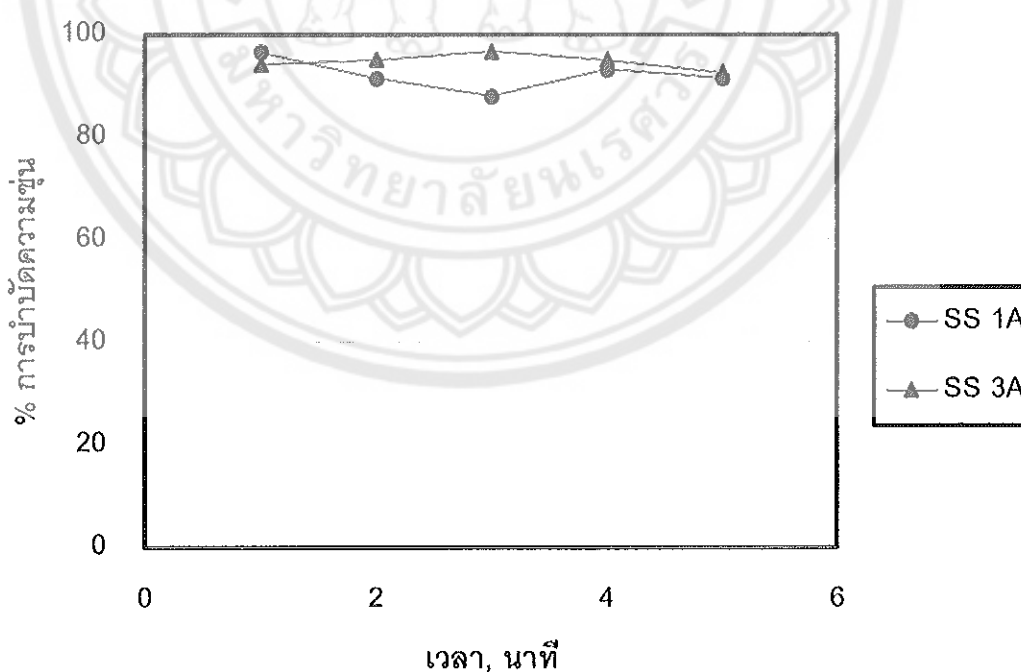
1.1 การหาปริมาณกระสไฟฟ้าที่เหมาะสมเมื่อใช้สเตนเลสเป็นอาโนด และสเตนเลสเป็น คาโทด



ภาพ 74 การหาปริมาณกระสไฟฟ้าที่เหมาะสมเมื่อใช้สเตนเลสเป็นอาโนดและคาก็อดโดยเปรียบเทียบประสิทธิภาพการบำบัดของเชิงแยลวนลอก



ภาพ 75 การหาปริมาณกระasseไฟฟ้าที่เหมาะสมเมื่อใช้สแตนเลสเป็นอaind และค่าโถดโดยเปรียบเทียบประสิทธิภาพการนำบัดน้ำมันในน้ำ



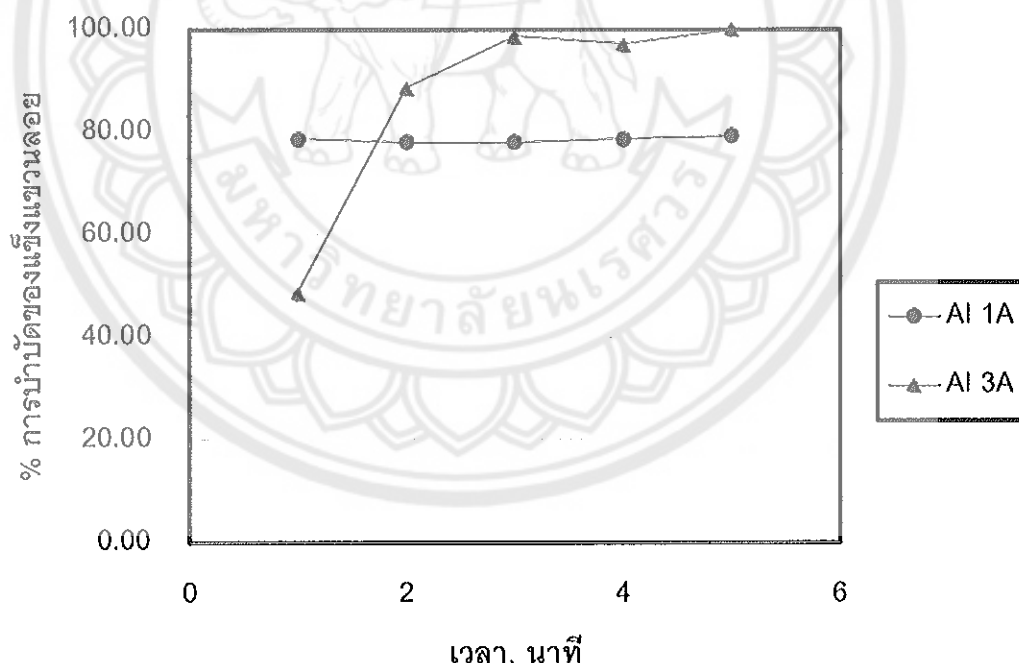
ภาพ 76 การหาปริมาณกระasseไฟฟ้าที่เหมาะสมเมื่อใช้สแตนเลสเป็นอaind และค่าโถดโดยเปรียบเทียบประสิทธิภาพการนำบัดความชื้น

จากภาพ 74 พบร่วมกับใช้แสตโนแลสเป็นอาในด และค่าトイด ซึ่งเป็นอิเล็กโทรดชนิดละลายน้ำที่มีความไวต่อสารเคมีอย่างต่อเนื่อง ให้ประสิทธิภาพการบำบัดแปรผันตามปริมาณกราฟฟิค คือกราฟฟิคที่ 3 แอมเปอร์จะให้ประสิทธิภาพการบำบัดที่ดีกว่าที่ 1 แอมเปอร์ ให้ประสิทธิภาพในการบำบัดของแข็งละลายที่มากกว่า 95 % ที่เวลาในการทำปฏิกิริยา 5 นาที

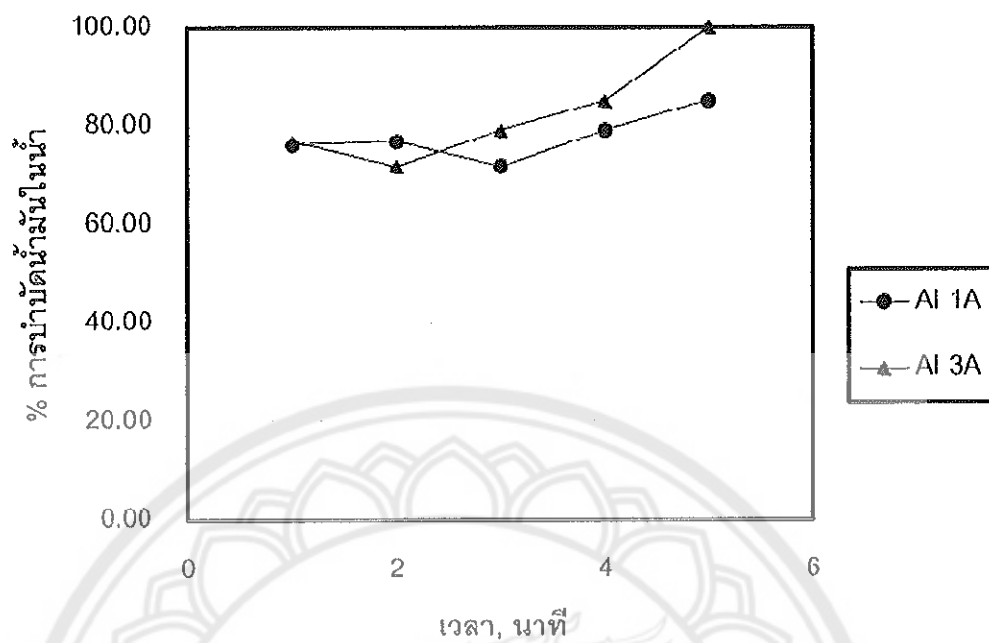
จากภาพ 75 พบร่วมกับใช้แสตโนแลสเป็นอาในด ในน้ำจะเป็นแปรผันตามปริมาณกราฟฟิคและระยะเวลา คือกราฟฟิคที่ 3 แอมเปอร์จะให้ประสิทธิภาพการบำบัดที่ดีกว่าที่ 1 แอมเปอร์ เนื่องจากกราฟฟิคที่ 3 แอมเปอร์สามารถผลิตฟองก๊าซได้มากกว่า และพบว่าการให้ระยะเวลาในการปล่อยกราฟฟิคที่นานขึ้นก็จะทำให้การบำบัดน้ำมันในน้ำดีขึ้น

จากภาพ 76 พบร่วมกับใช้แสตโนแลสเป็นอาในด คือกราฟฟิคที่ 3 แอมเปอร์จะให้ประสิทธิภาพการบำบัดที่ดีกว่าที่ 1 แอมเปอร์โดยให้ประสิทธิภาพการบำบัดความชื้นที่มากกว่า 95%

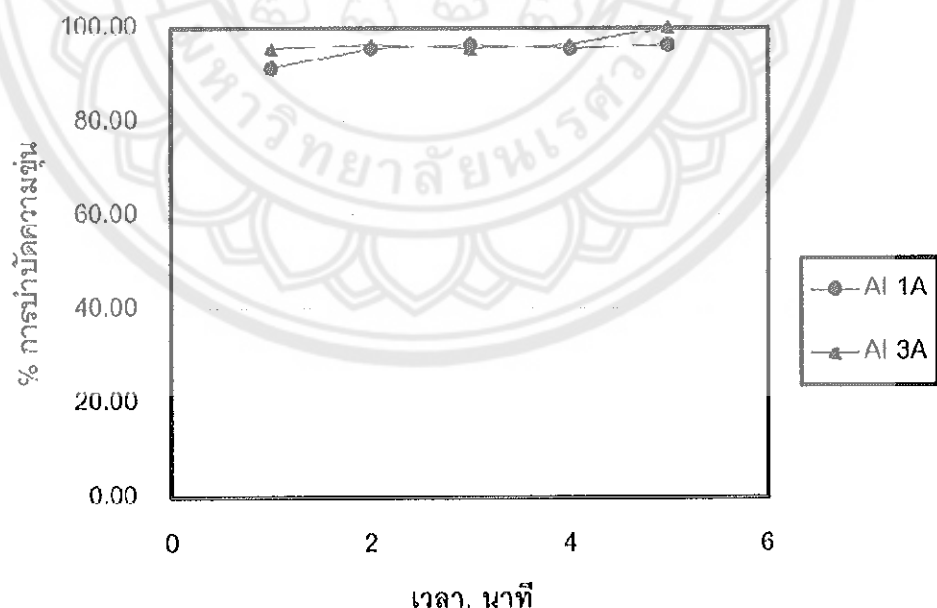
1.2 การหาปริมาณกราฟฟิคที่เหมาะสมเมื่อใช้อัลูมิเนียมเป็นอาในดและค่าトイด



ภาพ 77 การหาปริมาณกราฟฟิคที่เหมาะสมเมื่อใช้อัลูมิเนียมเป็นอาในดและค่าトイดโดยเปรียบเทียบประสิทธิภาพการบำบัดของแข็งแขวนลอย

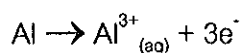


ภาพ 78 การหาปริมาณกระแสรไฟฟ้าที่เหมาะสมเมื่อใช้อุปกรณ์เป็นออนไลน์และค่าโดยสารโดยเปรียบเทียบประสิทธิภาพการนำบัดน้ำมันในน้ำ

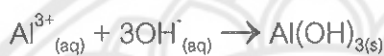


ภาพ 79 การหาปริมาณกระแสรไฟฟ้าที่เหมาะสมเมื่อใช้อุปกรณ์เป็นออนไลน์และค่าโดยสารโดยเปรียบเทียบประสิทธิภาพการนำบัดความชื้น

จากภาพ 77 พบว่าผลการบำบัดของเข็งแขวนลอยจะเปลี่ยนตามปริมาณการปล่อยกราดไฟฟ้าและระยะเวลา คือเมื่อให้กราดไฟฟ้าปริมาณมากขึ้น และนานขึ้น ทำให้ประสิทธิภาพในการบำบัดจะดีขึ้น เมื่อพิจารณาปฏิกิริยาที่เกิดขึ้นที่ขั้วอะโนดดังนี้



ที่พีเอชต่ำกว่า 7



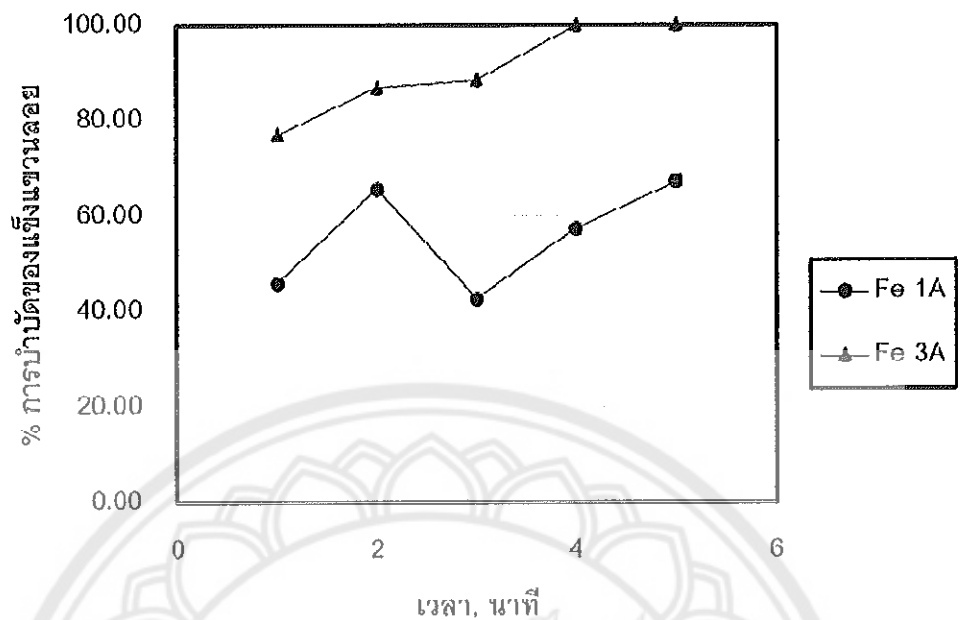
ที่พีเอชต่ำกว่า 7



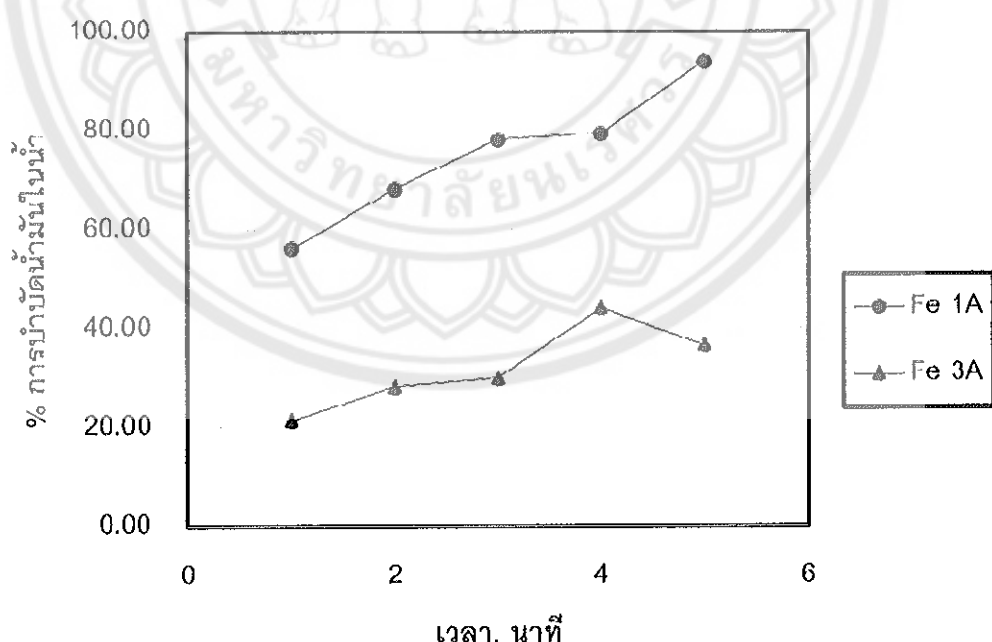
จากผลการทดลองและปฏิกิริยาที่เกิดขึ้น สามารถอธิบายได้ว่า เมื่อขั้วอะโนดละลายทำให้เกิด Al^{3+} ผสมให้เกิดกลไกการลดความหนาของชั้นกราด โดยให้ประสิทธิภาพของการบำบัดมากกว่า 95% จากภาพ 78 พบว่าประสิทธิภาพการบำบัดน้ำมันในน้ำจะเป็นแปรผันตามปริมาณกราดไฟฟ้าและระยะเวลา คือกราดไฟฟ้าที่ 3 แเอมแปรร์จะให้ประสิทธิภาพการบำบัดที่ดีกว่าที่ 1 แเอมแปรร์ เนื่องจากกราดไฟฟ้าที่ 3 แเอมแปรร์สามารถผลิตฟองกําชาได้มากกว่า และพบว่าการทำระยะเวลาในการปล่อยกราดไฟฟ้าที่นานขึ้นก็จะทำให้การบำบัดน้ำมันในน้ำดีขึ้น

จากภาพ 79 พบว่าการบำบัดความชุนจะเปลี่ยนตามปริมาณกราดไฟฟ้า คือกราดไฟฟ้าที่ 3 แเอมแปรร์จะให้ประสิทธิภาพการบำบัดที่ดีกว่าที่ 1 แเอมแปรร์โดยให้ประสิทธิภาพการบำบัดความชุนที่มากกว่า 95%

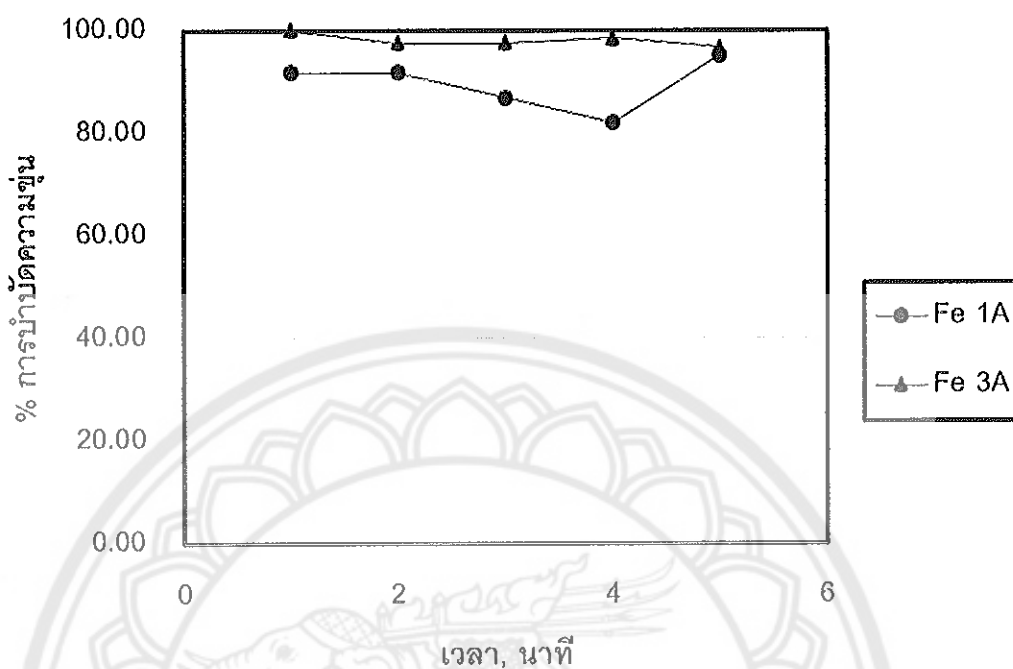
1.3 การหาปริมาณกราดไฟฟ้าที่เหมาะสมเมื่อให้เหล็กเป็นอะโนด และคาโทด



ภาพ 80 การหาปริมาณกระแสงไฟฟ้าที่เหมาะสมเมื่อใช้เหล็กเป็นอะโนดและคาโทด โดยเปรียบเทียบประสิทธิภาพการบำบัดของเชิงแหวนลอย น้ำมันในน้ำ และความชุ่น



ภาพ 81 การหาปริมาณกระแสงไฟฟ้าที่เหมาะสมเมื่อใช้เหล็กเป็นอะโนด และเป็นคาโทดโดยเปรียบเทียบประสิทธิภาพการบำบัดของเชิงแหวนลอยน้ำมัน ในน้ำและความชุ่น

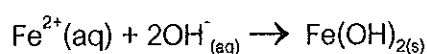


ภาพ 82 การหานิรmanกระแสไฟฟ้าที่เหมาะสมเมื่อใช้เหล็กเป็นออนไลน์และคาดให้โดยเปรียบเทียบประสิทธิภาพการบ้าบัดของแข็งแหวนโลยกันในน้ำและความชุ่น

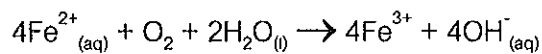
จากภาพ 80 พบรผลการบ้าบัดของแข็งแหวนโลยกะเปลผันตามปริมาณการปล่อยกระแสไฟฟ้าและระยะเวลา คือเมื่อให้กระแสไฟฟ้าปริมาณมากขึ้น และนานขึ้น ทำให้ประสิทธิภาพในการบ้าบัดจะดีขึ้น เมื่อพิจารณาปฏิกิริยาที่เกิดขึ้นที่ข้าวainเดดังนี้



ที่พีเอชสูงกว่า 7



ที่พีเอชต่ำกว่า 7

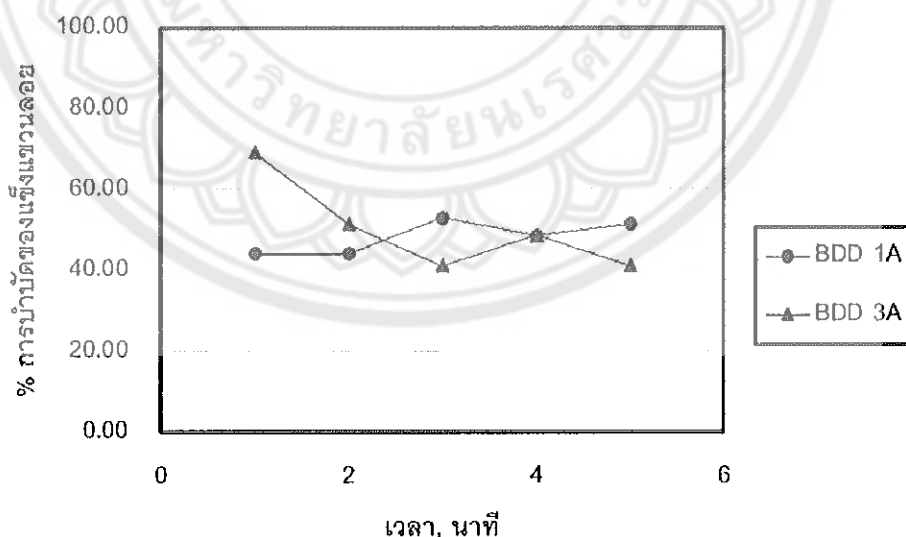


จากผลการทดลองและปฏิกริยาที่เกิดขึ้น สามารถอธิบายได้ว่า เมื่อชั่วโมงเดลลายทำให้เกิด Fe^{2+} และ Fe^{3+} ออกหั้งลักษณะทางกายภาพของน้ำ produced water ที่มีปริมาณคลอร์ ppm 10,000 มล./ล. เมื่อรวมกับ Fe^{3+} จะเปลี่ยนแม่อมปฏิกริยามีการเติม FeCl_3 ซึ่งเป็นสารโคเอกุญแจน์โดย ส่งผลให้ประสิทธิภาพการบำบัดของแข็งแขวนลอยในน้ำดีขึ้น

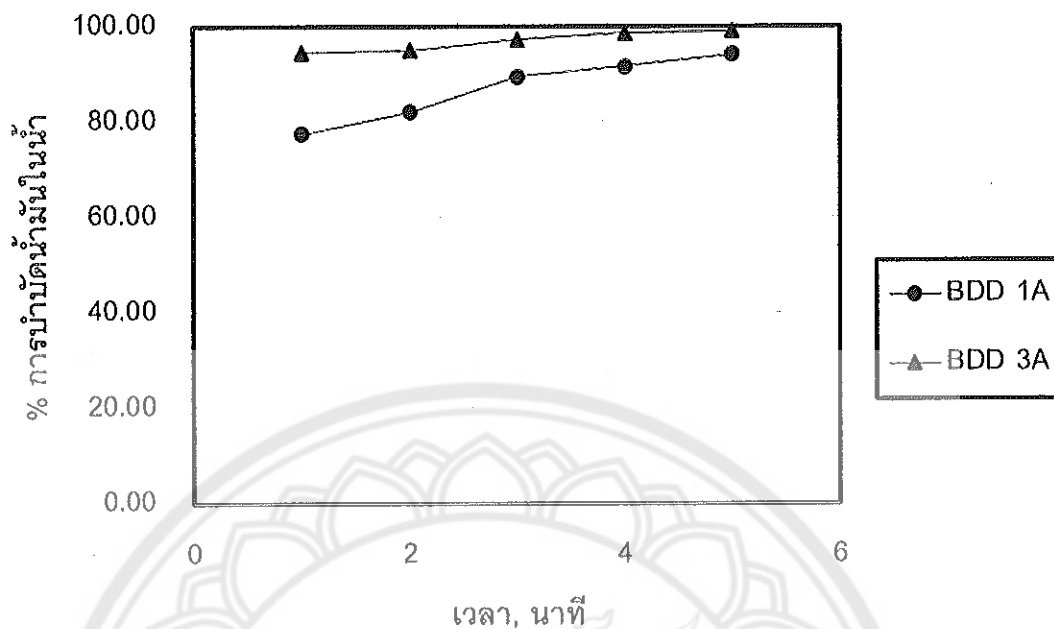
จากภาพ 81 พบร่วมกับประสิทธิภาพการบำบัดน้ำมันในน้ำจะเป็นผลกระทบกับปริมาณกระแสงไฟฟ้า คือกระแสงไฟฟ้าที่ 1 แอมป์ร์จะให้ประสิทธิภาพการบำบัดที่ดีกว่าที่ 3 แอมป์ร์หันจากการสังเกตการทดลองจะพบว่าอิเล็กโทรดที่ทำมาจากเหล็กจะให้ตะกอนที่มาก (ภาพ 97 ในภาคผนวก) ต่างกันที่ได้อาจไปรักษาการไฟล์ตัวเองของน้ำมันในน้ำ

จากภาพ 82 พบร่วมกับการบำบัดความชื้นจะเปรียบเทียบตามปริมาณกระแสงไฟฟ้า คือกระแสงไฟฟ้าที่ 3 แอมป์ร์จะให้ประสิทธิภาพการบำบัดที่ดีกว่าที่ 1 แอมป์ร์โดยให้ประสิทธิภาพการบำบัดความชื้นที่มากกว่า 95%

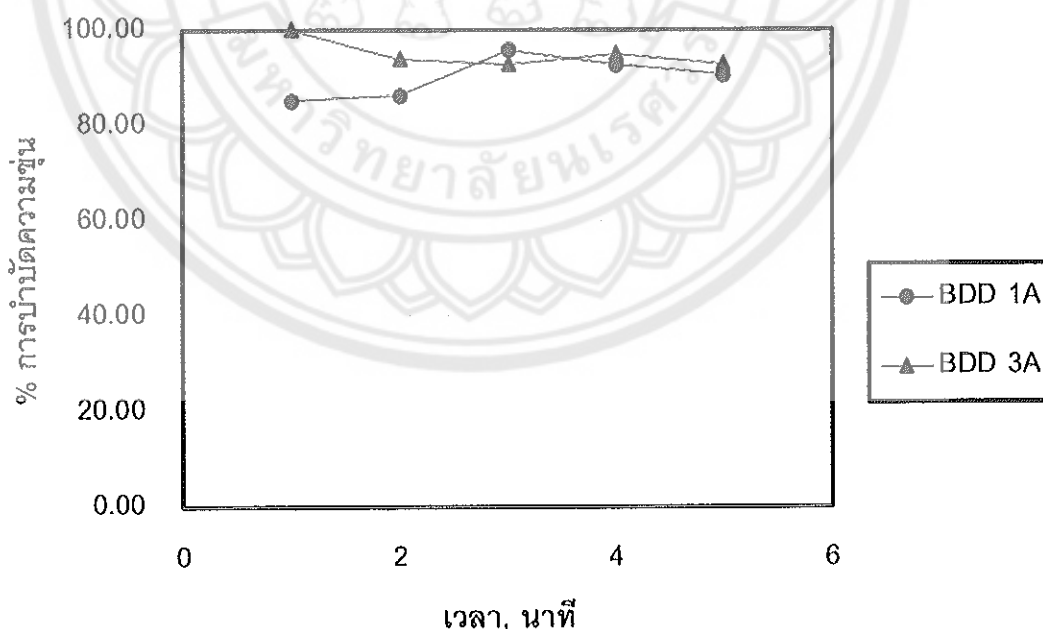
1.4 การหาปริมาณกระแสงไฟฟ้าที่เหมาะสมเมื่อใช้ BDD เป็นօนิด และ BDD เป็นค่าトイด



ภาพ 83 การหาปริมาณกระแสงไฟฟ้าที่เหมาะสมเมื่อใช้ BDD เป็นօนิดและค่าトイดโดยเปรียบเทียบประสิทธิภาพการบำบัดของแข็งแขวนลอย



ภาพ 84 การหาปริมาณกระสasseไฟฟ้าที่เหมาะสมเมื่อใช้ BDD เป็นอ่อนดและ
คากトイโดยเปรียบเทียบประสิทธิภาพการบำบัดน้ำมันในน้ำ



ภาพ 85 การหาปริมาณกระสasseไฟฟ้าที่เหมาะสมเมื่อใช้ BDD เป็นอ่อนดและ
คากトイโดยเปรียบเทียบประสิทธิภาพการบำบัดความชุ่น

จากภาพ 83 พบว่า ประสิทธิภาพในการบำบัดของเข็งแขวนโดยแบ่งกลั้นกับระยะเวลาในการให้กระแทกไฟฟ้า โดยจะลดลงเมื่อให้กระแทกไฟฟ้าที่ 3 แอมเปอร์เป็นระยะเวลาหนาน เมื่อจากปฏิริยาออกซิเดชันรีดักชันที่เกิดขึ้นทำให้เกิดตะกอนที่มากขึ้นตามระยะเวลา

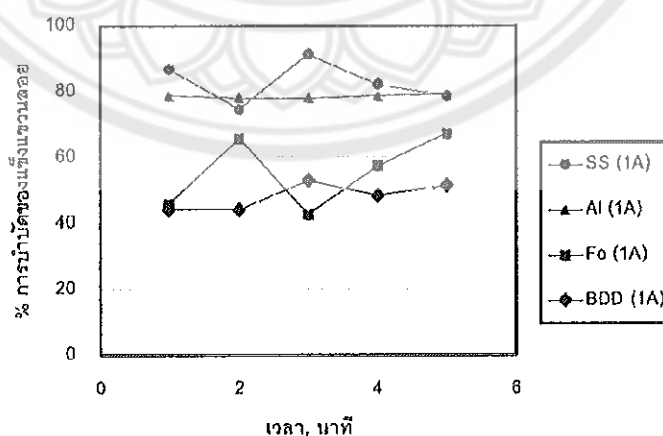
จากภาพ 84 พบว่าประสิทธิภาพการบำบัดน้ำมันในน้ำจะเป็นแบ่งตามปริมาณกระแทกไฟฟ้า คือกระแทกไฟฟ้าที่ 3 แอมเปอร์จะให้ประสิทธิภาพการบำบัดที่ดีกว่าที่ 1 และแอมเปอร์ เมื่อจากกระแทกไฟฟ้าที่ 3 แอมเปอร์สามารถผลิตฟองก๊าซได้มากกว่า และพบว่าการให้ระยะเวลาในการปล่อยกระแทกไฟฟ้าที่นานขึ้นก็จะทำให้การบำบัดน้ำมันในน้ำดีขึ้น

จากภาพ 85 พบว่าผลการบำบัดค่าความชุ่นแสดงให้เห็นถึงความสอดคล้องของการบำบัดของเข็งแขวนโดย และน้ำมันในน้ำ การปล่อยกระแทกไฟฟ้าที่ 3 แอมเปอร์ ที่ระยะเวลาหนานขึ้น น้ำมันในน้ำจะถูกกำจัดออกไปเพื่อของเข็งแขวนโดยมีปริมาณเพิ่มขึ้น ทำให้ค่าความชุ่นที่ได้เพิ่มขึ้นเล็กน้อย

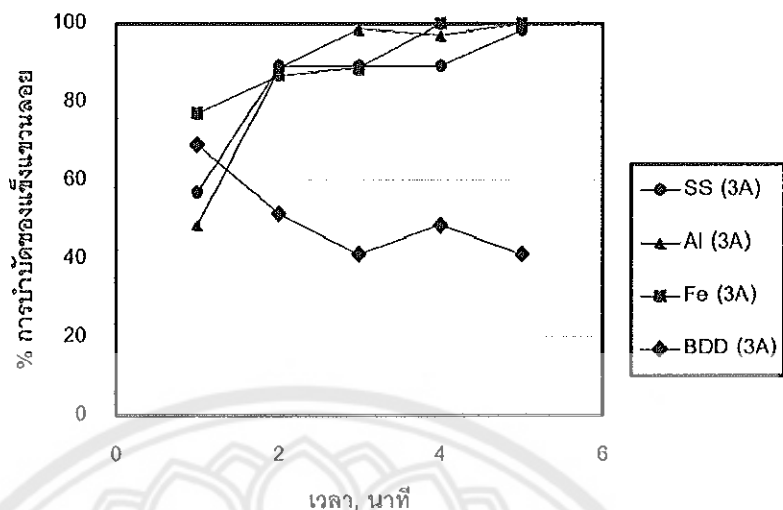
2. เปรียบเทียบประสิทธิภาพจากการเปลี่ยนชนิดของอิเล็กโทรดที่ข้าวอาในดีคือ แสตนเลส, อลูมิเนียม, เหล็ก, BDD

นำผลการทดลองจากหัวข้อ 3.1 มาสร้างกราฟเปรียบเทียบประสิทธิภาพการบำบัดค่าของเข็งแขวนโดย น้ำมันในน้ำ และความชุ่นจากการเปลี่ยนชนิดของอิเล็กโทรดที่ข้าวอาในดี คือ แสตนเลส, อลูมิเนียม, เหล็ก, BDD ที่ปริมาณกระแทกไฟฟ้าต่างๆ กัน

2.1 เปรียบเทียบประสิทธิภาพการบำบัดค่าของเข็งแขวนโดย จากการเปลี่ยนชนิดของอิเล็กโทรดที่ข้าวอาในดี คือ แสตนเลส, อลูมิเนียม, เหล็ก, BDD ที่ปริมาณกระแทกไฟฟ้า 1 และ 3 แอมเปอร์



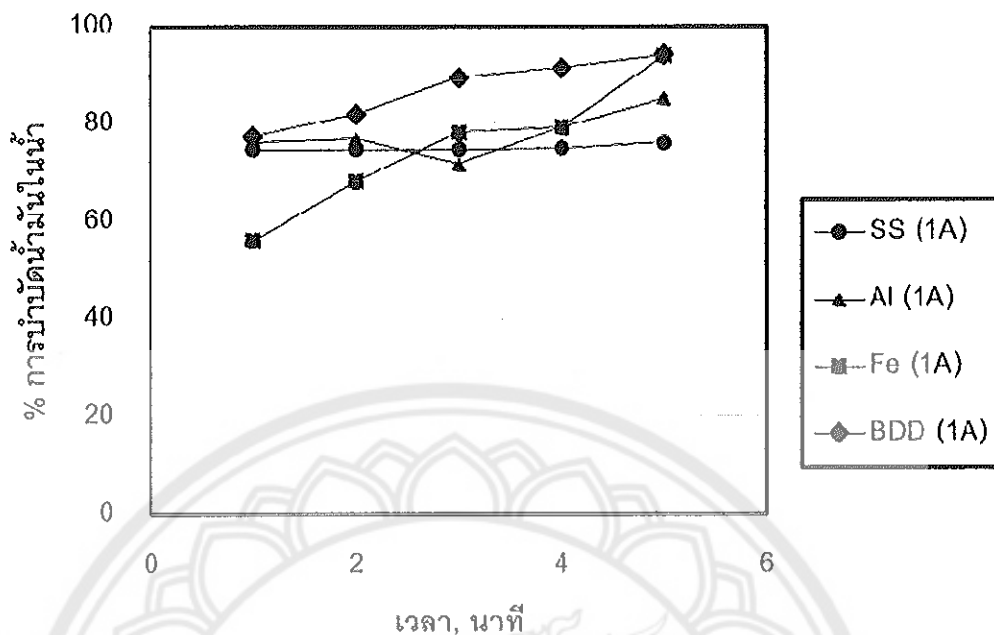
ภาพ 86 เปรียบเทียบประสิทธิภาพการบำบัดค่าของเข็งแขวนโดย จากการเปลี่ยนชนิดของอิเล็กโทรดที่ข้าวอาในดี คือ แสตนเลส, อลูมิเนียม, เหล็ก, BDD ที่ปริมาณกระแทกไฟฟ้า 1 และ 3 แอมเปอร์



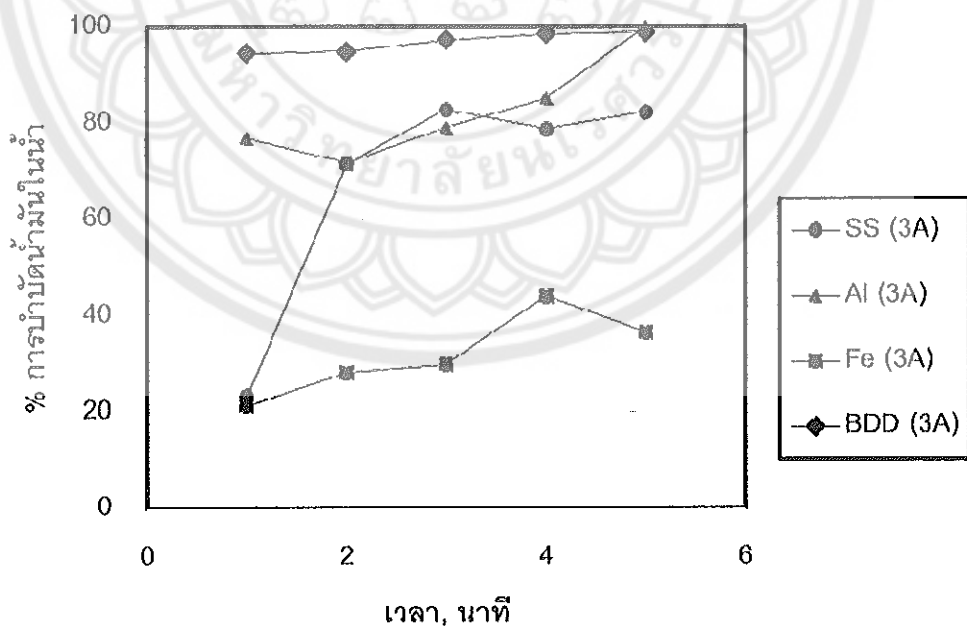
ภาพ 87 เปรียบเทียบประสิทธิภาพการบำบัดค่าคงเหลือของแข็งแχวนล oxy จากการเปลี่ยนชนิดของอิเล็กโทรดที่ข้าวอโนดคือ แสตมเลส, อัลูมิเนียม, เหล็ก, BDD ที่ปริมาณกระแสไฟฟ้า 3 แอมป์ร์

จากภาพ 86 และภาพ 87 พนวจว่า BDD ให้ประสิทธิภาพในการบำบัดของแข็งแχวนล oxy ต่ำที่สุดในขณะที่ อิเล็กโทรดที่ทำมาจาก แสตมเลส, อัลูมิเนียมและ เหล็ก ให้ประสิทธิภาพการบำบัดที่ใกล้เคียงกัน เนื่องจากอิเล็กโทรดที่ทำมาจากแสตมเลส, อัลูมิเนียมและ เหล็ก มีการเติมโคเกกูแลนท์จากการละลายของข้าวอิเล็กโทรด

2.2 เปรียบเทียบประสิทธิภาพการบำบัดค่าน้ำมันในน้ำจากการเปลี่ยนชนิดของอิเล็กโทรดที่ข้าวอโนดคือ แสตมเลส, อัลูมิเนียม, เหล็ก, BDD ที่ปริมาณกระแสไฟฟ้า 1 และ 3 แอมป์ร์



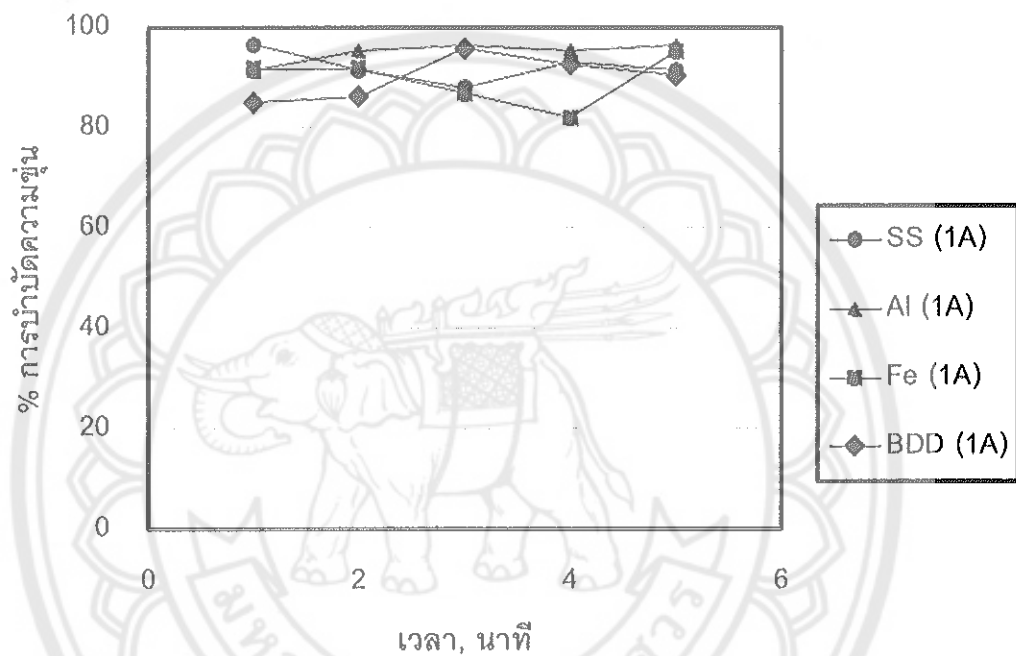
ภาพ 88 เปรียบเทียบประสิทธิภาพการนำบัดค่าน้ำมันในน้ำจากการเปลี่ยนชนิดของอิเล็กโทรดที่ข้าวอาโนดคือ แสตนเลส, อลูมิเนียม, เหล็ก, BDD ที่ปริมาณกระแทกไฟฟ้า 1 แอมเปอร์



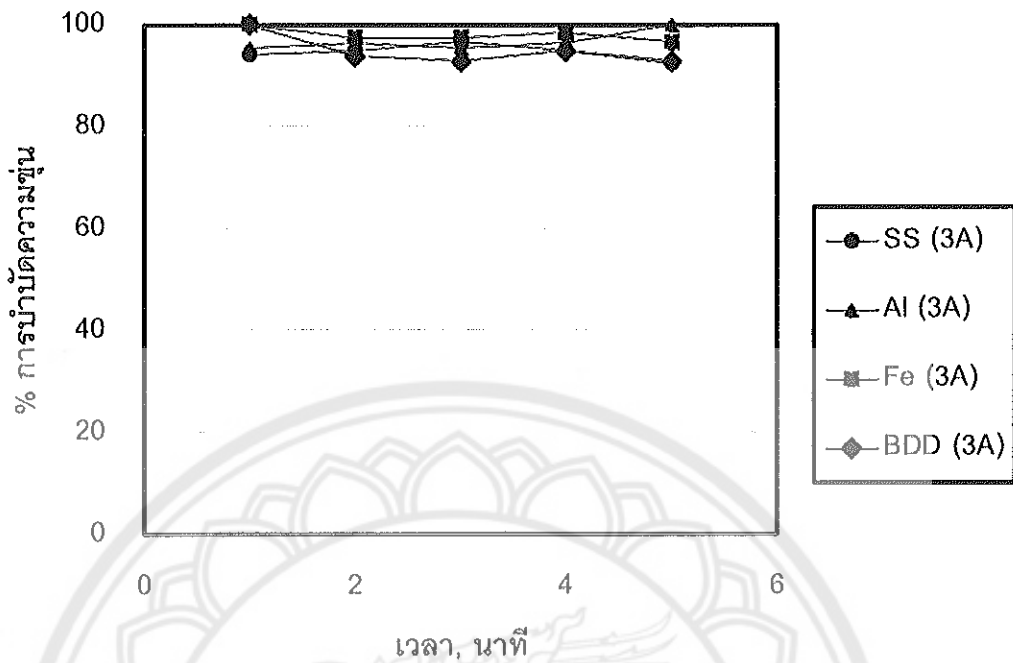
ภาพ 89 เปรียบเทียบประสิทธิภาพการนำบัดค่าน้ำมันในน้ำจากการเปลี่ยนชนิดของอิเล็กโทรดที่ข้าวอาโนดคือ แสตนเลส, อลูมิเนียม, เหล็ก, BDD ที่ปริมาณกระแทกไฟฟ้า 3 แอมเปอร์

จากภาพ 88 และภาพ 89 พนวจ BDD ให้ประสิทธิภาพการบำบัดดีที่สุด เมื่อ เปรียบเทียบกับอิเล็กโทรดชนิดละลาย ทั้งนี้เนื่องมากจาก อิเล็กโทรดชนิด BDD ให้ฟองก๊าซมากที่สุดจึง สามารถบำบัดน้ำมันในน้ำได้ดีที่สุด

2.3 เปรียบเทียบประสิทธิภาพการบำบัดค่าความชุ่มน้ำจากการเปลี่ยนชนิดของอิเล็กโทรด ที่ข้าวอนดคือ แสตนเลส, อลูมิเนียม, เหล็ก, BDD ที่ปริมาณกรดและไฟฟ้า 1 และ 3 แอมเปอร์



ภาพ 90 เปรียบเทียบประสิทธิภาพการบำบัดค่าความชุ่มน้ำจากการเปลี่ยนชนิดของ อิเล็กโทรดที่ข้าวอนดคือ แสตนเลส, อลูมิเนียม, เหล็ก, BDD ที่ปริมาณ กระแสไฟฟ้า 1 และ 3 แอมเปอร์



ภาพ 91 เปรียบเทียบประสิทธิภาพการนำบัดค่าความชุ่นในน้ำจากการเปลี่ยนชนิดของอิเล็กโทรดที่ข้าวอาในต่อ คือ แสตนเลส, อลูมิเนียม, เหล็ก, BDD ที่ปริมาณกระแทกไฟฟ้า 1 แอมเปอร์

จากภาพ 90 และภาพ 91 พบร่องรอยอิเล็กโทรดแสตนเลส, อลูมิเนียม, เหล็ก, BDD ให้ประสิทธิภาพการนำบัดความชุ่นที่ใกล้เคียงกัน ซึ่งการกระแทกไฟฟ้า 3 แอมเปอร์มีแนวโน้มให้ให้ประสิทธิภาพการนำบัดความชุ่นได้ดีกว่ากระแทกไฟฟ้าที่ 1 แอมเปอร์ เนื่องจากกระแทกไฟฟ้าที่ 3 แอมเปอร์ จะให้ปริมาณฟองก๊าซที่มากกว่า และเกิดสารโคเออกูเลนท์เดดที่มากกว่า

อัตราการศึกษาที่ผ่านตาม ภาพ 86 และภาพ 90 มาพบว่าค่าความชุ่นในน้ำมีแนวโน้มไม่เป็นไปตามของแข็งเข่วนloy ทั้งนี้เนื่องจากที่กระแทกไฟฟ้า 1 แอมเปอร์จะให้ปริมาณฟองก๊าซที่น้อยทำให้อาจพบนริมาณน้ำมันในน้ำหลงเหลืออยู่ การหาปริมาณของแข็งเข่วนloyด้วยการวิธีการของน้ำมันที่เหลืออยู่จะเปิดตัวที่กระดาษกรอง ทำให้ผลการวัดปริมาณของแข็งเข่วนloyมีค่าสูงขึ้น อย่างไรก็ตามความสามารถประเมินประสิทธิภาพของการดักล้งได้จาก 2 พารามิเตอร์คือ จากการวัดค่าความชุ่น และ การวัดปริมาณน้ำมันในน้ำ

3. ศึกษาพารามิเตอร์แคทไอคอน แอนไอคอน ของน้ำก่อนและหลังการนำบัดด้วยวิธี EF โดยใช้ข้าวโพดและคาโพดเป็น BDD

ตาราง 16 ผลการศึกษาพารามิเตอร์เคมีทั่วไปของ แม่น้ำก่อนและหลังการบำบัดด้วยวิธี EF โดยใช้ข้าวสาโนตและค่าโภดเป็น BDD

พารามิเตอร์	ก่อนบำบัด	หลังบำบัดด้วยกระแสงไฟฟ้า 3 แอมป์เรียบร้อยเวลา 4 นาที
โซเดียมไฮเดอโรนัตต์		
โซเดียมไฮเดอโรนัตต์	8,999 mg/l	8,878 mg/l
แคลเซียมไฮเดอโรนัตต์	2,220 mg/l	2,000 mg/l
แมกนีเซียมไฮเดอโรนัตต์	6.1 mg/l	0.03 mg/l
เหล็กไฮเดอโรนัตต์ (Fe^{3+} & Fe^{2+})	0.22 mg/l	0 mg/l
เหล็กไฮเดอโรนัตต์ (Fe^{2+})	11	4
เบรี่ยมไฮเดอโรนัตต์ (Ba^{2+})	0	0
สตรอนเซียมไฮเดอโรนัตต์ (Sr^{2+})	11,236	10,319
คลอร์ไนต์ไฮเดอโรนัตต์ (Cl^-)	0	0
โซเดียมไฮเดอโรนัตต์ (SO_4^{2-})	598.29	563
ไบคาร์บอเนตไฮเดอโรนัตต์ (HCO_3^-)	0	0
คาร์บอนเนตไฮเดอโรนัตต์ (CO_3^{2-})	8.15	8.04
พีเอช	97 NTU	5 NTU
ค่าความปูน	89.7 mg/l	1.3 mg/l
ปริมาณแร่แม่แร่	58 mg/l	35 mg/l
ค่าคงของแข็งละลาย	28.07	20.45
ค่าการนำกระแสงไฟฟ้าของน้ำ	0	0
ปริมาณโซเดียมไฮเดอโรนัตต์	532 mg/l	319 mg/l
COD		

จากตาราง 15 พบว่า น้ำหลังบำบัดด้วยวิธีวีซี EF โดยใช้ข้าวอโนดและค่าトイเดเป็น BDD พบว่าหลังจากให้กระแสงไฟฟ้าในน้ำบริมาณน้ำมันในน้ำถูกทำให้ลดลงอย่างต่อเนื่องโดยพองก้าว ดังจะเห็นได้ว่าบริมาณน้ำมันในน้ำหลังทำปฏิกิริยาเมื่อลดลง เมื่อทิ้งให้ตกตะกอนเป็นเวลา 7 วัน เหล็กออกอนซึ่งเป็นสารโคเอกฤณ์แลนท์เคด ได้รวมตัวกับความชุนในน้ำและเกิดการตกตะกอน บริมาณคลอร์ไตร์ ไอออกอนที่ลดลงเล็กน้อย เป็นผลจากการทำปฏิกิริยาเรติอกร์ของคลอร์ไตร์เกิดเป็นก้าชคลอรีน บริมาณของเหลวละลายน้ำที่ลดลง เป็นผลสอดคล้องกับผลรวมบริมาณแอนไออกอนและแคทไออกอนที่ลดลง และค่า COD ที่ลดลงสอดคล้องกับบริมาณน้ำมันในน้ำที่ลดลง ทั้งนี้ค่า COD หลังบำบัดที่ยังเหลืออยู่แสดงให้เห็นว่ายังมีสารอินทรีย์อื่นๆ ที่สามารถออกชีวภาพได้หลงเหลืออยู่

4. ศึกษาประสิทธิภาพการกำจัดแบคทีเรียชนิดต่างๆ ของน้ำก่อนและหลังการบำบัดด้วยวิธี EF โดยให้กระแสงไฟฟ้า 3 แอมป์เบิร์ สเปรย์ เป็นเวลา 4 นาที ใช้ BDD เป็นอโนดและค่าトイเด



ภาพ 92 ผลการหาปริมาณแบคทีเรียสร้างกรดหลังการบำบัดด้วยวิธี EF
โดยใช้ข้าวอโนดและค่าトイเดเป็น BDD



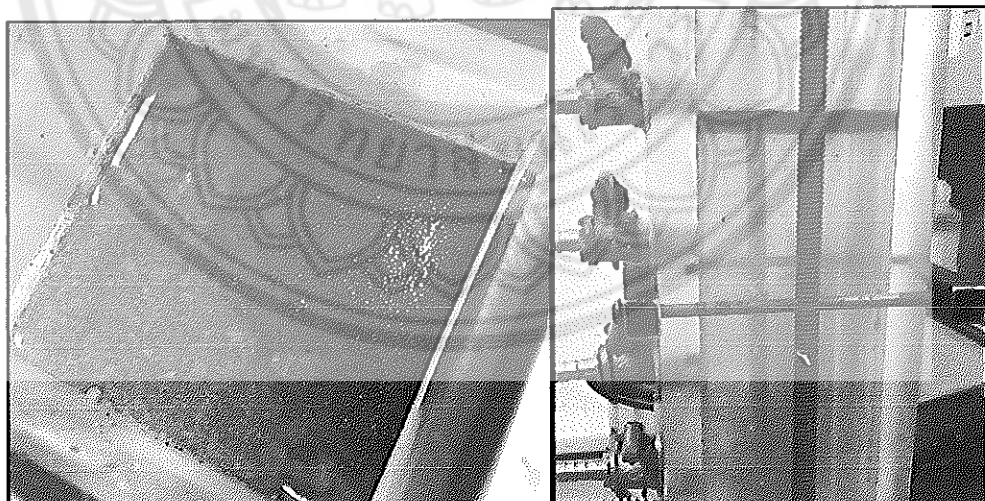
ภาพ 93 ผลการหาปริมาณแบคทีเรีย SRB หลังการบำบัดด้วยวิธี EF
โดยใช้ข้าวอโนดและค่าトイเดเป็น BDD

ตาราง 17 สรุปประสิทธิภาพการกำจัดแบคทีเรียชนิดต่างๆ ของน้ำก่อนและหลังการบำบัดด้วยวิธี ECF

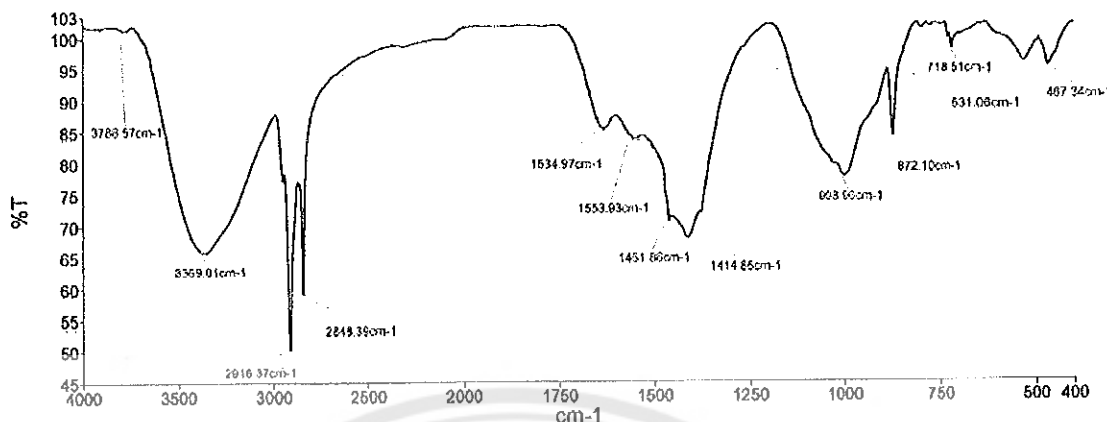
ประสิทธิภาพการบำบัด เมื่อใช้ BDD เป็นօไนด์และค่าトイด์					
	เอกสารนี้		แบคทีเรียสร้างกรด		
	No. Bacteria	% การกำจัด	No. Bacteria	% การกำจัด	
ก่อนบำบัด (อ้างอิงจากภาพ 67 และภาพ 68)	10	0	1000	0	
หลังบำบัด	0	100	0	100	

จากการ 92 และภาพ 93 สามารถสรุปผลการทดลองได้ดังตาราง 16 พบว่าการบำบัดด้วยวิธี ECF สามารถบำบัดแบคทีเรียในน้ำได้ เนื่องจากเกิดปฏิกิริยาตือกซึ่งให้ก้าชคลอรีนที่สามารถฆ่าแบคทีเรียได้ทั้ง แบคทีเรียสร้างกรดและ แบคทีเรีย SRB

5. ผลการวิเคราะห์องค์ประกอบของตะกอนโดยด้วยเครื่อง FT-IR ของน้ำหลังบำบัดด้วยวิธี ECF โดยใช้กรวยเสไฟฟ้า 3 เมมเบรน เป็นเวลา 4 นาที ใช้ BDD เป็นօไนด์และค่าトイด์



ภาพ 94 ลักษณะตะกอนที่ได้จากการบำบัดด้วยวิธี ECF เมื่อใช้ BDD เป็นօไนด์และค่าトイด์



ภาพ 95 ผลการวิเคราะห์ตะกอนที่ได้จากการบ้าบัดด้วยวิธี EF เมื่อใช้ BDD เป็นอาโนด และคาโทดด้วยเครื่อง FT-IR

นำตะกอนโดยที่ได้จากภาพ 94 มาทำการวิเคราะห์ด้วยเครื่อง FTIR ได้ผลการทดลองดังภาพ 95 พบว่าผลการวิเคราะห์ตะกอนด้วยเครื่อง FT-IR ปรากฏพีคของ 'ไฮโดรคาร์บอนชั้ดเจน' คือที่ 2921 (C-H Stretch), 1455 (C-C Bending), 796 (C-C Rocking) จึงสามารถสรุปได้ว่า ตะกอนโดยประภากوبไปด้วยสารไฮโดรคาร์บอนซึ่งก็คือน้ำมันในน้ำที่ถูกฟองก้ำหยกตัวให้ลอยขึ้นมาจากน้ำ

6. ศึกษาประสิทธิภาพการบ้าบัด อนุภาคแขวนลอย (particle size distribution) ก่อนและหลังการบ้าบัดด้วยวิธี EF โดยให้กระแทกไฟฟ้า 3 แเอมเพร์ เป็นเวลา 4 นาที ใช้ BDD เป็นอาโนดและคาโทด

ทำการหาจำนวนอนุภาคแขวนลอยในน้ำเสียด้วยเครื่อง Backman Z1 ได้ผลการทดลองดังตาราง 18

ตาราง 18 จำนวนอนุภาคแขวนลอยในน้ำเสียก่อน-หลังบ้าบัดด้วยวิธี EF โดยให้กระแทกไฟฟ้า 3 แเอมเพร์ เป็นเวลา 4 นาที ใช้ BDD เป็นอาโนดและคาโทดวิเคราะห์ด้วยเครื่อง Backman Z1

หัวเติมอากาศ	ก้อนบ้าบัด	วัดทันที	ทิ้งให้ตกตะกอน 1 สัปดาห์
ขนาดอนุภาค (ไมโครเมตร)	จำนวนอนุภาค	จำนวนอนุภาค	จำนวนอนุภาค
03-05	451,600	198,900	55,025

ตาราง 18 (ต่อ)

หัวเติมอากาศ	ก้อนบำบัด	วัดทันที	ทึ่งให้ตอกตะกอน	
			1 สัปดาห์	
05-10	83,400	15,500	2,200	
10-15	5,300	800	0	
15-20	700	0	0	
20-25	0	0	0	
> 25 μm .	0	0	0	
% of particle < 5 μm .	83	92	96	
No. of particle > 5 μm .	89400	16300	2200	



ภาพ 96 จำนวนอนุภาคแขวนลอยในน้ำเสียก่อน-หลังบำบัดด้วยวิธี EF โดยใช้กระแสงไฟฟ้า 3 例外เปรีย เป็นเวลา 4 นาที ใช้ BDD เป็นอานิดและค่าトイด วิเคราะห์ด้วยเครื่อง Backman Z1

**ตาราง 19 ประสิทธิภาพการใช้วิธี EF กำจัดอนุภาคแขวนลอยในน้ำเสียก่อน-หลัง บำบัด
วิเคราะห์ด้วยเครื่อง Backman Z1**

หัวเติมอากาศ	วัดทันที	ทิ้งให้ตกตะกอน 1 สัปดาห์
ขนาดอนุภาค (ไมโครเมตร)	เปอร์เซ็นต์การกำจัด	เปอร์เซ็นต์การกำจัด
< 5 μm.	56	88
> 5 μm.	82	98

จากตาราง 18 พบร่วมกับการบำบัดอนุภาคแขวนลอยด้วยวิธี EF (ใช้ BDD เป็นคาโทดและออกาโนด) โดยให้กระแสไฟฟ้า 3 แอมป์เปอร์ เป็นเวลา 4 นาที เมื่อทำการวัดปฏิกิริยาทันทีที่ให้กระแสไฟฟ้า เสร์เจลีนให้ประสิทธิภาพการกำจัดอนุภาคที่เล็กกว่า 5 ไมครอน และใหญ่กว่า 5 ไมครอนที่ 56 และ 82 เปอร์เซ็นต์ตามลำดับ และหากทำการทิ้งให้ตกตะกอนโดยให้ระยะเวลา 1 สัปดาห์ จะให้ประสิทธิภาพ การกำจัดที่เพิ่มขึ้นคือ อนุภาคที่เล็กกว่า 5 ไมครอน และใหญ่กว่า 5 ไมครอนที่ 88 และ 98 เปอร์เซ็นต์ ตามลำดับ สรุปได้ว่าหากต้องการน้ำที่ฝ่านกระบวนการบำบัดด้วยเทคโนโลยีเล็กโตรไฟล์เซ็นไปทำการอัดลงหลุม อาจมีความจำเป็นต้องมีระบบกำจัดตะกอนเพิ่มเติม เช่นระบบกรองหรือถังตกตะกอน เพื่อให้ได้น้ำที่มีจำนวนอนุภาคและขนาดตามต้องการ

บทที่ 5

บทสรุป

สรุปผลการวิจัย

จากการศึกษาค่าพารามิเตอร์ที่อยู่ในน้ำพบว่าประกอบด้วยสารอินทรี, สารอนินทรี และสิ่งมีชีวิตโดยสารโดยเมื่อสารอนินทรีบางตัวสัมผัสกับออกซิเจน เกิดปฏิกิริยาออกซิไดซ์เซ็นจะทำให้คุณสมบัติความเป็นคอลลอยด์ของสารละลายเปลี่ยนไป สามารถสรุปผลการทดลองได้ดังนี้

1. จากการศึกษาปฏิกิริยาเคมีของวิธี IAF ร่วมกับการเติมสารโพลิเมอร์ พบร่วงหลังการเติมออกซิเจนในอากาศมีส่วนทำให้ Fe^{2+} เปลี่ยนไปเป็น Fe^{3+} ทำให้สีของน้ำตัวอย่างเปลี่ยนไป Fe^{3+} ที่เกิดขึ้นมีอิทธิพลต่อการเติมสาร $FeCl_3$ ลงในน้ำ ทำให้เกิดการทำลายเสียรากความเป็นคอลลอยด์ของสารละลายมากยิ่งขึ้น อย่างไรก็ตามการปริมาณ Fe^{3+} ที่เพิ่มขึ้น จะส่งผลให้ค่าความชุ่มเพิ่มขึ้น ซึ่งตรงข้ามกับวิธี IAF โดยใช้ในตรามีที่ให้ค่าการบำบัดความชุ่มที่ดีกว่า เมื่อจากไม่เกิดการออกซิเดชันของออกซิเจนกับ Fe^{2+} และยังพบอีกว่าประสิทธิภาพของวิธี IAF จะเพิ่มขึ้นเมื่อฟองก้าซมีขนาดเล็กลง ซึ่งเป็นไปตามค่า a/G โดยค่า A/S ที่เหมาะสมสำหรับวิธี IAF โดยใช้ในตรามีค่าอากาศคือ 30.7 และ 61.5 มิลลิลิตรอากาศต่อมิลลิกรัมของแข็งเข wen ลอย

2. ปฏิกิริยาเคมีของกระบวนการ ECF ซึ่งเป็นปฏิกิริยาตือกซ์ เกิดการทำลายของชั้นอาโนดคือ อะลูมิเนียม และเหล็ก ส่งผลให้เกิด Al^{3+} หรือ Fe^{2+} เพิ่มขึ้นในสารละลายโดยสารเหล่านี้มีคุณสมบัติลดความหนาของชั้นกระจาย (Diffuse Layer) ส่งผลทำลายเสียรากของคอลลอยด์ ทำให้วิธีการ ECF มีค่าการบำบัดความชุ่มที่ดีกว่าวิธี EF

ความเป็นไปได้ในการนำวิธี IAF และวิธี EF และ ECF ไปใช้งาน

วิธี IAF ร่วมกับการเติมสารโพลิเมอร์และวิธี EF, ECF ต่างก็มีคักษภาพในการบำบัดน้ำ Produced water จากการทดลองที่ผ่านมาพบว่าวิธี EF, ECF จะให้ตะกอนหลังบำบัดมากกว่าวิธี IAF ตะกอนจากวิธี EF, ECF บางส่วนจะลอยขึ้นสูญญากาศได้ยากตัวของฟองก้าซมีอย่างไรก็ตามยังมีตะกอนเกิดขึ้นอีกหลังการทำปฏิกิริยาเสร็จสิ้นลง ทั้งนี้ในทางปฏิบัติจริงมีวิธี EF, ECF จึงจำเป็นต้องมีระบบกำจัดตะกอน ก่อนที่จะนำน้ำไปอัดลงหลุ่ม หรือนำไปต่อ กับวิธีการ IAF เพื่อช่วยในการกำจัดตะกอน โดยพนักงานบำบัดน้ำด้วยวิธี ECF ให้ประสิทธิภาพการบำบัดค่า TSS, น้ำมันในน้ำ และความชุ่มมากกว่า 85 เมอร์เซ่นต์

การนำบัดน้ำด้วยวิธี EF ให้ประสิทธิภาพการนำบัด TSS ที่ด้อยกว่า วิธี ECF โดยให้ประสิทธิภาพการนำบัดที่ 49 เปอร์เซ็นต์ ให้ประสิทธิภาพการนำบัดความชุ่นและน้ำมันในน้ำมากกว่า 95 เปอร์เซ็นต์ ให้ประสิทธิภาพในการนำบัดแบคทีเรีย 100 เปอร์เซ็นต์ และสามารถนำบัดอนุภาคที่มากกว่า 5 ไมครอน 98 เปอร์เซ็นต์ สรุปผลการนำบัดด้วยวิธี EF, ECF และ IAF ดังตาราง 19

การนำบัดน้ำเสียด้วยวิธี IAF ปริมาณฟองอากาศและสารโคเอกกูแลนท์ที่ใช้ มีผลอย่างมาก ต่อความสำเร็จของระบบ โดยปริมาณฟองอากาศที่มาก ทำให้เกิดการปั่นป่วนมาก สงสัยให้ประสิทธิภาพการนำบัดลดลง เนื่องจากความบ่ำปัวสูงจะไปทำลายเสถียรภาพของฟลักซ์ ผลกระทบโดยรวมเพียงเท่านี้ประสิทธิภาพการนำบัดค่า TSS ที่ 58 เปอร์เซ็นต์ น้ำมันในน้ำ 100 เปอร์เซ็นต์ ความชุ่น 94 เปอร์เซ็นต์ ไม่มีประสิทธิภาพในการนำบัดแบคทีเรีย และให้ผลการนำบัดอนุภาคที่มากกว่า 5 ไมครอน 87 เปอร์เซ็นต์

ตาราง 20 ผลเปรียบเทียบการนำบัดน้ำเสียด้วยเทคนิค EF, ECF และ IAF

พารามิเตอร์ (การนำบัด)	EF*				ECF*		IAF	
	BDD-BDD	Iron-Iron	AI-AI	SS-SS	อากาศ	ในไตรเจน	**	***
TSS (%)	49	100	97	89	58	96		
ความชุ่น (%)	95	98	96	95	94	100		
น้ำมันในน้ำ (%)	99	44	85	79	100	92		
กำจัดแบคทีเรีย (%)	SRB = 100% PRD = 100%	N/A	N/A	N/A	ไม่ สามารถ	N/A		
อนุภาคที่มากกว่า 5 ไมครอน	98%	N/A	N/A	N/A	87%	N/A		

หมายเหตุ: * ทิ้งให้ตกตะกอนนาน 1 สัปดาห์ และให้กระແສ່ເພົ່າ 3 ແມ່ນແປ່ງ ເປັນເວລາ 4 ນາທີ

** เติมอากาศที่ 4 ລິຕຣອ່ອນາທີ ເປັນເວລາ 10 ນາທີ

*** เติมໃນໄຕຣຈັນທີ 2 ລິຕຣອ່ອນາທີ ເປັນເວລາ 10 ນາທີ

การประเมินความเป็นไปได้ทางวิศวกรรมและเศรษฐศาสตร์

ระบบ ECF มีการใช้ไฟฟ้าในการสร้างฟองก๊าซ ซึ่งยังเป็นที่ถกเถียงเรื่องความปลอดภัย เนื่องจากระบบต้องสัมผัสกับสารไฮโดรคาร์บอน หากมีปริมาณออกซิเจนที่เหมาะสม กจะแสงไฟฟ้า อาจเหนี่ยวแน่นให้เกิดการลุกไหม้ได้ การนำระบบ ECF มาใช้งานจึงจำเป็นต้องมีระบบความปลอดภัยอื่นๆ เพิ่มเติม อีกทั้งยังก่อให้เกิดก๊าซคลอรีนซึ่งจะไปเร่งการกัดกร่อนของระบบห่อซึ่ง ยังคงต้องการการศึกษาเพิ่มเติม ต่างกับระบบ IAF หรือ IGF ที่สามารถเลือกใช้ก๊าซไฮโดรคาร์บอน เป็นตัวสร้างฟอง ลดปัญหาการกัดกร่อนห่อ และไม่มีปริมาณออกซิเจนในระบบ ทำให้เกิดความปลอดภัยมากยิ่งขึ้น ผู้ทำการทดสอบจึงเสนอวิธี IAF หรือ IGF ไปทำการติดตั้ง ณ แหล่งน้ำมันสิริกิติ์

การออกแบบระบบ IAF

ตาราง 21 ค่าพารามิเตอร์ที่ใช้ในการออกแบบระบบ IAF

พารามิเตอร์	ค่าที่ใช้ในการออกแบบ
Design life	15 years
Flow rate	60,000 BPD
Design margin	10%
Turndown	20%
Product specification	
- Oil content	$\leq 5 \text{ mg/l}$
- TSS	$\leq 20 \text{ mg/l}$

ตาราง 22 ค่าใช้จ่ายของระบบ IAF

Capital cost	
- ค่าเครื่อง IAF (60,000 bpd)	800,000 USD
	<u>28,000,000 บาท</u>
Operational cost	
- Bubble maker (Motor power 12 kW)	12 kW
- กำหนดให้อัตราค่าไฟฟ้า	5 บาท ต่อ kW

ตาราง 22 (ต่อ)

Operational cost	
- ค่าไฟฟ้า Bubble maker (Motor power 12 kW)	60 บาทต่อชั่วโมง
- เดินระบบ = 24 ชั่วโมงต่อวัน	1440 บาทต่อวัน
- เดินระบบ = 365 วันต่อปี	<u>525,600 บาทต่อปี</u>
- ค่าซ้อมนำรุ่ง	<u>840,000 บาทต่อปี</u>
- ค่าสารเคมี	<u>1,800,000 บาทต่อปี</u>
รวม	<u>31,106,650 บาท</u>

หมายเหตุ: คิดอัตราแลกเปลี่ยน 1 USD = 35 บาท

ตาราง 23 ค่าใช้จ่ายในการ Re-perforation

Operational cost	
จำนวนหลุมอัดเมืองทึบ	100 หลุม
- จำนวนหลุมที่ต้องทำ Re-perforation	20 หลุมต่อปี
- ค่าใช้จ่ายในการ Re-perforation	1000 \$ / 1 เมตร
- ระยะที่ทำการ Re-perforation	100 เมตร
- ค่าใช้จ่ายรวม	2,000,000 \$ ต่อปี
	<u>70,000,000 บาทต่อปี</u>

หมายเหตุ: คิดอัตราแลกเปลี่ยน 1 USD = 35 บาท

ตาราง 24 เปรียบเปรียบเทียบค่าใช้จ่ายระหว่างการติดตั้งระบบ IAF กับเทคนิค
Re-perforation

ลำดับ	ค่าใช้จ่ายของระบบ		Diff	%Diff
	IAF (บาท)	Re-perforation (บาท)		
1	31,106,650	70,000,000	38,893,350	55.6
2	33,373,300	140,000,000	106,626,700	76.2
3	35,639,950	210,000,000	174,360,050	83.0
4	37,906,600	280,000,000	242,093,400	86.5
5	40,173,250	350,000,000	309,826,750	88.5
6	42,439,900	420,000,000	377,560,100	89.9
7	44,706,550	490,000,000	445,293,450	90.9
8	46,973,200	560,000,000	513,026,800	91.6
9	49,239,850	630,000,000	580,760,150	92.2
10	51,506,500	700,000,000	648,493,500	92.6
11	53,773,150	770,000,000	716,226,850	93
12	56,039,800	840,000,000	783,960,200	93.3
13	58,306,450	910,000,000	851,693,550	93.6
14	60,573,100	980,000,000	919,426,900	93.8
15	62,839,750	1,050,000,000	987,160,250	94.0

จากตาราง 24 พน.ว่าการติดตั้งระบบ IAF จะประหยัดเงินได้ประมาณ 38 ล้านบาทในปีแรก และ 987 ล้านในปีที่ 15

ข้อเสนอแนะ

งานวิจัยนี้ควรมีการศึกษาเพิ่มเติมดังนี้

1. วิเคราะห์ปริมาณ chlorine ที่เกิดขึ้นจากการวางแผน ECF เมื่อจากคลอรีนทำให้เกิดการกัดกร่อนระบบท่อ
2. วิเคราะห์การกัดกร่อนท่อเมื่อมากจากก้าชคลอรีนของระบบ ECF
3. หาชนิดของโคแอกฤดูแลนท์โอดที่เหมาะสมของระบบ IAF
4. ศึกษาอัตราการสูญเสียต้นของหลุม จากการอันน้ำที่ผ่านระบบ IAF และ ECF
5. ศึกษาการติดตั้ง Nut shell filter ก่อนและหลังผ่านระบบ IAF และ ECF
6. ศึกษาวิธี Modify EF โดยใช้ BDD เป็นอิเล็กโทรด พัฒนากับเพิ่ม โคแอกฤดูแลนท์โอด เช่น

Alum





บรรณานุกรม

- ชุลีกร ชูกลิน (2547). การจัดน้ำมันสกี้อิรในคอมพิวเตอร์ของน้ำเสียโดยวิธีอินดิวซ์แคร์ไฟลเทชั่น (วิทยานิพนธ์ปริญญามหาบัณฑิต, จุฬาลงกรณ์มหาวิทยาลัย, กรุงเทพฯ). สืบค้น 20 มีนาคม 2560, จาก <http://tdc.thailis.or.th>
- ประจักษ์ ศาสตรเวช. (2551). การนำน้ำเสียปนเปื้อนน้ำมันและสารลดแรงตึงผิวด้วยกระบวนการอินดิวซ์แคร์ไฟลเทชั่น (วิทยานิพนธ์ปริญญามหาบัณฑิต, จุฬาลงกรณ์มหาวิทยาลัย, กรุงเทพฯ). สืบค้น 20 มีนาคม 2560, จาก <http://tdc.thailis.or.th>
- พชร โพธิ์ทอง. (2554). การนำน้ำเสียปนเปื้อนน้ำมันตัดแต่งน้ำเสียปนเปื้อนสาหร่ายโดยกระบวนการลอยตัวด้วยอากาศละลายร่วมกับกระบวนการโคแออกูเลชั่น (วิทยานิพนธ์ปริญญามหาบัณฑิต, จุฬาลงกรณ์มหาวิทยาลัย, กรุงเทพฯ). สืบค้น 20 มีนาคม 2560, จาก <http://tdc.thailis.or.th>
- Alexander, K. (2007). Doped Diamond, A Compact Review on a New, Versatile Electrode Material. *International Journal of Electrochemical science*, 2(1), 355-385. Retrieved June 7, 2015, from <http://www.electrochemsci.org/papers/vol2/2050355.pdf>
- Al-Shamrani, A.A., James, A., & Xiao, X. (2002). Separation of oil from water by dissolved air flotation. *Colloids and Surfaces A*, 209(1), 15-26. Retrieved June 7, 2015, from <http://www.sciencedirect.com/science/article/pii/S092777570200208X>
- Arthur, J.D., Langhus, B.G., & Patel, C. (2005). *Technical Summary of Oil and Gas Produced Water Treatment Technologies*. Retrieved May 11, 2015, from <http://www.all-llc.com/publicdownloads/ALLConsulting-WaterTreatmentOptionsReport.pdf>
- Chen, G. (2003). Electrochemical technologies in wastewater treatment. *Separation and Purification Technology*, 38(1), 11-41. Retrieved June 15, 2015, from <http://www.sciencedirect.com/science/article/pii/S1383586603002636>
- Emamjomeh, M.M., & Sivakumar, M. (2009). Review of pollutants removed by elector coagulation and electrocoagulation/flotation processes. *Journal of Environmental Management*, 90(5), 1663-1679. Retrieved June 14, 2015, from <http://www.sciencedirect.com/science/article/pii/S0301479708003617>

- Fakhru'l, R.A. (2009). Review of Technologies for oil and gas produced water treatment. *Journal of Hazardous Materials*, 170(2-3), 530-551. Retrieved April 6, 2015, from <http://www.sciencedirect.com/science/article/pii/S030438940900778X>
- Gupta, V.K. (2013). *Environmental Water*. UK: Elsevier.
- Hongzhu, M., & Bo, W., (2006). Electrochemical pilot-scale plant for oil field produced wastewater by M/C/Fe electrodes for injection. *Journal of Hazardous Materials*, 132(2-3), 237-243. Retrieved June 13, 2015, from <http://www.sciencedirect.com/science/article/pii/S0304389405005868>
- Ly, K.T., David, J.B., Bohon, W.M., & Chan, A. (1998). Novel Chemical Dispersant for Removal of Organic/Inorganic "Schmoo" Scale in Produced Water Injection Systems. *Nace International*, 98(73). Retrieved from <https://www.onepetro.org/conference-paper/NACE-98073>
- Meyssami, B., & Kasaelan, A.B. (2005). Use of coagulants in treatment of olive oil wastewater model solutions by induced air flotation. *Bioresource Technoogy*, 96(3), 303-307. Retrieved May 10, 2015, from <http://www.sciencedirect.com/science/article/pii/S0960852404001567>
- Moosai, R., & Dawe, R.A. (2003). Gas attachment of oil droplets of gas flotation for oily wastewater cleanup. *Separation and Purification Technology*, 33(3), 303-314. Retrieved April 13, 2015, from <http://www.sciencedirect.com/science/article/pii/S1383586603000911>
- Nave, C.R. (2017). *HyperPhysics*. Retrieved May 15, 2015, from <http://hyperphysics.phy-astr.gsu.edu/hbase/hframe.html>
- Nave, C.R. (2017). *Band Theory of Solids*. Retrieved May 15, 2015, from <http://hyperphysics.phy-astr.gsu.edu/hbase/Solids/band.html>
- Rosa, D., & Rubio, J. (2005). The FF (Flocculation Flotation) Precess. *Minerals Engineering*, 18(7), 701-707. Retrieved May 10, 2015, from <http://www.sciencedirect.com/science/article/pii/S0892687504002729>

Strickland, W.T. (1980). Laboratory results of cleaning produced water by gas flotation.

Society of Petroleum Engineers Journal, 20(3). Retrieved from

<https://www.onepetro.org/journal-paper/SPE-7805-PA>

Tibbetts, P.J.C., Buchanan, I.T., Gawel, L.J., & Large, R. (1992). *A comprehensive*

determination of produced water composition. New York, NY: Plenum.

Zeta-meter.Inc, (1993). *Everything you want to know about Coagulation and*

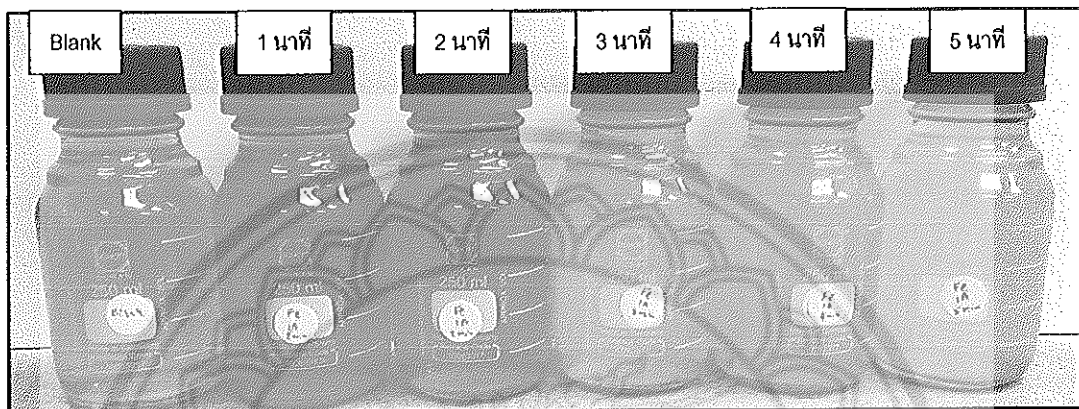
flocculation. Retrieved June 30, 2016, from <http://www.zeta-meter.com/coag.pdf>



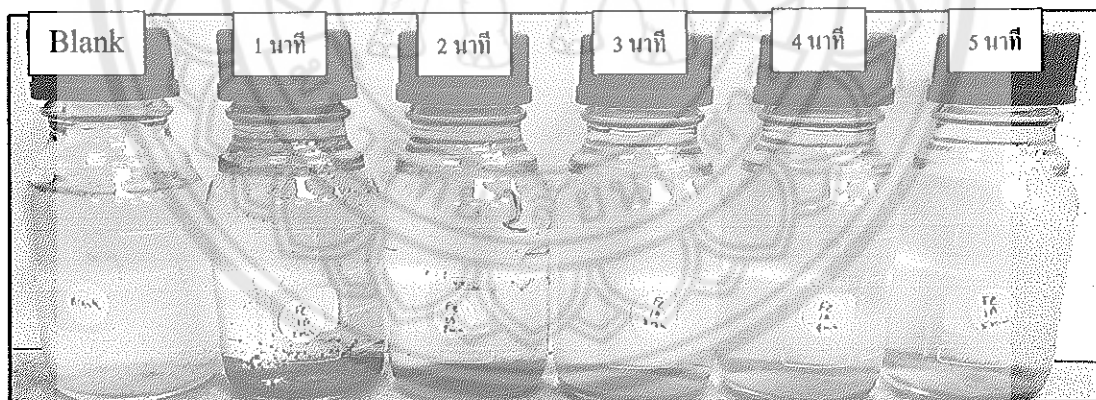


ลักษณะทางกายภาพของน้ำหลังการบำบัดด้วยเทคนิคօลีเจ็กโดยไฟฟ์เตชั่น

1. การบำบัดด้วยเทคนิคօลีเจ็กโดยไฟฟ์เตชั่นโดยใช้เหล็กเป็นข้าวอาโนดและคาดไก่ให้กระแทกไฟฟ้า 1 แอมป์

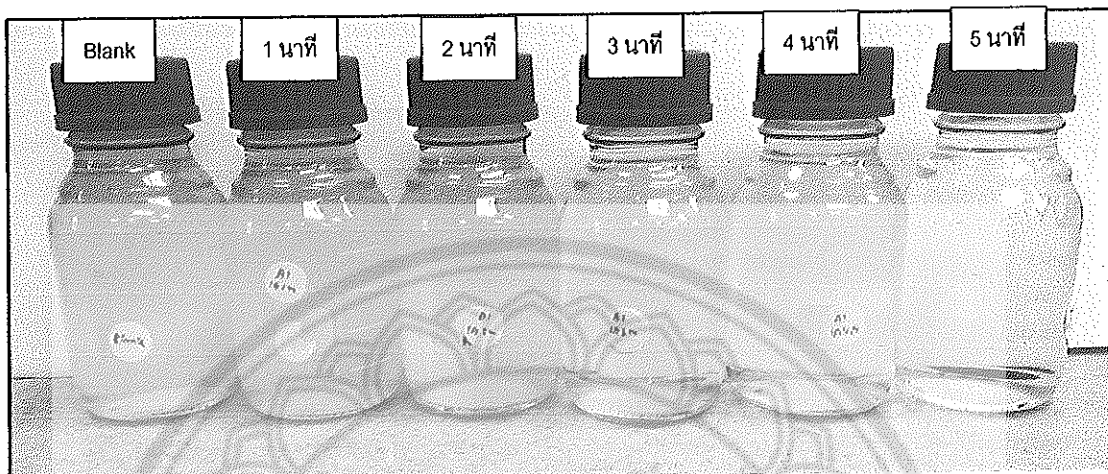


ภาพ 97 การบำบัดด้วยเทคนิคօลีเจ็กโดยไฟฟ์เตชั่นโดยใช้เหล็กเป็นข้าวอาโนดและคาดไก่ให้กระแทกไฟฟ้า 1 แอมป์ หลังทำปฏิกิริยา

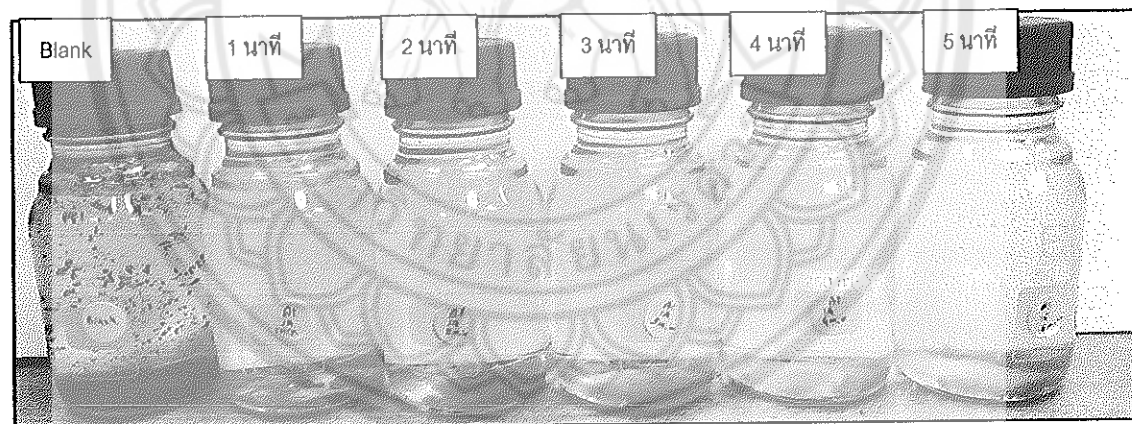


ภาพ 98 การบำบัดด้วยเทคนิคօลีเจ็กโดยไฟฟ์เตชั่นโดยใช้เหล็กเป็นข้าวอาโนดและคาดไก่ให้กระแทกไฟฟ้า 1 แอมป์และปล่อยให้ตกร่องเป็นเวลา 7 วัน

2. การนำบัดด้วยเทคนิคอิเล็กโทรโฟลเตชั่นโดยใช้อลูมิเนียมเป็นข้าวอาโนดและคาโทดให้กราฟฟิค 1 แอมป์ร์

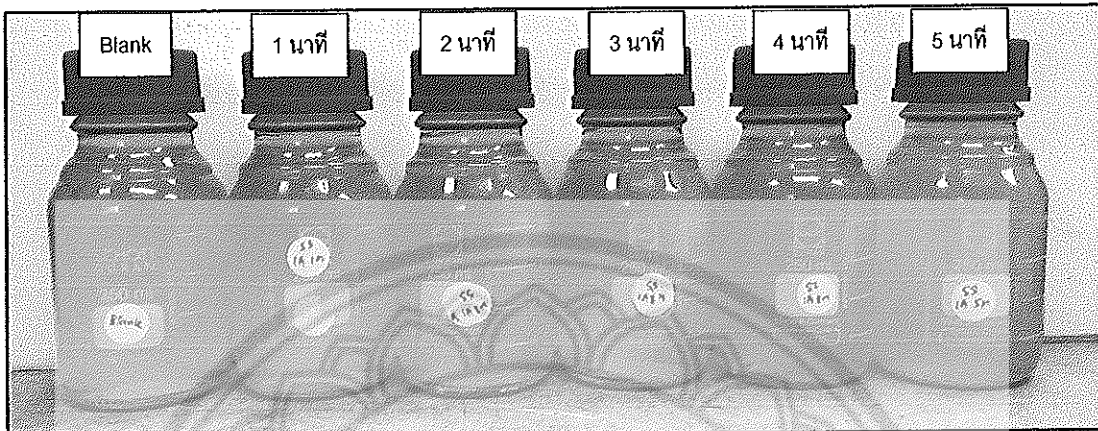


ภาพ 99 การนำบัดด้วยเทคนิคอิเล็กโทรโฟลเตชั่นโดยใช้อลูมิเนียมเป็นข้าวอาโนดและคาโทดให้กราฟฟิค 1 แอมป์ร์ หลังทำปฏิกิริยา

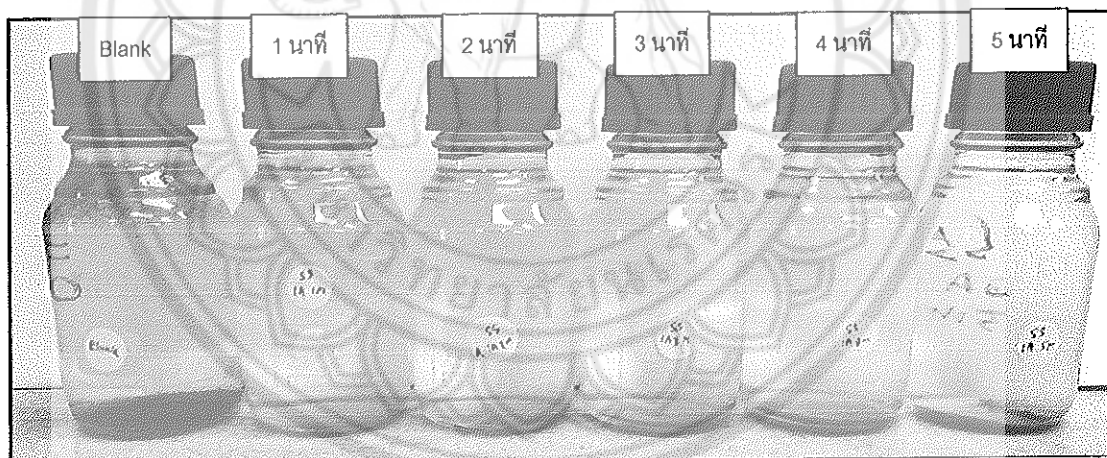


ภาพ 100 การนำบัดด้วยเทคนิคอิเล็กโทรโฟลเตชั่นโดยใช้อลูมิเนียมเป็นข้าวอาโนดและคาโทดให้กราฟฟิค 1 แอมป์ร์และปล่อยให้ตกรอกกอนเป็นเวลา 7 วัน

3. การบำบัดด้วยเทคนิคอิเล็กโทรไฟลเตชั่นโดยใช้สแตนเลสเป็นขัวว่าโนดและคาโทดให้กราฟฟิฟ้า 1 แอมป์เร

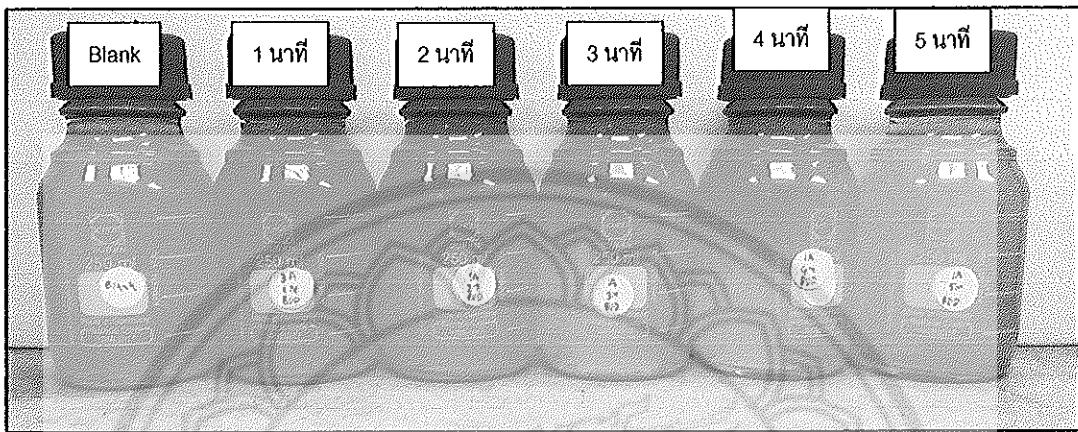


ภาพ 101 การบำบัดด้วยเทคนิคอิเล็กโทรไฟลเตชั่นโดยใช้สแตนเลสเป็นขัวว่าโนดและคาโทดให้กราฟฟิฟ้า 1 แอมป์เร หลังทำปฏิกิริยา

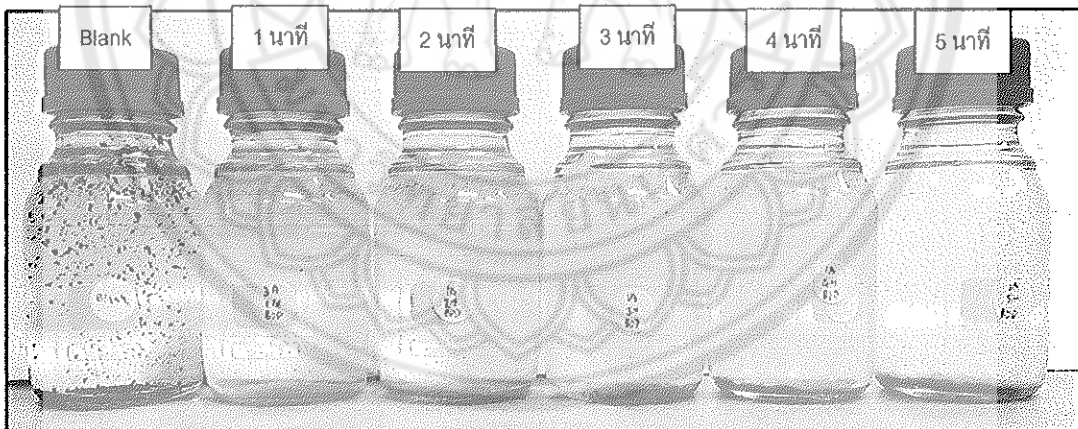


ภาพ 102 การบำบัดด้วยเทคนิคอิเล็กโทรไฟลเตชั่นโดยใช้สแตนเลสเป็นขัวว่าโนดและคาโทดให้กราฟฟิฟ้า 1 แอมป์เรและปล่อยให้ตกร่องเป็นเวลา 7 วัน

4. การนำบัดด้วยเทคนิคอิเล็กโทรไฟลเตชั่นโดยใช้ BDD เป็นข้อความและค่าให้กระเสไฟฟ้า 1 แอมเปอร์

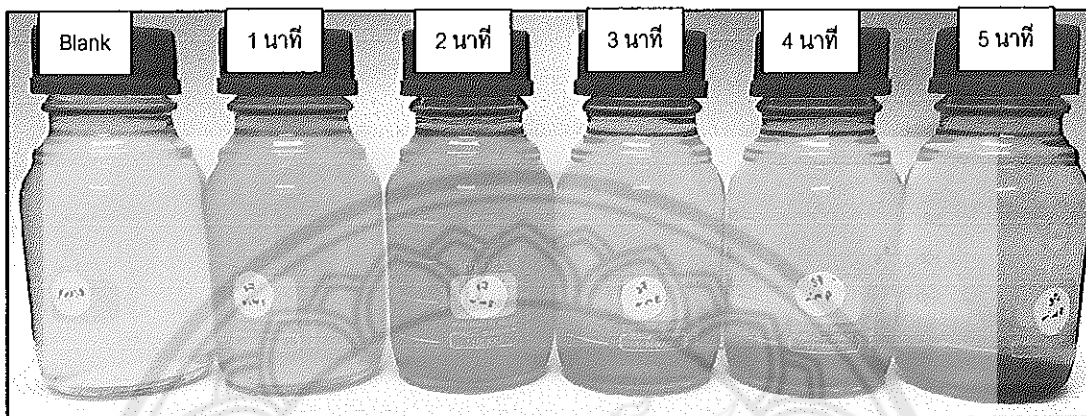


ภาพ 103 การนำบัดด้วยเทคนิคอิเล็กโทรไฟลเตชั่นโดย BDD 120 เป็นข้อความและค่าให้กระเสไฟฟ้า 1 แอมเปอร์ หลังทำปฏิกิริยา



ภาพ 104 การนำบัดด้วยเทคนิคอิเล็กโทรไฟลเตชั่นโดยใช้ BDD เป็นข้อความและค่าให้กระเสไฟฟ้า 1 แอมเปอร์และปล่อยให้ตกร่องเป็นเวลา 7 วัน

5. การนำบัดด้วยเทคนิคอิเล็กโทรไฟลเตชั่นโดยใช้เหล็กเป็นขัวอานและคาโทดให้กระแทกไฟฟ้า 3 แอมป์

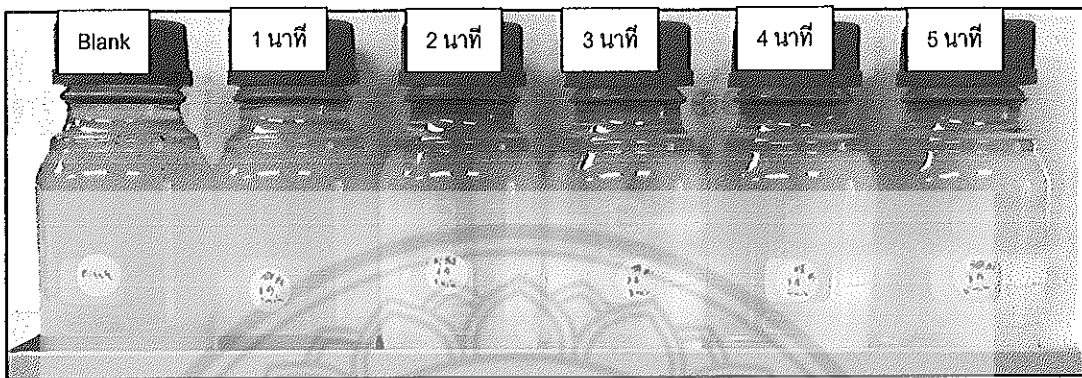


ภาพ 105 การนำบัดด้วยเทคนิคอิเล็กโทรไฟลเตชั่นโดย เหล็ก 121 เป็นขัวอานและ คาโทด ให้กระแทกไฟฟ้า 3 แอมป์ หลังทำปฏิกิริยา

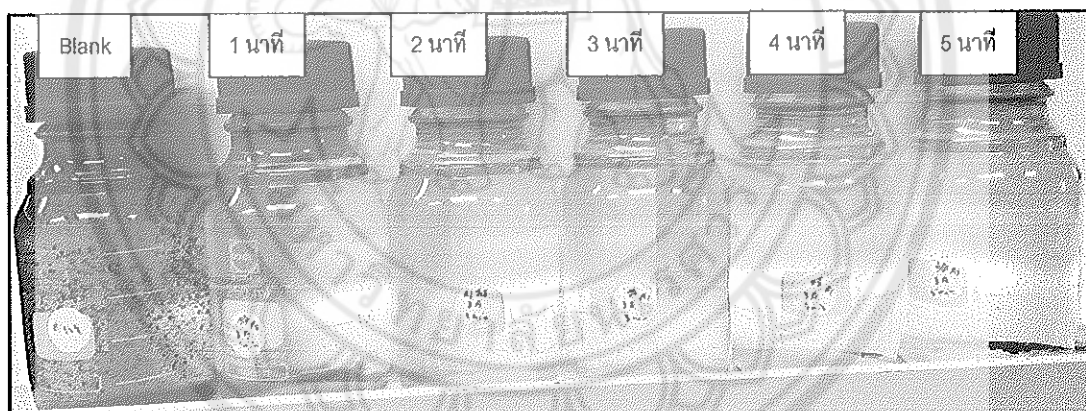


ภาพ 106 การนำบัดด้วยเทคนิคอิเล็กโทรไฟลเตชั่นโดยใช้ เหล็ก เป็นขัวอานและคาโทด ให้กระแทกไฟฟ้า 3 แอมป์และปล่อยให้ตกรตะกอนเป็นเวลา 7 วัน

6. การนำบัดด้วยเทคนิคอิเล็กโทรไฟลเตชั่นโดยใช้อลูมิเนียมเป็นข้าวอาในดและคาโทดให้กระแทกไฟฟ้า 3 แอมป์ร์

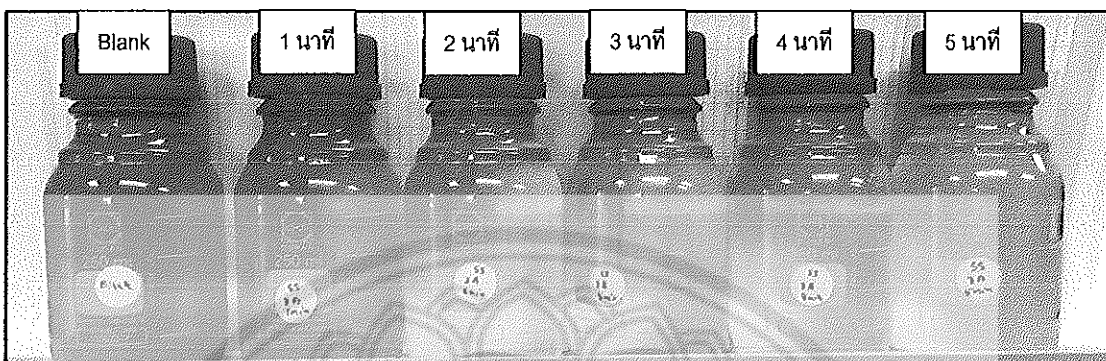


ภาพ 107 การนำบัดด้วยเทคนิคอิเล็กโทรไฟลเตชั่นโดย อลูมิเนียม 122 เป็นข้าวอาในดและคาโทดให้กระแทกไฟฟ้า 3 แอมป์ร์ หลังทำปฏิกิริยา

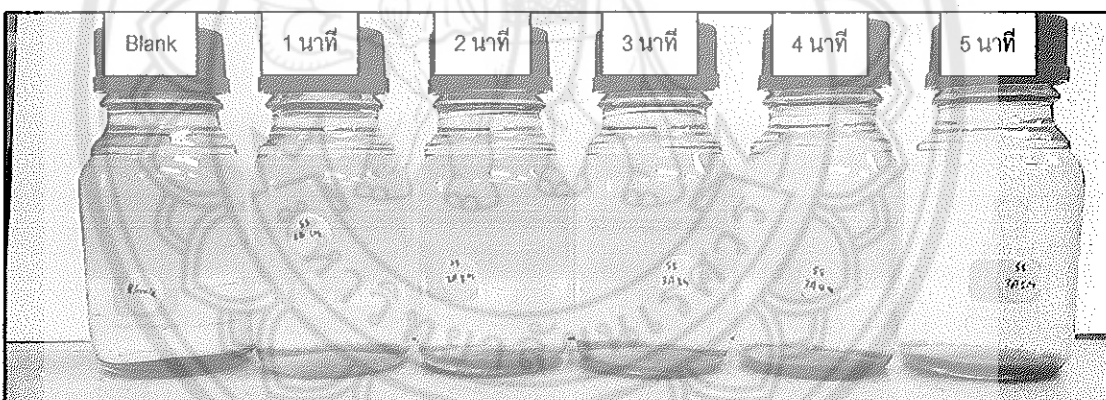


ภาพ 108 การนำบัดด้วยเทคนิคอิเล็กโทรไฟลเตชั่นโดยใช้ อลูมิเนียม เป็นข้าวอาในดและคาโทดให้กระแทกไฟฟ้า 3 แอมป์ร์และปล่อยให้ตากalconเป็นเวลา 7 วัน

7. การบำบัดด้วยเทคนิคเล็กโทรฟลเทชั่นโดยใช้สแตนเลสเป็นข้าวอาโนดและ cathode ให้กระแสงไฟฟ้า 3 แอมป์

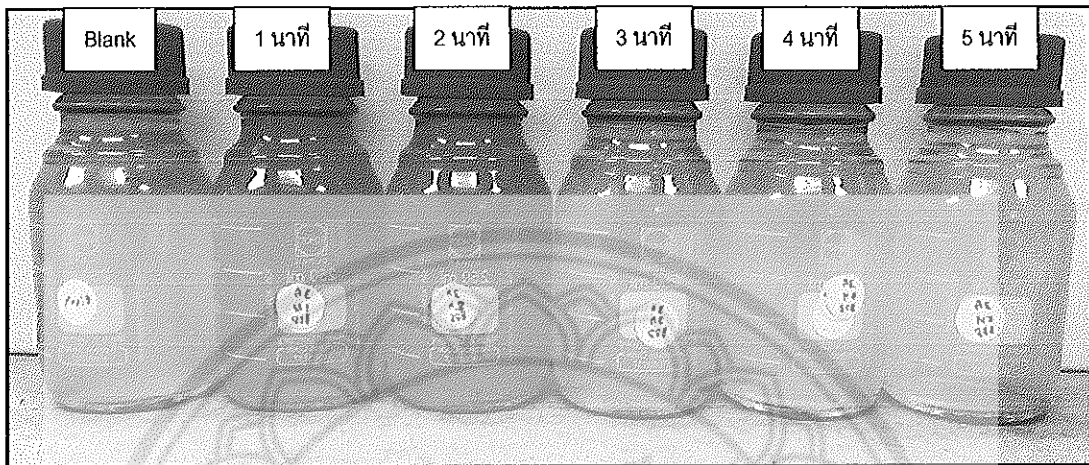


ภาพ 109 การบำบัดด้วยเทคนิคเเล็กโทรฟลเทชั่นโดย สแตนเลส 123 เป็นข้าวอาโนดและ cathode ให้กระแสงไฟฟ้า 3 แอมป์ หลังทำปฏิกิริยา

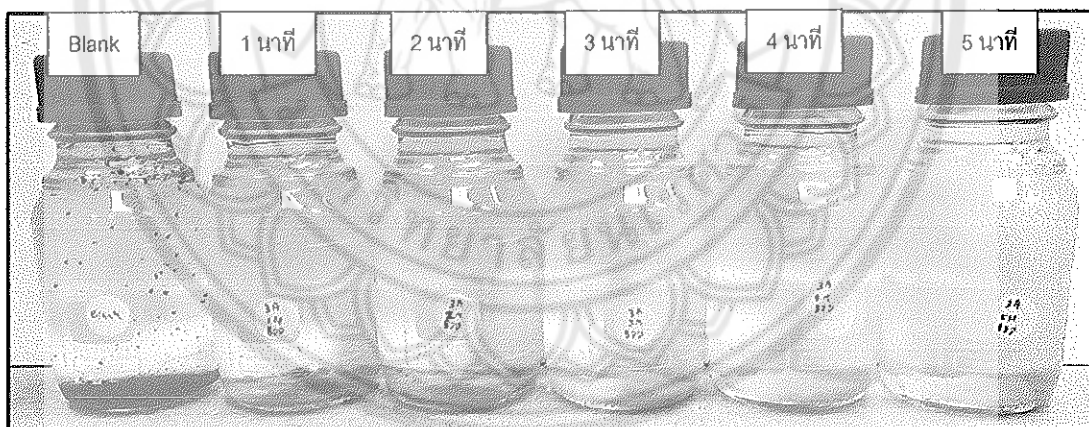


ภาพ 110 การบำบัดด้วยเทคนิคเเล็กโทรฟลเทชั่นโดยใช้ สแตนเลส เป็นข้าวอาโนดและ cathode ให้กระแสงไฟฟ้า 3 แอมป์และปล่อยให้ตกรตะกอนเป็นเวลา 7 วัน

8. การบำบัดด้วยเทคนิคอิเล็กโทรไฟลเตชั่นโดยใช้ BDD เป็นข้าวอาโนดและคาโทดให้กระแสงไฟฟ้า 3 แอมป์



ภาพ 111 การบำบัดด้วยเทคนิคอิเล็กโทรไฟลเตชั่นโดย BDD 124 เป็นข้าวอาโนดและคาโทด ให้กระแสงไฟฟ้า 3 แอมป์ หลังทำปฏิกิริยา



ภาพ 112 การบำบัดด้วยเทคนิคอิเล็กโทรไฟลเตชั่นโดยใช้ BDD เป็นข้าวอาโนดและคาโทด ให้กระแสงไฟฟ้า 3 แอมป์และปล่อยให้ตกรตะกอนเป็นเวลา 7 วัน